

19.834/H/04



MILIK PERPUSTAKAAN
INSTITUT TEKNOLOGI
SEPULUH - NOPEMBER

TUGAS AKHIR

PERENCANAAN GEDUNG PERKANTORAN DAN PERTOKOAN ARTHA GRAHA DENGAN SISTEM PRACETAK

OLEH :

ERLIN FERIDA KUSNAWATI

3199.100.039

RSS

690.523

Kus

P - 1

2004



PERPUSTAKAAN ITS	
Tgl. Terima	20 - 2 - 2004
Terima Dari	H
No. Agenda Prp.	219602

PROGRAM SARJANA (S-1)
JURUSAN TEKNIK SIPIL
FAKULTAS TEKNIK SIPIL DAN PERENCANAAN
INSTITUT TEKNOLOGI SEPULUH NOPEMBER
SURABAYA
2004

TUGAS AKHIR

PERENCANAAN GEDUNG PERKANTORAN DAN PERTOKOAN ARTHA GRAHA DENGAN SISTEM PRACETAK

Surabaya, 26 Januari 2004

Mengetahui / Menyetujui

Dosen Pembimbing



**PROGRAM SARJANA (S-1)
JURUSAN TEKNIK SIPIL
FAKULTAS TEKNIK SIPIL DAN PERENCANAAN
INSTITUT TEKNOLOGI SEPULUH NOPEMBER
S U R A B A Y A
2004**

PERENCANAAN GEDUNG PERKANTORAN DAN PERTOKOAN ARTHA GRAHA DENGAN MENGGUNAKAN SISTEM PRACETAK

Penulis :
Erlin Ferida Kusnawati
Nrp. 3199.100.039

Dosen Pembimbing :
Budi Suswanto, ST, MT

ABSTRAK

Pemilihan alternatif desain konstruksi dengan sistem pracetak sangat tepat dilakukan terhadap gedung yang banyak memiliki elemen-elemen struktur yang seragam.

Penerapan metode beton pracetak pada suatu gedung, selain harus memperhitungkan faktor ekonomi dari aspek-aspek produksi, juga harus memperhitungkan stabilitas struktur, dan ereksi elemen-elemennya selama proses konstruksi berlangsung. Kekuatan, kekakuan, daktilitas serta pendetailan sambungan antara elemen-elemen beton pracetak adalah hal yang sangat penting, karena fungsinya tidak hanya mentransfer beban tetapi juga mengembangkan perilaku monolit pada struktur.

Untuk Tugas Akhir ini, penulis memilih sistem pracetak pada sebagian elemen struktur yaitu untuk elemen-elemen balok dan tangga saja yang dibuat sebagai pracetak. Untuk perhitungan gaya gempa digunakan gaya gempa dinamis.

Perhitungan penulangan elemen pracetak menggunakan tata cara perhitungan struktur beton, baik untuk penulangan penahan aksial, lentur, geser dan torsi, tetapi juga elemen pracetak harus memperhitungkan adanya tulangan angkat dan stud-stud penahan gaya geser antara permukaan elemen pracetak dengan topping.

Keuntungan beton pracetak yaitu dapat digunakan pada bentang yang panjang, dari segi struktur dapat meringankan berat struktur secara keseluruhan sehingga akan memperkecil beban gempa yang dipikul struktur, mempunyai kekuatan yang lebih tinggi dalam menerima beban yang cukup berat dan dalam produksinya beton pracetak lebih mudah dilakukan kontrol kualitas disesuaikan dengan spesifikasi yang direncanakan.

Dari hasil perhitungan didapatkan pelat dengan tebal 13 cm, dimensi balok utama yaitu 40/60, dimensi balok anak yaitu 30/40, dimensi kolom yaitu 70/70, menggunakan sambungan basah dan menggunakan tiang pancang bulat dengan diameter 600 mm

Kata kunci : beton pracetak

DAFTAR ISI

Abstrak

Kata Pengantar

Daftar Isi

BAB I	PENDAHULUAN	1
1.1.	Latar Belakang	1
1.2.	Maksud dan Tujuan	1
1.3.	Lingkup Permasalahan	2
1.4.	Batasan Masalah	2
1.5.	Metode Perencanaan	2
BAB II	TINJAUAN PUSTAKA	4
2.1.	Umum	4
2.2.	Keuntungan Pracetak	4
2.3.	Definisi Beton Pracetak	5
2.4.	Peralatan	6
2.5.	Pabrikasi Beton Pracetak	6
2.6.	Aplikasi Sistem Pracetak pada Gedung Artha Graha	7
BAB III	KONSEP PERENCANAAN	9
3.1.	Data Perencanaan	9
3.1.1.	Data Bangunan	9
3.1.2.	Data Tanah	9
3.2.	Standard an Referensi	9
3.3.	Mutu Bahan	10
3.4.	Pembebanan Struktur	10
3.4.1.	Jenis Pembebanan	10
3.4.2.	Kombinasi Pembebanan	11

BAB IV PERENCANAAN STRUKTUR SEKUNDER	12
4.1. Perencanaan Pelat	12
4.1.1. Data-data Perencanaan Pelat	12
4.1.2. Pembebanan Struktur Pelat	12
4.1.3. Kombinasi Pembebanan	13
4.1.4. Tahapan Perhitungan Pelat Pracetak	13
4.1.5. Contoh Perhitungan Penulangan Pelat Pracetak	23
4.1.5.1. Penulangan Pelat.....	24
4.1.5.2. Kontrol Retak	26
4.1.5.3. Panjang Penyaluran Tulangan Pelat	27
4.2. Perencanaan Tangga	28
4.2.1. Data Perencanaan	28
4.2.2. Perhitungan Pelat Tangga	28
4.2.3. Perhitungan Pembebanan dan Analisa Struktur	30
4.2.4. Perhitungan Penulangan Tangga	31
4.2.5. Perhitungan Balok Penumpu Tangga	32
4.2.6. Pengangkatan Tangga	38
4.3. Perencanaan Balok Anak	40
4.3.1. Data Perencanaan	40
4.3.2. Pembebanan Balok Anak	40
4.3.2.1. Tipe Pembebanan	40
4.3.2.2. Pola Pembebanan Balok	40
4.3.2.3. Perhitungan Pembebanan Balok Anak	40
4.3.3. Perhitungan Gaya Dalam Pada Balok Anak	42
4.3.4. Perhitungan Penulangan pada Balok Anak	42
4.3.5. Pengangkatan Balok Anak	45
4.3.6. Kontrol Lendutan	48
4.3.7.KontrolRetak.....	48
BAB V DESAIN STRUKTUR UTAMA	49
5.1. Analisa Struktur Utama	49

5.1.1. Umum	49
5.1.2. Permodelan Struktur	49
5.1.3. Data Perencanaan	49
5.1.4. Perhitungan Pembebanan Vertikal	50
5.1.5. Perhitungan Beban Lateral Akibat Beban Gempa	56
5.1.5.1. Perhitungan Berat Total Bangunan	56
5.1.5.2. Perhitungan Gaya Geser Dasar.....	58
5.1.5.3. Penyebaran Gaya Geser Secara Vertikal	59
5.1.6. Perhitungan Beban Lateral Akibat Beban Angin	60
5.1.7. Perhitungan Gaya Dalam	61
5.1.8. Kontrol Periode (T)	62
5.1.9. Kontrol Drift Tingkat	63
5.1.10. Kontrol Pengaruh Δ Effect	64
5.2. Penulangan Struktur Utama	65
5.2.1. Penulangan Balok Induk	65
5.2.1.1. Penulangan Lentur Balok Induk.....	66
5.2.1.2. Penulangan Geser dan Torsi	70
5.2.1.3. Penulangan Stud Balok Induk	76
5.2.1.4. Pengangkatan Balok Induk	79
5.2.2. Penulangan Kolom	83
5.2.2.1. Umum	83
5.2.2.2. Panjang Tekuk Kolom.....	83
5.2.2.3. Pembatasan Penulangan Kolom.....	84
5.2.2.4. Kolom Pendek	84
5.2.2.5. Kolom Panjang	84
5.2.2.6 Penulangan Lentur Kolom.....	86
5.2.2.7 Penulangan Geser Dan Torsi,.....	88
5.2.2.8 Panjang Penyaluran.....	90
BAB VI DESAIN SAMBUNGAN	91
6.1. Umum	91
6.2. Kriteria Perencanaan Sambungan	92

6.3. Konsep Desain Sambungan	93
6.3.1. Mekanisme Pemindahan Beban	93
6.3.2. Pola Kehancuran	94
6.3.3. Stabilitas dan Keseimbangan	94
6.4. Perencanaan Sambungan Balok Kolom.....	95
6.4.1. Perencanaan korbel	95
6.4.1.1. Perencanaan Korbel	95
6.4.2. Perencanaan Reinforced Concrete Bearing	98
6.4.3. Panjang penyaluran	101
6.5 Sambungan Balok Induk dan Balok Anak.....	103
BAB VII DESAIN PONDASI	105
7.1. Umum	105
7.2. Data Tanah	105
7.3. Kriteria Design	105
7.3.1. Kekuatan dan Dimensi Tiang Pancang	105
7.3.2. Tahapan Perencanaan	106
7.4. Daya Dukung Tanah	106
7.4.1. Daya Dukung Tiang Tunggal	106
7.4.2. Daya Dukung Tiang Kelompok	108
7.4.3. Repartisi Beban-Beban Diatas Tiang Kelompok	109
7.5. Perhitungan Tiang Pancang	110
7.5.1. Daya Dukung Tiang Pancang Tunggal	110
7.5.2. Daya Dukung Tiang Kelompok	111
7.5.3. Kontrol Kekuatan Tiang Pondasi Terhadap Gaya Lateral	113
7.5.4. Perhitungan Poer	116
7.5.4.1. Data-Data Perancangan Poer	116
7.5.4.2. Kontrol Geser Ponds	117
7.5.4.3. Penulangan Poer	119
7.5.5. Perencanaan Sloof	121
7.5.5.1. Daimensi Sloof	121
7.5.5.2. Penulangan Sloof	122

BAB I

PENDAHULUAN

Cipta Karya
Produksi

BAB I

PENDAHULUAN

1.1 LATAR BELAKANG

Perkembangan industri konstruksi dewasa ini sangat menarik untuk diamati. Berbagai metode konstruksi bermunculan guna meningkatkan kecepatan waktu konstruksi serta pelaksanaan konstruksi yang efektif dan efisien. Karena semakin cepatnya waktu pelaksanaan konstruksi, maka banyak didapat penghematan dari segi waktu dan biaya. Sehingga investasi yang telah ditanamkan akan lebih menguntungkan dan lebih bermanfaat.

Dalam tugas akhir ini penulis memakai gedung ARTHA GRAHA sebagai obyek. Gedung ini difungsikan sebagai perkantoran dan pertokoan sehingga memiliki denah lantai yang tipikal, bentuknya relatif sederhana dan simetris, konfigurasi kolom teratur, serta terletak pada daerah gempa zone 2.

Karena komponen gedung yang tipenya sama jumlahnya banyak, dengan menggunakan metode pracetak pada akhirnya akan dapat memperkecil biaya produksi. Disamping itu dari segi mutu produk dan pelaksanaan juga mempunyai keuntungan, diantaranya adalah kualitas yang dihasilkan baik berupa ukuran dimensi material yang lebih akurat maupun kekuatan yang direncanakan, kecepatan dalam pelaksanaan, penghematan tenaga kerja dan lain sebagainya. Disamping itu, material pracetak selain dibuat di pabrik, dalam keadaan tertentu dapat pula dibuat di lapangan.

1.2 MAKSSUD DAN TUJUAN

Perencanaan struktur gedung ARTHA GRAHA yang meliputi elemen tangga, balok anak, balok induk dan pondasi dengan metode pracetak bertujuan untuk mendapatkan suatu desain struktur yang rasional dengan memenuhi syarat-syarat keamanan struktur berdasarkan SK SNI T-15-1991-03 sehingga didapatkan struktur gedung yang cukup kuat pada daerah zone gempa 2. Kemudian hasil perhitungan tersebut dituangkan ke dalam gambar-gambar struktur.

BAB II

TINJAUAN PUSTAKA

BAB II

TINJAUAN PUSTAKA

2.1. UMUM

Pada saat ini pemanfaatan metode pracetak di dalam desain struktur di Indonesia mulai digunakan sebagai alternatif karena kebutuhan akan penghematan biaya serta segala sesuatu yang efisien dan praktis serta mudah pelaksanaannya didalam dunia konstruksi.

Penggunaan konstruksi pracetak dalam suatu bangunan, selain harus memperhatikan faktor ekonomi dari aspek – aspek produksi, transportasi dan ereksi juga perlu dijamin stabilitas selama konstruksi itu berlangsung.

Pada perencanaan struktur beton pracetak di daerah gempa, yang perlu diperhatikan adalah pendetailan dan stabilitas struktur yang baik.Terlepas dari bahan yang digunakan pada struktur maka kekuatan, kekakuan, dan daktilitas serta pendetailan sambungan antara elemen beton pracetak merupakan hal yang sangat penting, sebab fungsinya tidak hanya mentransfer beban tetapi juga membentuk perilaku yang monolit pada struktur tersebut.

Sambungan akan memegang peranan yang sangat penting terutama apabila terletak pada daerah zone gempa kuat.Maka dalam perencanaan gedung hendaknya memilih sambungan yang efektif sehingga konstruksi akan dapat dikerjakan secara cepat dan mudah dalam hal produksi dan perakitannya.

2.2 KEUNTUNGAN BETON PRACETAK

Kualitas komponen beton pracetak yang diproduksi dibawah kondisi kontrol kualitas yang ideal akan mempunyai beberapa keuntungan, yaitu :

1. Ketebalan elemen yang dipraktekkan akan menyebabkan tebalnya menjadi minimum.Elemen struktur ini mampu digunakan untuk bentang panjang dan yang terpenting dari segi struktur dapat meringankan berat struktur secara keseluruhan sehingga akan memperkecil beban gempa yang harus dipikul struktur.
2. Daya dukung beban tinggi

Beton pracetak mempunyai kekuatan yang lebih tinggi guna menerima beban yang cukup berat.

3. Keawetan

Beton dengan kualitas yang ideal memiliki kepadatan dan kekedapan air yang tinggi sehingga beton pracetak lebih tahan terhadap korosi, cuaca dan kerusakan - kerusakan lain khususnya kerusakan yang tergantung waktu.

4. Bentang panjang

Dengan bentang yang lebih panjang akan lebih leluasa untuk desain interior gedung.

5. Fleksibel untuk dikembangkan

Beton pracetak dapat diproduksi untuk penyediaan fasilitas arah vertical dan horizontal secara lebih mudah. Misalnya untuk listrik dan saluran air dengan biaya lebih murah.

6. Ekonomis

Secara keseluruhan penggunaan pracetak mempunyai keuntungan biaya awal yang rendah dan dapat dilakukan penghematan terhadap biaya yang lain, misalnya tenaga kerja di lapangan dapat dikurang sehingga dapat menghemat biaya pelaksanaan.

7. Kontrol kualitas

Dalam produksinya beton pracetak lebih mudah dilakukan kontrol kualitas disesuaikan dengan spesifikasi yang direncanakan. Dalam pelaksanaannya kontrol kualitas merupakan program utama untuk standar tinggi dari pabrikasi.

2.3 DEFINISI BETON PRACETAK

Dalam mendefinisikan beton pracetak, penulis memberikan beberapa definisi dari sumber – sumber yang berbeda, yaitu :

1. Definisi menurut Plant Cast Percast and Prestressed Concrete (A Design Guide)
Beton pracetak adalah beton yang dicetak di beberapa lokasi (baik di lingkungan proyek maupun di pabrik) yang pada akhirnya dipasang pada posisinya dengan suatu sistem sambungan sehingga rangkaian elemen demi elemen beton pracetak menjadi satu kesatuan yang utuh sebagai suatu struktur.
2. Definisi menurut SKSNI T-15-1991-03 (pasal 3.9.1)

Beton pracetak adalah komponen beton yang dicor di tempat yang bukan merupakan posisi akhir di dalam suatu struktur.

2.4 Peralatan

Dalam penggunaan elemen pracetak yang perlu menjadi pertimbangan perencana adalah sebagai berikut :

1. Berapa Tower Crane yang diperlukan dalam suatu proyek agar Tower Crane dapat difungsikan semaksimal mungkin.
2. Berapa diameter perputaran Tower Crane.
3. Berapa kapasitas angkat maksimal Tower Crane.
4. Peralatan pembantu serta jumlah kebutuhan guna mendukung siklus pemasangan pracetak seperti truk dan lain sebagainya.

2.5 PABRIKASI BETON PRACETAK

Pabrikasi beton pracetak dibagi dalam dua bagian yaitu :

1. Pabrikasi di lokasi proyek (tidak permanen)

Pabrikasi yang tidak permanen ini dilakukan apabila luas areal dimana proyek tersebut dikerjakan cukup memadai. Disamping itu pula lingkungannya mendukung untuk pergerakan transportasi dari komponen pracetak itu sendiri. Umumnya pabrikasi yang tidak permanen sesuai dengan istilahnya bahwa pabrik tersebut akan dibongkar setelah proses pabrikasi untuk proyek tersebut sudah selesai atau dengan kata lain umur pabrik sesuai dengan umur proyek.

2. Pabrikasi yang bersifat permanen

Pabrikasi yang bersifat permanen yaitu pabrikasi yang didirikan untuk memenuhi kebutuhan pasar. Pabrikasi yang permanen ini untuk melayani segala kebutuhan sesuai dengan kapasitas atau kemampuan produksi dari pabrik tersebut. Tipe pabrik ini didirikan dengan pertimbangan prospek kemajuan pembangunan daerah sekitar dimana pabrik itu didirikan. Pabrik yang permanen biasanya membutuhkan areal yang cukup luas dikarenakan produksinya akan dilakukan secara massal dan tentunya harus didukung dengan lokasi sumber bahan baku yang relatif dekat ke lokasi pabrik. Begitu juga halnya dengan sarana jalan yang

memadai guna menunjang transportasi komponen pracetak dari pabrik ke lokasi proyek yang dituju.

2.6 Aplikasi Sistem Pracetak pada Gedung Artha Graha

Untuk perencanaan gedung Artha Graha ini, penulis merencanakan jenis-jenis elemen pracetak yang dipakai, sistem pabrikasi serta sistem sambungannya adalah sebagai berikut :

1. Balok utama dan balok anak direncanakan menggunakan jenis balok pracetak berpenampang persegi (Rectangular Beams).
2. Sambungan yang dipakai adalah sambungan basah.
3. Elemen balok pracetak dan tangga pracetak dibuat di pabrik, kemudian dirakit dengan kolom yang dicor setempat.

Dimensi Balok Induk dan Balok Anak

Menurut persyaratan SK SNI T-15-1991-03 untuk dimensi balok pada dua tumpuan adalah sebagai berikut :

- $h = \frac{1}{16} \times Lb \times \left(0.4 + \frac{f_y}{700} \right)$ (SK SNI T-15-1991 ps. 3.2.5.2.1)

- $b \geq \frac{1}{4}h$ (SK SNI T-15-1991 ps. 3.14.9.1.3)
 $\geq 200 \text{ mm}$

Dimensi Pelat

Untuk memenuhi syarat lendutan, ketebalan minimum dari pelat harus memenuhi persyaratan SK SNI T-15-1991-03 pasal 3.2.5-3.3, yaitu :

$$h_1 = \frac{\ln\left(0.8 + \frac{f_y}{1500}\right)}{36 + 5\beta\left(\alpha_m - 0.12\left(1 + \frac{1}{\beta}\right)\right)} \quad (\text{SK SNI T-15-1991-03 pasal 3.2-12})$$

tetapi tidak boleh kurang dari :

$$h_2 = \frac{\ln\left(0.8 + \frac{f_y}{1500}\right)}{36 + 9\beta} \quad (\text{SK SNI T-15-1991-03 pasal 3.2-13})$$

dan tidak perlu lebih dari :

$$h_3 = \frac{\ln\left(0.8 + \frac{f_y}{1500}\right)}{36} \quad (\text{SK SNI T-1991-03 pasal 3.2-1.4})$$

- Perhitungan Gaya Gempa Dasar berdasarkan UBC 1997 :

$$V = \frac{C_a I}{R T} W \dots \dots \dots \text{Pers.(30-4)}$$

tidak boleh lebih dari

$$V = \frac{2.5 C_a I}{R} W \dots \dots \dots \text{Pers.(30-5)}$$

tidak boleh kurang dari

$$15 V = 0.11 C_a I W \dots \dots \dots \text{Pers.(30-6)}$$

- Perhitungan gaya gempa yang diterima tiap lantai :

$$F_x = \frac{(V - F_t) \cdot w_x \cdot h_x}{\sum w_i h_i} \dots \dots \dots \text{Pers.(30-15)e}$$

- Perhitungan Pengangkatan Elemen Balok

$$+ M = \frac{w L^2}{8} \left(1 - 4x + \frac{4 Y_c}{L \tan \theta} \right)$$

$$- M = \frac{W X^2 L^2}{2}$$

$$x = \frac{1 + \frac{4 Y_c}{L \tan \theta}}{2 \left[1 + \sqrt{1 + \frac{Y_t}{Y_b} \left(1 + \frac{4 Y_c}{L \tan \theta} \right)} \right]}$$



BAB III

KONSEP PERENCANAAN

BAB III

KONSEP PERENCANAAN

3.1 DATA PERENCANAAN

3.1.1 Data bangunan

Gedung yang digunakan sebagai obyek pada tugas akhir ini adalah perkantoran dan pertokoan dengan data-data sebagai berikut :

- Nama gedung : ARTHA GRAHA
- Lokasi : SURABAYA
- Fungsi bangunan : Perkantoran dan Pertokoan
- Tinggi gedung : 35.5m
- Lebar gedung : 32m
- Panjang gedung : 57m
- Jumlah lantai : 10 lantai
- Struktur : beton bertulang
- Zone gempa : 2

3.1.2. Data tanah

Dari hasil penyelidikan tanah (terlampir) menunjukkan bahwa kondisi tanah dibawah gedung adalah lunak, yang berupa tanah lempung.

Hal ini menyebabkan dibutuhkannya pondasi dalam (tiang panjang) dengan kedalaman yang cukup untuk memikul struktur gedung tersebut.

3.2 STANDAR DAN REFERENSI

- 1) Departemen Pekerjaan Umum 1991, SKSNI T-15-1991-03. "Tata Cara Perhitungan Struktur Beton Untuk Bangunan Gedung". Penerbit Yayasan LPMB, Bandung.
- 2) Departemen Pekerjaan Umum 1971. "Peraturan Beton Bertulang Indonesia N. I. -2", Penerbit Direktorat Jenderal Cipta Karya, Bandung.
- 3) Departemen Pekerjaan Umum 1983. "Peraturan Pembebanan Indonesia untuk Gedung", Penerbit Direktorat Jenderal Cipta Karya, Bandung.

- 4) PCI 1988. "PCI Design Hand-Book Precast and Prestressed Concrete", PCI Commite, Chicago.
- 5) Herman Wahyudi 1993. "Daya Dukung Pondasi Dalam, Teknik Sipil ITS Surabaya.
- 6) Uniform Building Code 1997.
- 7) Peraturan Perencanaan Tahan Gempa Indonesia untuk Gedung

3.3 MUTU BAHAN

- Beton

Beton cor ditempat $f_c' = 30 \text{ MPa}$

Beton pada balok pracetak $f_c' = 30 \text{ MPa}$

Beton pada tangga pracetak $f_c' = 30 \text{ MPa}$

- Baja $f_y = 400 \text{ MPa}$

3.4 PEMBEBANAN STRUKTUR

3.4.1 Jenis Pembebanan

Jenis pembebanan yang diperhitungkan dalam analisa struktur Gedung Artha Graha ini adalah :

1. *Beban Mati*

- Mencakup semua beban yang disebabkan oleh berat sendiri struktur yang bersifat tetap dan bagian lain yang tidak terpisahkan dari gedung. Beban mati untuk gedung diatur dalam PPI 1983 Bab II.

2. *Beban hidup*

- Mencakup semua beban yang terjadi akibat penghunian / penggunaan gedung sesuai PPI'83, termasuk barang-barang dalam ruangan yang tidak permanen.

Khusus pada atap, air hujan termasuk menjadi beban hidup (PPI pasal 1.2)

- Beban hidup untuk gedung diatur dalam PPI'83 Bab-3.

3. *Beban angin*

- Mencakup semua beban yang bekerja pada gedung atau bagian gedung yang disebabkan oleh selisih tekanan udara (PPI'83 pasal 1.3)
- Beban angin untuk gedung diatur dalam PPI'83 Bab-4.

4. *Beban gempa*

- Mencakup semua beban statik ekivalen dan dynamis yang bekerja pada gedung atau bagian gedung yang menirukan pengaruh dari gerakan tanah akibat gempa tersebut.

Dalam hal pengaruh gempa pada struktur gedung ditentukan berdasarkan suatu analisa static equivalen dan analisa dinamis

- Perhitungan gaya – gaya gempa didasarkan pada peraturan UBC 1997.

Kombinasi Pembebanan

Sesuai ketentuan yang tercantum dalam UBC 1997, agar supaya struktur dan komponen struktur memenuhi syarat dan kekuatan layak pakai terhadap bermacam-macam kombinasi pembebanan, maka harus dipenuhi ketentuan – ketentuan dari faktor pembebanan.

Adapun kombinasi pembebanan yang disyaratkan oleh UBC 1997 (sec.1909.2) adalah sebagai berikut :

- $U = 1.4D + 1.7L$
- $U = 0.75(1.4D + 1.7L + 1.7W)$
- $U = 0.9D + 1.3W$
- $U = 0.75(1.4D + 1.7L + 1.87E)$
- $U = 0.9D + 1.43E$

BAB IV

PERENCANAAN STRUKTUR SEKUNDER

BAB IV

PERENCANAAN STRUKTUR SEKUNDER

4.1. PERENCANAAN PELAT

- Pelat lantai direncanakan dengan sistem cor ditempat.

4.1.1. Data-Data Perencanaan Pelat

- Mutu beton f_c' : 30 MPa
- Mutu baja(f_y) : 400 MPa

4.1.2. Pembebaan Struktur Pelat

Pembebaan diambil berdasarkan PPIUG 1983

a) Beban Mati Pelat Atap dan Lantai

➢ Beton bertulang	:	2400 kg/m ³
➢ Tembok ½ bata	:	250 kg/m ²
➢ Kusen + kaca	:	40 kg/m ²
➢ Tegel (1 cm)	:	24 kg/m ²
➢ Spesi (1 cm)	:	21 kg/m ²
➢ Aspal (1 cm)	:	14 kg/m ²
➢ Ducting AC + pipa	:	30 kg/m ²
➢ Plafon penggantung	:	18 kg/m ²

b) Beban Hidup

➢ Beban hidup pada atap	:	100 kg/m ²
➢ Beban hidup pada lantai	:	250 kg/m ²

Beban-Beban yang Bekerja pada Atap :

a. Pelat Atap

- *Beban Mati :*

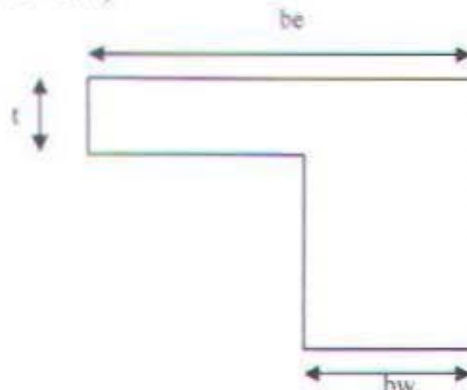
berat sendiri	:	0.13 * 2400 =	360 kg/m ²
spesi (1cm)	:	0.03 * 2100 =	63 kg/m ²
aspal (2cm)	:	0.02 * 1400 =	28 kg/m ²
ducting AD + pipa		=	30 kg/m ²

Eksterior

$$be_1 \leq bw + (\frac{1}{12} \times L)$$

$$be_2 \leq bw + 6t$$

$$be_3 \leq bw + (\frac{1}{2} * Ln)$$



dimana :

- be : Lebar efektif sayap balok T
- bw : Lebar balok
- t : Tebal pelat
- L : Bentang balok
- Ln : Bentang bersih balok satu dengan balok yang lain

Perhitungan Dimensi Balok Induk dan Balok Anak :

- *Balok Induk*

Pada balok dengan $L_b = 8$ meter, dengan persyaratan $f_y = 400$ MPa didapat :

- $h = \frac{1}{16} \times 800 \left(0.4 + \frac{400}{700} \right) = 48.5\text{cm}$ digunakan $h = 60\text{ cm}$
- $b \geq \frac{1}{4}h$, direncanakan $b = 40\text{ cm}$ sehingga $40\text{ cm} \geq \frac{1}{4} \times 60\text{ cm} = 15\text{ cm}$

- *Balok Anak*

Pada balok anak dengan $L_b = 4.5$ meter dengan $f_y = 400$ MPa, didapat:

- $h = \frac{1}{16} \times 450 \times \left(0.4 + \frac{400}{700} \right) = 27.3\text{cm}$ digunakan $h = 40\text{ cm}$
- $b \geq \frac{1}{4}h$, direncanakan $b = 30\text{ cm}$ sehingga $30\text{ cm} \geq \frac{1}{4} \times 40\text{ cm} = 10\text{ cm}$

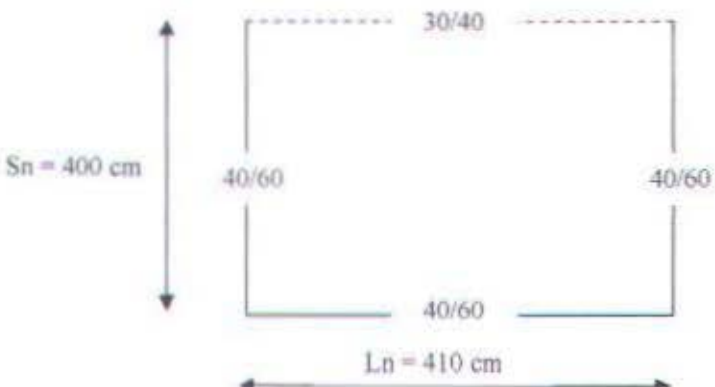
Jadi dimensi balok induk dan balok anak direncanakan :

- Bentang balok induk 8 m diambil dimensi 40 / 60.

- Bentang balok induk 4 m dan 4.5 m diambil dimensi 40 / 60.
- Bentang balok anak 4 m dan 4.5 m diambil dimensi 30 / 40

Terdapat dua macam bentuk pelat :

1. Ukuran pelat 450 cm x 400 cm



Keterangan :

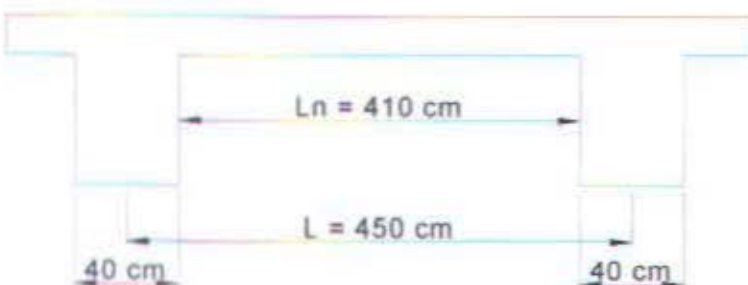
— Balok Induk

----- Balok Anak

$$L_n = 450 - (40/2 + 40/2) = 410 \text{ cm}$$

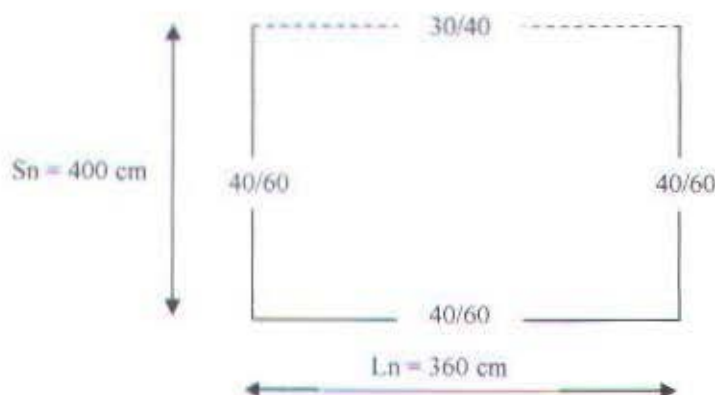
$$S_n = 400 \text{ cm}$$

$$\beta = \frac{L_n}{S_n} = \frac{410}{400} = 1.025 \rightarrow \text{pelat dua arah}$$





2. Ukuran pelat $400 \text{ cm} \times 400 \text{ cm}$



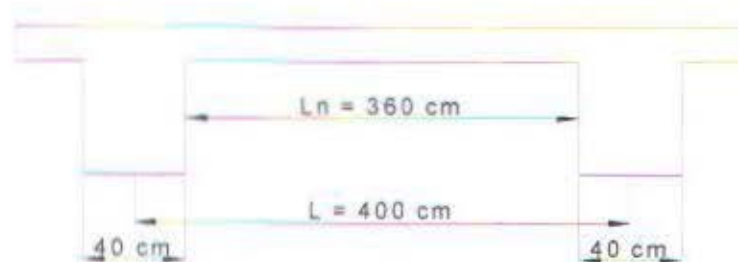
Keterangan :

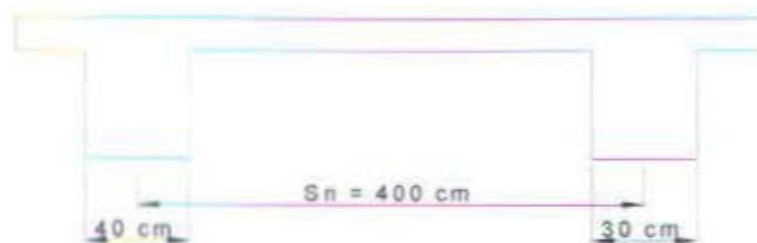
- Balok Induk
- - - - - Balok Anak

$$Ln = 400 - (40/2 + 40/2) = 360 \text{ cm}$$

$$S_n = 400 \text{ cm}$$

$$\beta = \frac{L_n}{S_n} = \frac{360}{400} = 0.9 \rightarrow \text{pelat dua arah}$$



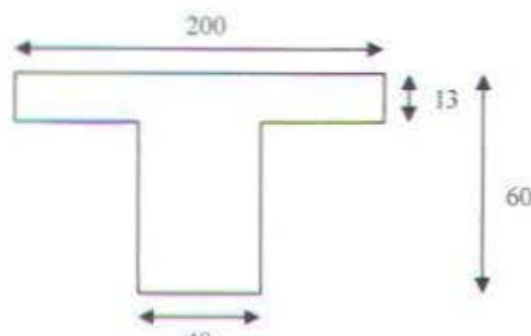
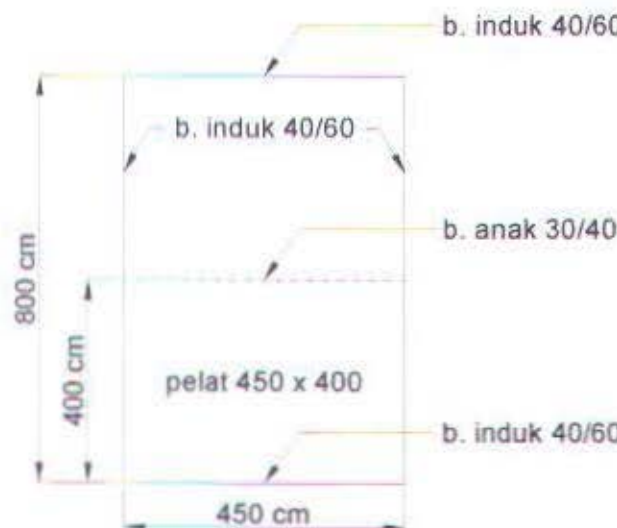


Perhitungan Dimensi Tebal Pelat

Contoh perhitungan menggunakan pelat dengan dimensi 450 cm x 400 cm

- Pelat bertumpu pada tiga balok interior dan satu balok eksterior

- Balok interior 40/60 (balok induk)



$$be_1 = 0.25 \times L$$

$$= 0.25 \times 800 = 200 \text{ cm}$$

$$be_2 = bw + (2 \times 8t)$$

$$= 40 + 240 = 280 \text{ cm}$$

$$\begin{aligned} \text{be}_3 &= \frac{1}{2} (L_n) \\ &= 380 \text{ cm} \end{aligned}$$

$$k = \frac{1 + \left(\frac{200}{40} - 1 \right) \left(\frac{13}{60} \right) \left(4 - 6 \left(\frac{13}{60} \right) + 4 \left(\frac{13}{60} \right)^2 + \left(\frac{200}{40} - 1 \right) \left(\frac{13}{60} \right)^3 \right)}{1 + \left(\frac{200}{40} - 1 \right) \left(\frac{13}{60} \right)}$$

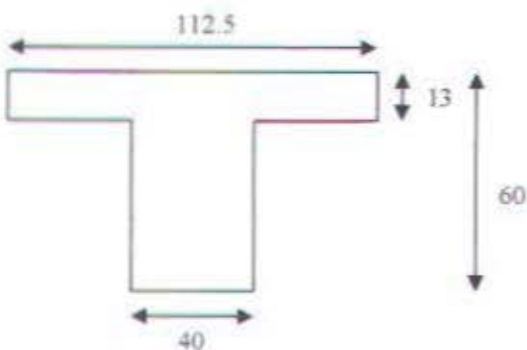
$$= 2.3$$

$$\begin{aligned} I_b &= \frac{1}{12} \times b_w \times h^3 \times k \\ &= \frac{1}{12} \times 40 \times 60^3 \times 2.3 = 1656000 \text{ cm}^4 \end{aligned}$$

$$\begin{aligned} I_s &= \frac{1}{12} \times b_s \times t^3 \\ &= \frac{1}{12} \times 450 \times 13^3 = 126562.5 \text{ cm}^4 \end{aligned}$$

$$\alpha = \frac{I_b}{I_s} = 13$$

□ Balok interior 40/60 (balok induk)



$$\begin{aligned} \text{be}_1 &= 0.25 \times L \\ &= 0.25 \times 450 = 112.5 \text{ cm} \end{aligned}$$

$$\begin{aligned} \text{be}_2 &= b_w + (2 \times 8t) \\ &= 40 + 240 = 280 \text{ cm} \end{aligned}$$

$$\text{be}_3 = \frac{1}{2} (L_n)$$

$$= 205 \text{ cm}$$

$$k = \frac{1 + \left(\frac{112.5}{40} - 1 \right) \left(\frac{13}{60} \right) \left(4 - 6 \left(\frac{13}{60} \right) + 4 \left(\frac{13}{60} \right)^2 + \left(\frac{112.5}{40} - 1 \right) \left(\frac{13}{60} \right)^3 \right)}{1 + \left(\frac{112.5}{40} - 1 \right) \left(\frac{13}{60} \right)}$$

$$= 1.57$$

$$I_b = \frac{1}{12} \times b w \times h^3 \times k$$

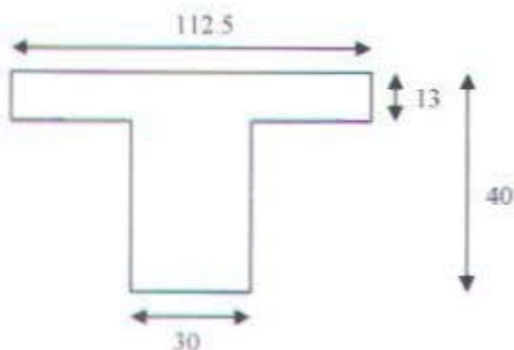
$$= \frac{1}{12} \times 40 \times 60^3 \times 1.57 = 1130400 \text{ cm}^4$$

$$I_s = \frac{1}{12} \times b s \times t^3$$

$$= \frac{1}{12} \times 400 \times 13^3 = 112500 \text{ cm}^4$$

$$\alpha = \frac{I_b}{I_s} = 10$$

□ Balok interior 30/40 (balok anak)



$$be_1 = 0.25 \times L$$

$$= 0.25 \times 450 = 112.5 \text{ cm}$$

$$be_2 = bw + (2 \times 8t)$$

$$= 30 + (2 \times 120) = 270 \text{ cm}$$

$$be_3 = \frac{1}{2} Ln$$

$$= 205 \text{ cm}$$

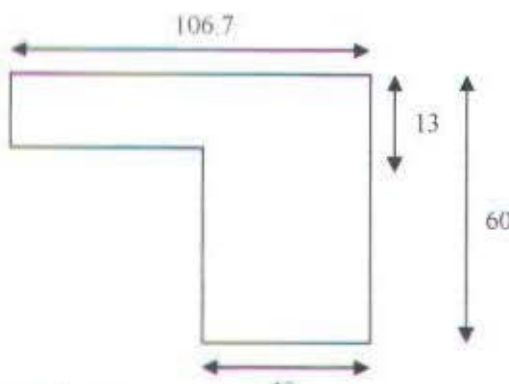
$$k = \frac{1 + \left(\frac{112.5}{30} - 1 \right) \left(\frac{13}{40} \right) \left(4 - 6 \left(\frac{13}{40} \right) + 4 \left(\frac{13}{40} \right)^2 + \left(\frac{112.5}{30} - 1 \right) \left(\frac{13}{40} \right)^3 \right)}{1 + \left(\frac{112.5}{30} - 1 \right) \left(\frac{13}{40} \right)} = 1.7$$

$$I_b = \frac{1}{12} \times 30 \times 40^3 \times 3.5 = 560000 \text{ cm}^4$$

$$I_s = \frac{1}{12} \times 400 \times 13^3 = 112500 \text{ cm}^4$$

$$\alpha = \frac{I_b}{I_s} = 4.9$$

□ Balok eksterior 40/60 (balok induk)



$$be_1 \leq bw + \left(\frac{1}{12} \times L \right) \\ \leq 40 + \left(\frac{1}{12} \times 800 \right) = 106.7 \text{ cm}$$

$$be_2 \leq bw + 6t \\ \leq 40 + 90 = 130 \text{ cm}$$

$$be_3 \leq bw + \left(\frac{1}{2} \times Ln \right) \\ \leq 40 + 365 = 405 \text{ cm}$$

$$k = \frac{1 + \left(\frac{106.7}{40} - 1 \right) \left(\frac{13}{60} \right) \left(4 - 6 \left(\frac{13}{60} \right) + 4 \left(\frac{13}{60} \right)^2 + \left(\frac{106.7}{40} - 1 \right) \left(\frac{13}{60} \right)^3 \right)}{1 + \left(\frac{106.7}{40} - 1 \right) \left(\frac{13}{60} \right)} = 1.5$$

$$I_b = \frac{1}{12} \times 40 \times 60^3 \times 1.5 = 1080000 \text{ cm}^4$$

$$I_s = \frac{1}{12} \times 450 \times 13^3 = 126562.5 \text{ cm}^4$$

$$\alpha = \frac{lb}{ls} = 8.5$$

• $\alpha_m = \frac{1}{4}(\alpha_1 + \alpha_2 + \alpha_3 + \alpha_4)$
 $= 9.1$

Syarat ketebalan pelat dua arah menurut SK SNI T-15-1991-03 yaitu tidak kurang dari :

$$\checkmark h_1 = \frac{525 \left(0.8 + \frac{400}{1500} \right)}{36 + 5 \times 1 \times \left(9.1 - 0.12 \left(1 + \frac{1}{1} \right) \right)} = 6.8 \text{ cm}$$

tetapi tidak boleh kurang dari :

$$\checkmark h_2 = \frac{525 \left(0.8 + \frac{400}{1500} \right)}{36 + 9 \times 1} = 12.21 \text{ cm}$$

dan tidak perlu lebih dari :

$$\checkmark h_3 = \frac{525 \left(0.8 + \frac{400}{1500} \right)}{36} = 15.26 \text{ cm}$$

untuk $\alpha_m > 2$ tebal pelat tidak boleh kurang dari 9 cm

∴ Jadi tebal pelat 13 cm sudah memenuhi syarat.

Perencanaan pelat lantai memiliki tahapan perhitungan sebagai berikut :

1. Menentukan dimensi awal pelat :
 - ❖ tebal pelat : 13 cm
 - ❖ ukuran pelat : $4.5 \times 4 \text{ m}^2$
2. Perhitungan tulangan pelat
3. Kontrol pelat terhadap retak.

4.1.5. Contoh Perhitungan Penulangan Pelat

Perhitungan penulangan pelat lantai dengan ukuran $4.5\text{m} \times 4\text{m}$ ini adalah sebagai contoh perhitungan. Sedangkan perhitungan untuk pelat-pelat lainnya ditabelkan.

Perhitungan momen-momen pelat menggunakan tabel koefisien momen dari SK SNI T – 15 – 1991 - 03, dengan anggapan perletakan pelat adalah jepit penuh.

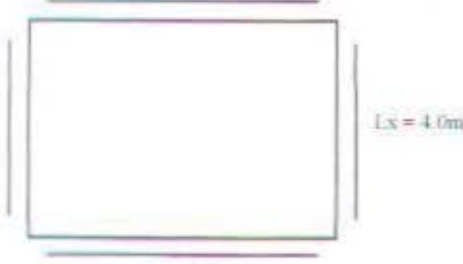
Data-data perencanaan :

- f_y : 400 MPa
- f'_c : 30 MPa, maka $\beta = 0.85$ (SK SNI T-15-1991- 03/3.3.2.4).

- ρ_b = $\frac{0.85 \times f'_c \times f_y}{f_y} \left(\frac{600}{600 + f_y} \right)$
= 0.0325
- ρ_{max} = $0.75 \times \rho_b$
= 0.0244
- ρ_{min} untuk penulangan pelat dengan f_y 400 MPa = 0.0018 (SK-SNI T-15-1991-03/3.16.12)

4.1.5.1. Penulangan Pelat

- Perhitungan momen pelat 4.5×4 m² dengan asumsi perletakan terjepit penuh



$$\frac{Ly}{Lx} = \frac{450}{400} = 1.125$$

$$Qu \text{ pelat lantai} = 1185.2 \text{ kg/m}^2$$

- M_{lx} = $+0.57^{+1}/_8 * 1185.2 * 4 * 4.5$ = 1520 kgm
- M_{ly} = $+0.57^{+1}/_8 * 1185.2 * 4 * 4.5$ = 1520 kgm
- M_{tx} = $-0.7^{+1}/_8 * 1185.2 * 4 * 4.5$ = -1866.6 kgm
- M_{ty} = $-0.7^{+1}/_8 * 1185.2 * 4 * 4.5$ = -1866.6 kgm

Tebal pelat : 130 mm

Decking : 20 mm

Tulangan lapangan dan tumpuan, baik arah x dan y, direncanakan menggunakan tulangan $\text{Ø}10 \text{ mm}$ ($A_s = 78.5 \text{ mm}^2$).

$$\begin{aligned} d(x) &= 150-20-(0.5*10) &= 125 \text{ mm} \\ b &= 1000 \text{ mm} \end{aligned}$$

- Penulangan Lapangan

- $M_I = 1520 \text{ kgm} = 1.52*10^7 \text{ Nmm}$

Lapangan

$$\frac{Mu}{bd^2fc'} = \omega \Leftrightarrow \frac{1.52*10^7}{1000*125^2*30} = 0.032$$

Dengan menggunakan tabel momen berfaktor penampang persegi ($A_s'/A_s=0$) didapatkan $\omega = 0.041$

$$\rho = \frac{\omega \times fc'}{fy} = \frac{0.041 \times 30}{400} = 0.003075$$

Jadi dipakai ρ perlu yaitu 0.003075

$$A_s \text{ perlu} = \rho * b * d = 0.003075 * 1000 * 125 = 384.4 \text{ mm}^2$$

$$\begin{aligned} \text{Jarak tulangan lentur utama} &\leq 3 \text{ tebal pelat} = 3*130 = 390 \text{ mm} \\ &\leq 500 \text{ mm (SK SNI T-15-1991/3.16.6.5)} \end{aligned}$$

maka direncanakan menggunakan tulangan lentur $\text{Ø}10-200$ ($A_s = 393 \text{ mm}^2$)

Kontrol kekuatan

$$\rho = \frac{A_{s \text{ ada}}}{bd} = \frac{393}{1000 \times 125} = 0.00314 > \rho \text{ perlu} = 0.003075 \dots \text{OK!}$$

$$a = \frac{As \times fy}{0.85 \times f'c \times b} = \frac{393 \times 400}{0.85 \times 30 \times 1000} = 6.1 \text{ mm}$$

$$\begin{aligned} Mu &= \text{Ø} * A_s * fy(d-a/2) \\ &= 0.8 * 393 * 400(125-6.1/2) = 1.54 * 10^7 \text{ Nmm} \\ &= 1.54 * 10^7 \text{ Nmm} > Mu_i = 1.52 * 110^7 \text{ Nmm} \quad \text{oke} \end{aligned}$$

Jadi tulangan tersebut akan mengalami leleh pada kondisi beban 1540 kgm

- Penulangan Tumpuan

- $M_t = -1866.6 \text{ kgm} = 1.866 * 10^7 \text{ Nmm}$

$$d(x) = 150-20-(0.5*10) = 125 \text{ mm}$$

Tumpuan

$$\frac{Mu}{bd^2fc'} = \omega \Leftrightarrow \frac{1.866 \times 10^7}{1000 \times 125^2 \times 30} = 0.039$$

Dengan menggunakan tabel momen berfaktor penampang persegi ($As'/As=0$) didapatkan $\omega = 0.051$

$$\rho = \frac{\omega \times fc'}{fy} = \frac{0.051 \times 30}{400} = 0.0038$$

Jadi dipakai ρ perlu yaitu 0.0038

$$\begin{aligned} As \text{ perlu} &= \rho \times b \times d \\ &= 0.0038 \times 1000 \times 125 = 479 \text{ mm}^2 \end{aligned}$$

$$\begin{aligned} \text{Jarak tulangan lentur utama} &\leq 3 \times \text{tebal pelat} = 3 \times 130 = 390 \text{ mm} \\ &\leq 500 \text{ mm (SK SNI T-15-1991/3.16.6.5)} \end{aligned}$$

maka digunakan tulangan lentur $\textcircled{10}-150$ ($As = 524 \text{ mm}^2$)

Kontrol kekuatan

$$\rho = \frac{As_{ada}}{b \times d} = \frac{524}{1000 \times 125} = 0.0042 > \rho_{perlu} = 0.0038 \dots OK!$$

$$a = \frac{As \times fy}{0.85 \times f'c \times b} = \frac{524 \times 400}{0.85 \times 30 \times 1000} = 8.2 \text{ mm}$$

$$\begin{aligned} Mu &= \textcircled{10} \times As \times fy(d-a/2) \\ &= 0.8 \times 524 \times 400(125-8.2/2) = 2.02 \times 10^7 \text{ Nmm} \\ &= 2.02 \times 10^7 \text{ Nmm} > Mut = 1.866 \times 10^7 \text{ Nmm} \rightarrow \text{Oke!} \end{aligned}$$

Jadi, tulangan tersebut akan mengalami leleh pada kondisi beban 2020 kgm

4.1.5.2. Kontrol Retak

Untuk sistem pelat dua arah, dimana menggunakan tulangan dengan harga $f_y < 6000 \text{ psi}$ (413.7 MPa), maka tidak perlu meninjau retak yang terjadi (Chu Kia Wang / Salmon). Tulangan yang dipakai pada perencanaan ini adalah U₁₇ ($f_y = 370 \text{ MPa} < 413.7 \text{ MPa}$) sehingga tidak perlu diperiksa terhadap retak. Kontrol retak pada balok dan pelat satu arah dibatasi SK SNI T-15-1991/3.3.6

4.2.3 Perhitungan Pembebaan dan Analisa Struktur

- Pelat tangga ($t = 22 \text{ cm}$)

Beban mati :

Berat sendiri :	$2400 \times 0.22 \times 1.5$	= 792 kg/m
Tegel + spesi :	$(21+24) \times 3 \times 1.5$	= 203 kg/m
Tegel + spesi :	$(21+24) \times 3 \times 1.5$	= 203 kg/m
Tiang sandaran:	50×1.5	= <u>75 kg/m</u>
		= 1273 kg/m

Beban hidup :

$$\text{Beban hidup untuk kantor: } 300 \times 1.5 = 450 \text{ kg/m}$$

Sehingga beban ultimate yang bekerja pada pelat miring :

$$\text{Qu} = (1.4 \times 1273) + (1.7 \times 450) = 2547.2 \text{ kg/m}$$

- Pelat bordes ($t = 15 \text{ cm}$)

Beban mati :

Berat sendiri :	$2400 \times 0.15 \times 1.5$	= 540 kg/m
Tegel + spesi :	$(21+24) \times 3 \times 1.5$	= 203 kg/m
Tiang sandaran :	50×1.5	= <u>75 kg/m</u> +
		= 818 kg/m

Beban hidup :

$$\text{Beban hidup pelat bordes tangga: } 300 \times 1.5 = 450 \text{ kg/m}$$

Sehingga beban ultimate yang bekerja pada pelat bordes :

$$\text{Qu} = (1.4 \times 818) + (1.7 \times 450) = 1910.2 \text{ kg/m}$$

Mengacu pada persyaratan peraturan gempa, unsur-unsur non struktur (struktur sekunder) hendaknya dipisahkan (tidak mempengaruhi) dari struktur utamanya. Memperhatikan dari persyaratan tersebut, maka perencanaan struktur tangga pada gedung ini memakai tumpuan sendi dan rol. Analisa tangga dengan program SAP v7.42.

4.2.4 Perhitungan Penulangan Tangga

1. Pelat Tangga

□ Penulangan arah x

$$\rho_{\min} = 0.0018$$

$$\rho_{\max} = 0.75\rho_b = 0.0244$$

$$M_u = 5907.5 \text{ kgm} = 5.9 \times 10^7 \text{ Nmm}$$

$$\text{Selimut beton} = 30 \text{ mm}$$

$$d = 220 - 30 = 190 \text{ mm}$$

$$\frac{M_u}{bd^2 f_c} = \frac{5.9 \times 10^7}{1000 \times 190^2 \times 30} = 0.05$$

Dengan menggunakan tabel momen berfaktor penampang persegi ($A_s'/A_s = 0$) didapatkan $\omega = 0.065$

$$\rho = \omega * f_c' / f_y = (0.065 \times 30) / 400 = 0.0049$$

Jadi dipakai ρ perlu yaitu 0.0049

$$A_s \text{ perlu} = \rho \times b \times d = 0.0049 \times 1000 \times 190 = 931 \text{ mm}^2$$

$$\text{Dipasang } \Phi 13 - 125 \text{ mm } (A_s = 1062 \text{ mm}^2)$$

□ Penulangan arah y untuk pelat tangga dipasang tulangan praktis $\Phi 13 - 125$

2. Pelat Bordes

□ Penulangan arah x

$$\rho_{\min} = 0.0018$$

$$\rho_{\max} = 0.75\rho_b = 0.0244$$

$$M_u = 5679.79 \text{ kgm} = 5.7 \times 10^7 \text{ Nmm}$$

$$\text{Selimut beton} = 30 \text{ mm}$$

$$d = 150 - 30 = 120 \text{ mm}$$

$$\frac{M_u}{bd^2 f_c} = \frac{5.7 \times 10^7}{1000 \times 120^2 \times 30} = 0.13$$

Dengan menggunakan tabel momen berfaktor penampang persegi ($A_s'/A_s = 0$) didapatkan $\omega = 0.182$

$$\rho = \omega * f_c' / f_y = (0.182 \times 30) / 400 = 0.014$$

Jadi dipakai ρ perlu yaitu 0.014

$$As \text{ perlu} = \rho \times b \times d = 0.014 \times 1000 \times 120 = 1600 \text{ mm}^2$$

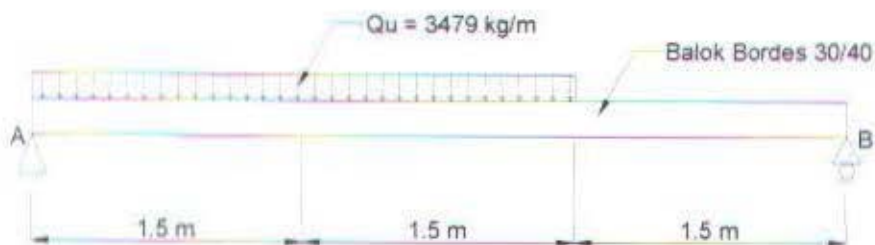
Dipasang $\Phi 13 - 75 \text{ mm}$ ($As = 1770 \text{ mm}^2$)

- Penulangan arah y pelat bordes dipasang tulangan praktis $\Phi 13 - 75$

4.2.5 Perhitungan Balok Penumpu Tangga

Beban yang bekerja pada balok penumpu tangga sepanjang 4.5 m :

- Bordes : $\left(\frac{5219.17}{1.5} \right) = 3479 \text{ kg/m}$ (ultimate)
- Balok bordes : $(0.3 \times 0.4 \times 2400) \times 1.4 = 403.2 \text{ kg/m}$ (ultimate)



$$\sum Mb = 0$$

$$(Ra \times 4.5) - (3882 \times 3 \times 3) = 0$$

- Ra : 7764 kg
- Rb : 2673 kg

$$\begin{aligned} Mu_{\max} (x = 2 \text{ m}) &= (7764 \times 2) - (0.5 \times 3882 \times 2^2) \\ &= 7764 \text{ kgm} \end{aligned}$$

$$Vu_{ujung} = 7764 \text{ kg}$$

$$Vud = 7764 \times (4.5 - 0.4) / 4.5 = 7073.8 \text{ kg}$$

$$\begin{aligned} Tu_{tangga} &= qu_{tangga} \times L \times \frac{1}{2} \times b \\ &= (3479 + 403.2) \times 4.5 \times \frac{1}{2} \times 0.3 = 2620.4 \text{ kgm} \end{aligned}$$

- Perhitungan tulangan akibat beban Mu :

$$Mu : 7764 \text{ kgm}$$

$$b : 300 \text{ mm}$$

$$d : 400 - 20 = 380 \text{ mm}$$

$$\rho_{\min} : 0.0035$$

$$\omega_1 : \frac{Mu}{fc' \times b \times d^2} = \frac{7764 \times 10^4}{30 \times 300 \times 380^2} = 0.059$$

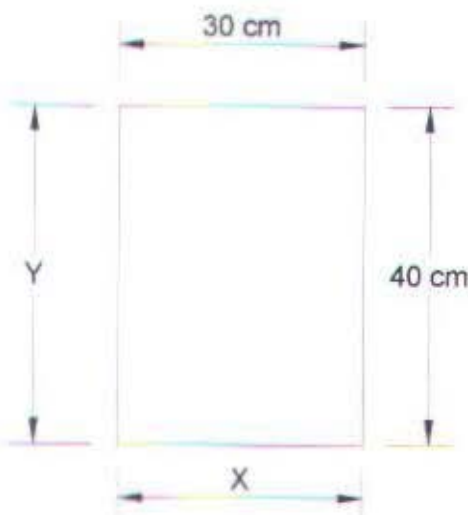
Dengan menggunakan tabel momen berfaktor penampang persegi ($As'/As = 0$) didapatkan $\omega = 0.077$, sehingga :

$$\rho = \omega \times fc' / fy = 0.0057 > \rho_{\min}$$

$$As \text{ perlu} = \rho \times b \times d = 0.0057 \times 300 \times 380 = 649 \text{ mm}^2$$

- Perhitungan tulangan akibat beban Vu dan Tu

Ukuran penampang



Kontrol penampang

$$\sum x^2 y = (300^2 \times 400) = 3.6 \times 10^7 \text{ mm}^3$$

- Perhitungan batas Tu yang tidak memerlukan tulangan Torsi :

$$\phi \times \frac{1}{20} \times \sqrt{fc'} \times \sum(x^2 y) = 0.6 \times \frac{1}{20} \times \sqrt{30} \times 3.6 \times 10^7 = 0.6 \times 10^7 \text{ Nmm}$$

Karena $Tu_{\min} < Tu_{\text{ada}}$ yaitu $0.6 \times 10^7 \text{ Nmm} < 2.6 \times 10^7 \text{ Nmm}$, maka Torsi harus diperhitungkan.

- Kontribusi beton dalam memikul beban Tu :

$$Tc = \frac{\sqrt{fc'} \times \sum x^2 y}{15 \sqrt{1 + \left(0.4 \times \frac{Vu}{C_r \times T_U} \right)^2}} \times \left(1 + 0.3 \times \frac{Nu}{Ag} \right)$$

catatan : Nilai N_u sama dengan nol jika tidak memperhitungkan gaya aksial

Dimana :

$$C_1 = \frac{bw \times d}{\sum x^2 y} = \frac{300 \times 380}{3.6 \times 10^7} = 0.0032$$

$$T_c = \frac{\sqrt{30} \times 3.6 \times 10^7}{15 \sqrt{1 + \left(0.4 \times \frac{77640}{0.0032 \times 2.6 \times 10^7} \right)^2}} = 12.3 \times 10^6 \text{ Nmm}$$

$$\frac{At}{S} = \frac{T_u - \phi T_c}{\phi \times f_y \times \alpha_i \times x_i \times y_i}$$

decking = 20 mm

$$x_i = 300 - (2 \times 20) = 260 \text{ mm}$$

$$y_i = 400 - (2 \times 20) = 360 \text{ mm}$$

$$\alpha_i = \frac{1}{3} \times \left(2 + \frac{y_i}{x_i} \right) = \frac{1}{3} \times \left(2 + \frac{360}{260} \right) = 1.1 \leq 1.5$$

ambil $\alpha_i = 1.1$

$$\frac{At}{S} = \frac{(2.6 \times 10^7) - (0.6 \times 12.3 \times 10^6)}{0.6 \times 400 \times 1.1 \times 260 \times 360} = 0.7 \text{ mm}^2/\text{mm}$$

➤ Kontribusi beton dalam memikul beban V_u :

$$V_c = \frac{\sqrt{f'_c} \times bw \times d}{6 \sqrt{1 + \left(\frac{2.5 \times C_r \times T_u}{V_{u_d}} \right)^2}}$$

$$= \frac{\sqrt{30} \times 300 \times 380}{6 \sqrt{1 + \left(\frac{2.5 \times 0.0032 \times 2.6 \times 10^7}{70738} \right)^2}} = 33570 \text{ N}$$

$$\frac{Av}{S} = \frac{V_{u_d} - \Phi V_c}{\Phi \times f_y \times d} = \frac{70738 - 0.6 \times 33570}{0.6 \times 400 \times 380} = 0.5 \text{ mm}^2/\text{mm}$$

➤ Kombinasi Tulangan Sengkang Geser dan Torsi :

$$\frac{Avt}{S} = \left(\frac{(2 \times At)}{S} + \frac{Av}{S} \right)$$

$$= (2 \times 0.7 + 0.5) = 1.9 \text{ mm}$$

$$\frac{bw}{3fy} = \frac{300}{3 \times 400} = 0.25 \text{ mm}$$

$$\frac{Avt}{S} > \frac{bw}{3fy} \Rightarrow \frac{Avt}{S} = 1.9 \text{ mm MENENTUKAN !!!!}$$

Direncanakan menggunakan sengkang $\phi 10$

$$Avt = \text{Luas satu kaki} = 78.5 \text{ mm}^2 \rightarrow \text{Luas dua kaki} = 78.5 \times 2 = 157 \text{ mm}^2$$

$$S = Avt / 2.9 = 157 / 1.9 = 82.6 \text{ mm} \approx 80 \text{ mm}$$

➤ Kontrol Smax:

$$S \leq \frac{x_1 + y_1}{4} \Rightarrow 80 \text{ mm} \leq \frac{260 + 360}{4} = 155 \text{ mm}$$

maka diambil $S = 80 \text{ mm}$

➤ Perhitungan Tulangan Torsi Memanjang:

Diambil nilai terbesar dari (SK-SNI T-15-1991/3.4.6.9.3)

$$Al_1 = \frac{2 \times Avt}{S} (x_1 + y_1) \\ = 2 \times 0.7 \times (260 + 360) = 868 \text{ mm}^2$$

$$Al_2 = \left(\frac{2.8 \times S \times b \times Tu}{fy \left(Tu + \frac{Vu_d}{3 \times C_T} \right)} - 2 \times A_t \right) \left(\frac{x_1 + y_1}{S} \right) \\ = \left(\frac{2.8 \times 80 \times 300 \times 2.6 \times 10^7}{400 \left(2.6 \times 10^7 + \frac{70738}{3 \times 0.0032} \right)} - 2 \times (0.7 \times 80) \right) \left(\frac{260 + 360}{80} \right) \\ = 146.5 \text{ mm}^2$$

Al tidak perlu lebih besar dari :

$$Al = \left(\frac{2.8 \times S \times b \times Tu}{fy \left(Tu + \frac{Vu_d}{3 \times C_T} \right)} - \left(\frac{bw \times S}{3fy} \right) \right) \left(\frac{x_1 + y_1}{S} \right)$$

$$= \left[\frac{2.8 \times 80 \times 300 \times 2.6 \times 10^7}{400 \left(2.6 \times 10^7 + \frac{70738}{3 \times 0.0032} \right)} - \left(\frac{300 \times 80}{3 \times 400} \right) \right] \left(\frac{260 + 360}{80} \right)$$

$$= 859.5 \text{ mm}^2$$

Karena $A_{l_j} > A_{l \text{ max}}$

$A_{l \text{ max}} = 859.5 \text{ mm}^2$ menentukan !

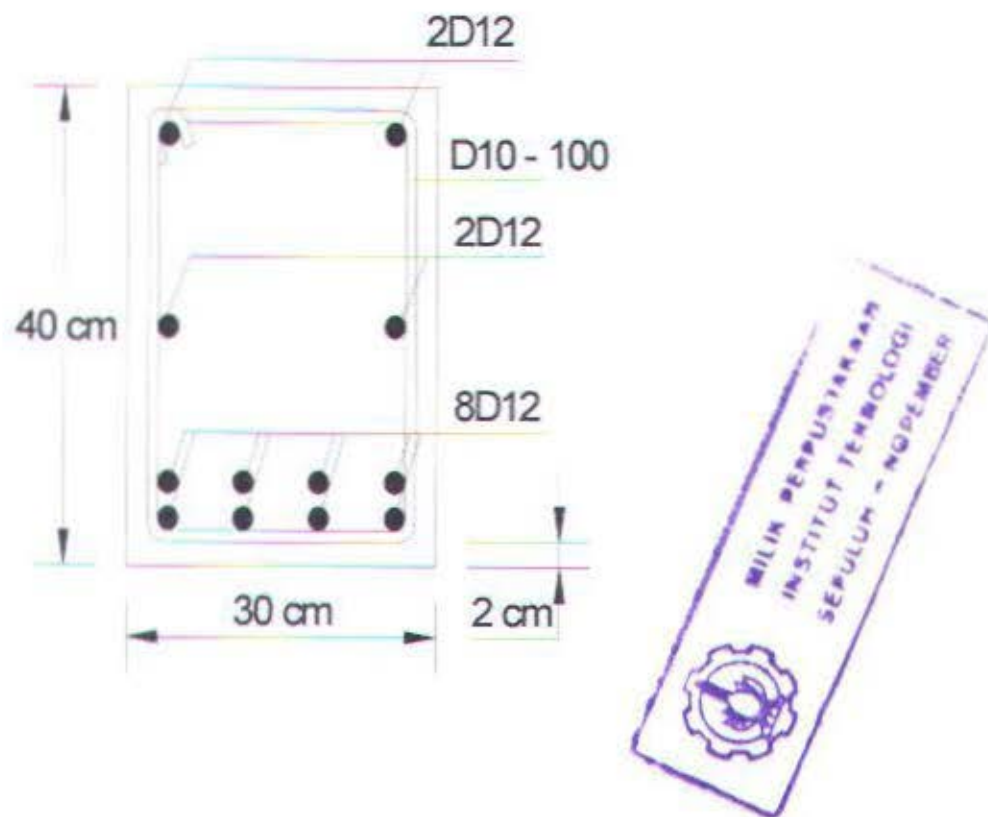
➤ Pemasangan Tulangan :

- Untuk tulangan arah longitudinal di pasang $\frac{1}{4}$ Al :

$$\frac{1}{4} \times 859.5 = 214.8 \text{ mm}^2 \rightarrow \text{dipasang } 2\text{D}-12 = 226.1 \text{ mm}^2$$
- Jarak antar tulangan memanjang $\leq 300 \text{ mm}$:

$$\{400 - (2 \times 20)\} / 300 = 1.2 \approx 2 \text{ baris}$$
 Jadi $360 / 2 = 180 \text{ mm} \leq 300 \text{ mm}$ OK!
- Kombinasi tulangan lentur dan torsi untuk longitudinal bawah :

$$\text{Tul. Lentur} + \text{tul. Torsi} = 649 + 226.1 = 875 \text{ mm}^2$$
 Jadi dipasang tulangan 8 D- 12 = 904.3 mm²



Tangga (1.5 m x 3.8 m) dengan h = 2 m

Beban – beban yang bekerja pada tangga :

$$\begin{aligned} \text{- berat sendiri bordes} &: 1.5 \times 1 \times 0.15 \times 2400 &= 540 \text{ kg} \\ \text{- berat sendiri tangga} &: \frac{(3.8 - 1)}{\cos 32,74} \times 1.5 \times 0.22 \times 2400 &= 2636.44 \text{ kg} + \\ && \text{beban mati} &= 3176.44 \text{ kg} \end{aligned}$$

Beban Ultimate :

$$W = 1.4 \times 3176.44 = 4447.1 \text{ kg}$$

Beban Ultimate yang harus dipikul oleh masing – masing titik angkat :

$$P = 4447.1 / 4 = 1111.75 \text{ kg}$$

Berdasarkan tabel Design Aid 11.2.3 hal 11 – 17 PCI Design Handbook, didapatkan data kabel untuk pengangkatan :

- Kabel Strand (Seven Wire) diameter $\frac{1}{2}$ in = 12.70 mm
- f_{pu} : 250 ksi = 1723.75 MPa (1 ksi = 6.895 MPa)
- A : $0.144 \text{ in}^2 = 92.9088 \text{ mm}^2$ (1 sq in = 645.2 sq mm)

Gaya yang harus dipikul oleh satu strand (satu titik angkat) :

$$F_{strand} : A \times f_{pu} = 92.9088 \times 1723.75 = 16015.154 \text{ kg}$$

Beban ijin untuk satu strand :

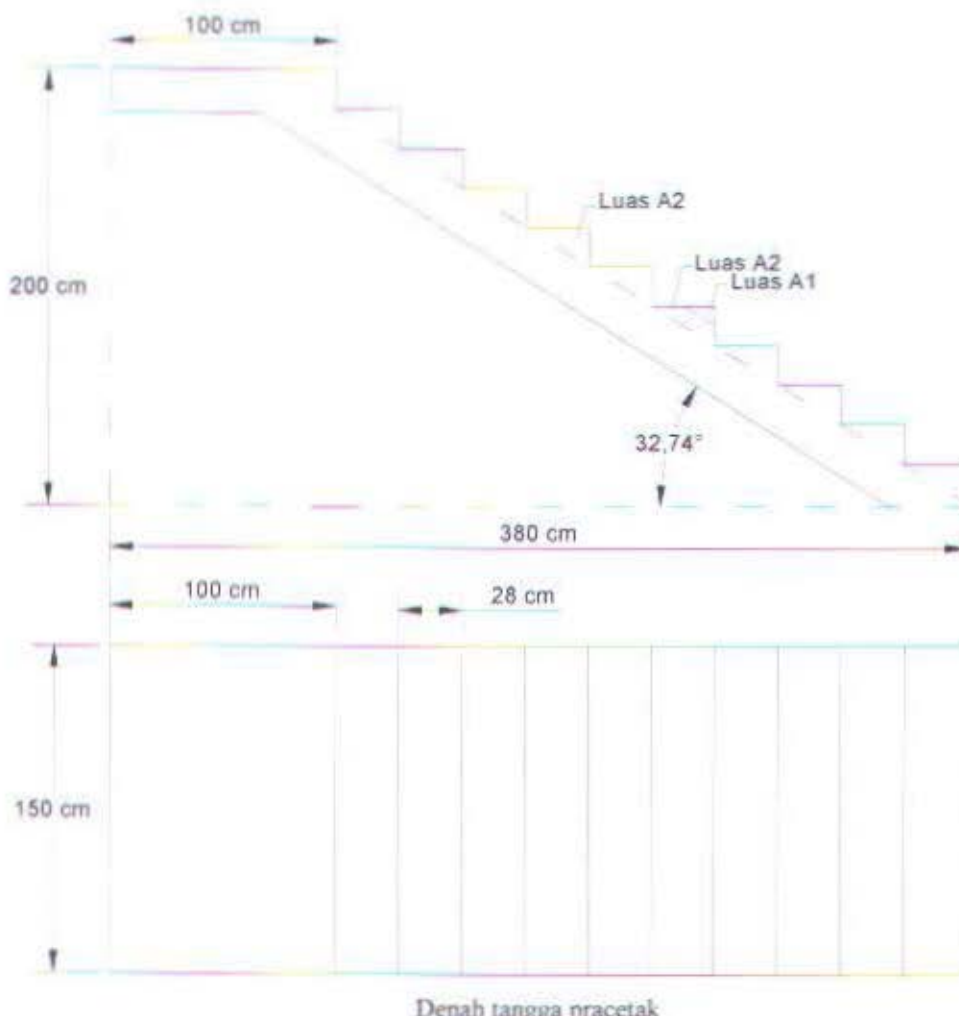
$$F_{ijin} : 16015.154 / 4 = 4003.789 \text{ kg}$$

$$P < F_{ijin} \rightarrow 1111.75 \text{ kg} < 4003.789 \text{ kg} \dots \dots \text{OK!}$$

Jadi, untuk titik angkat digunakan satu Seven Wire Strand $f_{pu} = 250$ ksi (1723.75 MPa) dengan diameter $\frac{1}{2}$ in (12.7 mm)

4.2.6 Pengangkatan Elemen Tangga

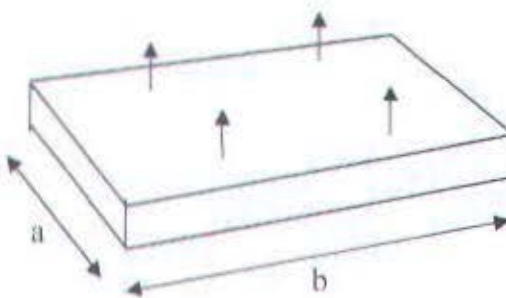
Elemen tangga diangkat dengan mengasumsikan elemen tangga sebagai pelat.



∴ elemen tangga direncanakan diangkat dengan metode two points pick up, letak titik angkat akibat beban mati ekivalen tangga = $0.207 \times$ panjang sisi.

Kontrol tegangan saat pengangkatan

- Lentur arah memanjang



4.3 PERENCANAAN BALOK ANAK

4.3.1 Data Perencanaan

f_c'	:	30 MPa
f_y	:	400 MPa
Dimensi	:	30 cm x 40 cm untuk bentang 4 m
	:	30 cm x 40 cm untuk bentang 4.5 m

4.3.2 Pembebanan Balok Anak

4.3.2.1 Tipe-tipe pembebanan

Beban-beban yang bekerja pada balok anak tersebut adalah berat sendiri balok anak tersebut dan semua beban merata pada pelat (termasuk berat sendiri pelat dan berat hidup merata di atasnya). Distribusi beban pada balok pendukung sedemikian rupa sehingga dapat dianggap sebagai beban segitiga pada lajur pendek dan beban trapezium pada lajur yang panjang. Beban-beban berbentuk trapezium maupun segitiga tersebut kemudian dirubah menjadi beban merata ekivalen dengan menyamakan momen maksimum.

Beban ekivalen tersebut digunakan sebagai beban merata pada balok anak maupun balok induk untuk perhitungan analisa struktur.

4.3.2.2 Pola pembebanan balok

Ada 2 macam pola pembebanan pada balok anak :

- Pola pembebanan sebelum komposit
- Pola pembebanan sesudah komposit

4.3.2.3 Perhitungan pembebanan balok Anak

Contoh perhitungan pada balok anak bentang 4.5 m :

Beban – beban yang bekerja :

1. Sebelum komposit

➤ Beban mati

$$\text{Berat balok anak} : 0.3 \times 0.27 \times 2400 = 180 \text{ kg/m}$$

Berat trapezium ekivalen pelat ($qd = 543 \text{ kg/m}^2$)

2. Sesudah komposit

- Beban mati

Berat trapezium ekivalen pelat ($qd = 543 \text{ kg/m}^2$)

$$\text{Berat balok anak} : 0.3 \times 0.4 \times 2400 = 288 \text{ kg/m}$$

$$\text{Berat dinding bata} : 4 \times 250 = 1000 \text{ kg/m}$$

- Beban hidup

Berat trapezium ekivalen pelat ($ql = 250 \text{ kg/m}^2$)

Kombinasi pembebanan

1. Sebelum komposit

$$qd = 180 \text{ kg/m}$$

$$\begin{aligned} qekd &= 2 \times \frac{1}{2} \times q \times Lx \left(1 - \frac{1}{3} \left(\frac{Lx}{Ly} \right)^2 \right) = 2 \times \frac{1}{2} \times 543 \times 4 \left(1 - \frac{1}{3} \left(\frac{400}{450} \right)^2 \right) \\ &= 1600 \text{ kg/m} \end{aligned}$$

$$qu = 1.4D$$

$$= 1.4 (180 + 1600)$$

$$= 2492 \text{ kg/m}$$

2. Sesudah komposit

$$\begin{aligned} qekd &= 2 \times \frac{1}{2} \times q \times Lx \left(1 - \frac{1}{3} \left(\frac{Lx}{Ly} \right)^2 \right) = 2 \times \frac{1}{2} \times 543 \times 4 \left(1 - \frac{1}{3} \left(\frac{400}{450} \right)^2 \right) \\ &= 1600 \text{ kg/m} \end{aligned}$$

$$\begin{aligned} qekl &= 2 \times \frac{1}{2} \times q \times Lx \left(1 - \frac{1}{3} \left(\frac{Lx}{Ly} \right)^2 \right) = 2 \times \frac{1}{2} \times 250 \times 4 \left(1 - \frac{1}{3} \left(\frac{400}{450} \right)^2 \right) \\ &= 736.63 \text{ kg/m} \end{aligned}$$

$$qu = 1.4D + 1.7L$$

$$= 1.4 (1600 + 1000 + 288) + 1.7 (736.63)$$

$$= 5295.5 \text{ kg/m}$$

Untuk perhitungan gaya-gaya dalam yang terjadi pada balok anak dibedakan antara sebelum dan sesudah komposit. Setelah gaya-gaya dalam balok diketahui, selanjutnya akan dihitung kebutuhan penulangan balok baik sebelum maupun sesudah komposit. Pada akhirnya penulangan yang akan dipakai adalah penulangan yang membutuhkan jumlah yang lebih banyak dari dua keadaan ini.

4.3.3 Perhitungan gaya dalam balok anak pelat lantai :

- Bentang balok anak yaitu 4.5 m

1. *Gaya Dalam Pada Balok Anak Sebelum Komposit ($Qu = 2492 \text{ kg/m}$)*

Pada contoh perhitungan kali ini, diasumsikan balok berada diatas dua tumpuan sederhana (sendi – rol). Dari perhitungan didapatkan :

$$V_{u\max} : \frac{1}{2} \times Qu \times L = \frac{1}{2} \times 2492 \times 4.5 = 5607 \text{ kg}$$

$$M_{u\max} : \frac{1}{8} \times Qu \times L^2 = \frac{1}{8} \times 2492 \times 4.5^2 = 6307.875 \text{ kgm}$$

2. *Gaya Dalam Pada Balok Anak Sesudah Komposit ($Qu = 5295.5 \text{ kg/m}$)*

Dari perhitungan gaya dalam untuk kondisi balok anak sesudah komposit dengan menggunakan SAP v7.42 didapatkan :

$$M_{tumpuan} : 11279.87 \text{ kgm}$$

$$M_{lapangan} : 7764.3 \text{ kgm}$$

$$V_u : 14421.51 \text{ kg}$$

4.3.4 Perhitungan penulangan pada balok anak

1. *Balok Anak Sebelum Komposit ($M_u = 6307.875 \text{ kgm}$; $V_u = 5607 \text{ kg}$)*

- Penulangan Lentur

$$\frac{M_u}{b \times d^2 \times f'c} = \frac{6307.875 \times 10^4}{300 \times 201^2 \times 30} = 0.17$$

Dengan menggunakan tabel momen berfaktor penampang persegi ($As'/As = 0.5$), didapatkan $\omega = 0.234$

$$\rho = \omega \times f'c / fy = 0.234 \times 30 / 400 = 0.0175$$

$$\rho_b = \{0.85 \times f'c \times \beta \times \{600/(600+fy)\}\}/fy$$

$$\rho_b = 0.0325$$

$$\rho_{\max} = 0.75 \times \rho_b = 0.024$$

$$\rho_{\min} = 1.4 / f_y = 1.4 / 400 = 0.0035$$

$\rho > \rho_{\min}$ → digunakan ρ perlu

$$As = \rho \times b \times d = 0.0175 \times 300 \times 201 = 1055 \text{ mm}^2$$

Dipasang tulangan rangkap :

$$As' : 3 D 18 (\text{As} = 763.02 \text{ mm}^2)$$

$$As : 5 D 18 (\text{As} = 1271.7 \text{ mm}^2)$$

- Penulangan Geser Balok

$$Vu : 56070 \text{ N}$$

$$Vn : \frac{Vu}{\phi} = \frac{56070}{0.6} = 93450 \text{ N}$$

$$Vc : \left(\frac{1}{6} \sqrt{f'_c} x b w x d \right) = \left(\frac{1}{6} \sqrt{30} \times 300 \times 201 \right) = 55046 \text{ N}$$

$$\phi Vc : 0.6 \times 55046 = 33027 \text{ N}$$

$$\phi Vc + \phi x \frac{1}{3} x \sqrt{f'_c} x b w x d : 33027 + (0.6 \times \frac{1}{3} x \sqrt{30} \times 300 \times 201) = 99082.3 \text{ N}$$

$$\phi Vc + \min \phi Vs : 33027 + \left(0.6 \times \frac{1}{3} x 300 \times 201 \right) = 45087 \text{ N}$$

$$\phi Vc + \min \phi Vs < Vu < \phi Vc + \phi x \frac{1}{3} x \sqrt{f'_c} x b w x d$$

$$\phi Vs : Vu - \phi Vc = 23043 \text{ N}$$

Direncanakan menggunakan tulangan D₁₀ (As = 78.5 mm²)

$$S = \frac{\phi A v \times f_y \times d}{\phi Vs} = \frac{0.6 \times 157 \times 400 \times 201}{23043} = 328.6 \text{ mm}$$

$$S = \frac{d}{2} = \frac{201}{2} = 105 \text{ mm} \leq 600 \text{ mm}$$

Dipakai D₁₀ = 100

2. *Balok Anak Sesudah Komposit*

$$M_{\text{tumpuan}} : 11279.87 \text{ kgm}$$

$$M_{\text{lapangan}} : 7764.3 \text{ kgm}$$

$$Vu : 14421.51 \text{ kg}$$

- Penulangan Lentur Tumpuan

$$\frac{Mu}{b \times d^2 \times f'c} = \frac{11279.87 \times 10^4}{300 \times 351^2 \times 30} = 0.1$$

Dengan menggunakan tabel momen berfaktor penampang persegi ($As'/As = 0.5$), didapatkan $\omega = 0.138$

$$\rho = \omega \times f'c / fy = 0.138 \times 30 / 400 = 0.01$$

$$\rho_b = [0.85 \times f'c \times \beta \times \{600/(600+fy)\}] / fy$$

$$\rho_b = 0.0325$$

$$\rho_{\max} = 0.75 \times \rho_b = 0.024$$

$$\rho_{\min} = 1.4 / fy = 1.4 / 400 = 0.0035$$

$\rho > \rho_{\min} \rightarrow$ digunakan ρ perlu

$$As = \rho \times b \times d = 0.01 \times 300 \times 351 = 1053 \text{ mm}^2$$

Dipasang tulangan :

$$As' : 3 D - 18 \quad (As = 763.02 \text{ mm}^2)$$

$$As : 5 D - 18 \quad (As = 1271.7 \text{ mm}^2)$$

- Penulangan Lentur Lapangan

$$\frac{Mu}{b \times d^2 \times f'c} = \frac{7764.3 \times 10^4}{300 \times 351^2 \times 30} = 0.07$$

Dengan menggunakan tabel momen berfaktor penampang persegi ($As'/As = 0.5$), didapatkan $\omega = 0.097$

$$\rho = \omega \times f'c / fy = 0.097 \times 30 / 400 = 0.0073$$

$\rho > \rho_{\min} \rightarrow$ digunakan ρ perlu

$$As = \rho \times b \times d = 0.0073 \times 300 \times 351 = 766 \text{ mm}^2$$

Dipasang tulangan :

$$As' : 2 D - 18 \quad (As = 508.68 \text{ mm}^2)$$

$$As : 4 D - 18 \quad (As = 1017.36 \text{ mm}^2)$$

- Penulangan Geser

$$Vu : 14421.5 \text{ kg} = 144215 \text{ N}$$

$$\phi V_c : 0.6 \times \frac{1}{6} x \sqrt{fc'} x b w x d = 0.6 \times \frac{1}{6} x \sqrt{30} x 300 x 353 = 58003.8 N$$

$$\phi Vc + \phi \times \frac{1}{3} \times \sqrt{fc'} \times b \times w \times d : 58003.8 + (0.6 \times \frac{1}{3} \times \sqrt{30} \times 300 \times 353) = 174011.4 \text{ N}$$

$$\phi Vc + \min \phi Vs : 58003.8 + \left(0.6 \times \frac{1}{3} \times 300 \times 353 \right) = 79183.8 \text{ N}$$

$$\phi Vc + \min \phi Vs < Vu < \phi Vc + \phi \times \frac{1}{3} \times \sqrt{fc'} \times b \times w \times d$$

$$\phi Vs : Vu - \phi Vc = 86211.2 \text{ N}$$

Direncanakan menggunakan tulangan D_{10} ($A_s = 78.5 \text{ mm}^2$)

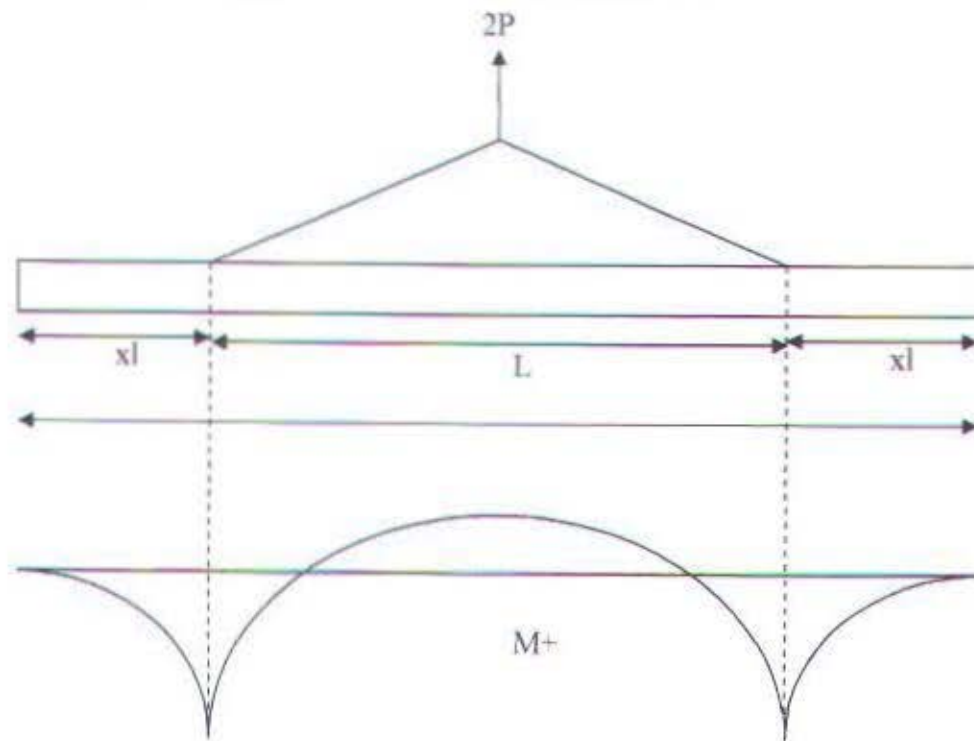
$$S = \frac{\phi A v \times f_y \times d}{\phi Vs} = \frac{0.6 \times 157 \times 400 \times 353}{86211.2} = 154 \text{ mm}$$

$$S = \frac{d}{2} = \frac{353}{2} = 176.5 \text{ mm} \leq 600 \text{ mm}$$

Dipakai $D_{10} = 150$

4.3.5 Pengangkatan

Balok anak dibuat secara pracetak di pabrik. Elemen balok harus dirancang untuk menghindari kerusakan pada waktu proses pengangkatan. Tempat pengangkatan dan kekuatan tulangan angkat harus menjamin keamanan elemen balok tersebut dari kerusakan.



M-

M-

Dimana :

$$+M = \frac{WL^2}{8} \left(1 - 4X + \frac{4Yc}{Ltg\theta} \right)$$

$$-M = \frac{WX^2L^2}{2}$$

$$X = \frac{1 + \frac{4Yc}{Ltg\theta}}{2 \left(1 + \sqrt{1 + \frac{Yt}{Yb} \left(1 + \frac{4Yc}{Ltg\theta} \right)} \right)}$$

Contoh Perhitungan :

Balok anak bentang 4.5 m dengan dimensi 30/40

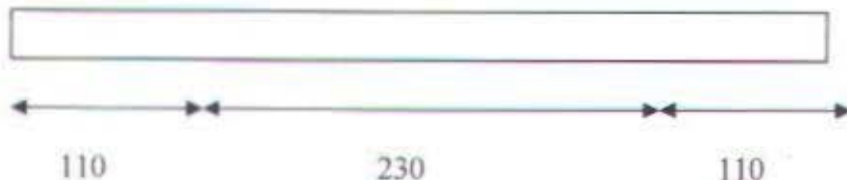
$$Yt = Yb = 13.5 \text{ cm}$$

$$I = \frac{1}{12} \times 30 \times 13.5^3 = 4882.8 \text{ cm}^4$$

$$Yc = Yt + 5 = 18.5 \text{ cm}$$

$$X : \frac{1 + \frac{4 \times 18.5}{450 \operatorname{tg} 45^\circ}}{2 \left(1 + \sqrt{1 + \frac{13.5}{13.5} \left(1 + \frac{4 \times 18.5}{450 \operatorname{tg} 45^\circ} \right)} \right)} = 0.24$$

$$X \cdot L : 0.24 \times 450 = 108 \text{ cm} \approx 110 \text{ cm}$$

**Beban balok anak :**

$$1. \text{ berat sendiri} = 0.3 \times 0.27 \times 2400 = 180 \text{ kg/m}$$

Momen yang terjadi :

- **Momen lapangan**

$$+M = \frac{WL^2}{8} \left(1 - 4X + \frac{4Yc}{L \tan \theta} \right)$$

$$= \frac{180 \times 4.5^2}{8} \left(1 - 4 \times 0.24 + \frac{4 \times 0.25}{4.5 \tan 45^\circ} \right) = 118.5 \text{ kgm}$$

$M_{\max} = 118.5 \text{ kgm}$

Faktor pengali saat transportasi : 1.5

Maka momen yang terjadi : $M_{\max} = 1.5 \times 118.5 = 177.75 \text{ kgm}$

Tegangan yang terjadi :

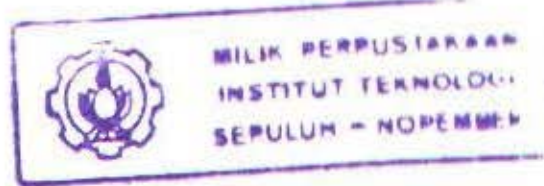
$$f = \frac{M}{Wt} = \frac{1777500}{\frac{1}{6} \times 300 \times 270^2} = 0.57 \text{ MPa} \leq f_r = 1.683 \text{ MPa}$$

- Momen di tumpuan :**

$$-M = \frac{WX^2 L^2}{2} = \frac{[180 \times 1.1^2]}{2} = 108.9 \text{ kgm}$$

Tegangan yang terjadi :

$$f = \frac{M}{Wt} = \frac{1089000}{\frac{1}{6} \times 300 \times 270^2} = 0.35 \text{ MPa} \leq f_r = 1.683 \text{ MPa}$$



Balok anak dimensi 30/27 dengan bentang 4.5 m

Beban – beban yang bekerja pada tangga :

- berat sendiri balok anak : $0.3 \times 0.27 \times 2400 = 180 \text{ kg}$

Beban Ultimate :

$$W = 1.4 \times 180 = 252 \text{ kg}$$

Beban Ultimate yang harus dipikul oleh masing – masing titik angkat :

$$P = 252 / 2 = 126 \text{ kg}$$

Berdasarkan tabel Design Aid 11.2.3 hal 11 – 17 PCI Design Handbook, didapatkan data kabel untuk pengangkatan :

- Kabel Strand (Seven Wire) diameter $\frac{1}{2} \text{ in} = 12.70 \text{ mm}$
- $f_{pu} : 250 \text{ ksi} = 1723.75 \text{ MPa}$ ($1 \text{ ksi} = 6.895 \text{ MPa}$)
- $A : 0.144 \text{ in}^2 = 92.9088 \text{ mm}^2$ ($1 \text{ sq in} = 645.2 \text{ sq mm}$)

Gaya yang harus dipikul oleh satu strand (satu titik angkat) :

$$F_{strand} : A \times f_{pu} = 92.9088 \times 1723.75 = 16015.154 \text{ kg}$$

Beban ijin untuk satu strand :

$$F_{ijin} : 16015.154 / 2 = 8007.577 \text{ kg}$$

$$P < F_{ijin} \rightarrow 126 \text{ kg} < 8007.577 \text{ kg} \dots\dots \text{OK!}$$

Jadi, untuk titik angkat digunakan satu Seven Wire Strand fpu = 250 ksi (1723.75 MPa) dengan diameter $\frac{1}{2}$ in (12.7 mm)

4.3.6 Lendutan

Komponen struktur beton yang mengalami lentur harus dirancang mempunyai kekakuan cukup untuk membatasi deformasi yang mungkin memperlemah kekakuan ataupun kemampuan kelayanan struktur pada beban kerja.

- Lendutan yang terjadi pada balok anak tidak perlu dihitung sebab pada waktu mendimensi balok, tebal balok telah memenuhi persyaratan tebal minimum pada tabel 3.2.5(2) SK SNI T-15-1991-03.

4.3.7 Kontrol Retak

Lebar retak diperhitungkan jika tulangan yang digunakan memakai $f_y > 413.7$ MPa (Chu Kia Wang / Salmon). Tulangan yang dipakai pada perencanaan ini adalah U₃₇ ($f_y = 370$ MPa < 413.7 MPa) sehingga tidak perlu diperiksa terhadap retak.

BAB V

DESAIN STRUKTUR UTAMA

BAB V

DESAIN STRUKTUR UTAMA

5.1 ANALISA STRUKTUR UTAMA

5.1.1 Umum

Struktur utama adalah komponen utama dari struktur bangunan yang berfungsi menahan pembebanan yang berasal dari beban hidup ataupun beban mati. Struktur utama disamping mampu menahan beban gravitasi juga direncanakan mampu menahan beban lateral berupa beban gempa dan angin.

5.1.2 Permodelan Struktur

Perencanaan gedung perkantoran ini memodelkan struktur sebagai *Moment Resisting Frame System (MRFS)*, yaitu dimana beban gravitasi dan beban lateral dipikul sepenuhnya oleh frame. Permodelan struktur ini mengambil permodelan yang disyaratkan dalam peraturan UBC 1997.

5.1.3 Data-data Perancangan

Perencanaan gedung ARTHA GRAHA ini berdasarkan data – data :

1. Mutu beton (f_c') = 30 MPa
2. Mutu baja tulangan = 400 MPa
3. Jumlah lantai = 9 + atap
4. Tinggi lantai dasar = 4 m
5. Tinggi bangunan = 35,5 m
6. Ukuran bangunan = 57 m x 32 m
7. Dimensi kolom = 70 cm x 70 cm
8. Dimensi balok induk = 40 cm x 60 cm
9. Dimensi balok anak = 30 cm x 40 cm
10. Wilayah gempa = Zone 2
11. Tipe tanah = Sd

5.1.4 Perhitungan Pembebanan Vertikal

Pembebanan gravitasi dari pelat akan dihitung menggunakan metode *Tributary Area*. Hasil perhitungan tersebut akan dibebankan secara merata pada frame, sedangkan untuk berat sendiri dari balok dan kolom akan diperhitungkan lewat program Analisa Struktur.

Perhitungan Pembebanan Pelat

Dari perhitungan pembebanan pelat pada bab sebelumnya didapatkan :

1. Beban pelat lantai

- Beban mati $q = 543 \text{ kg/m}^2$
- Beban hidup $q = 250 \text{ kg/m}^2$

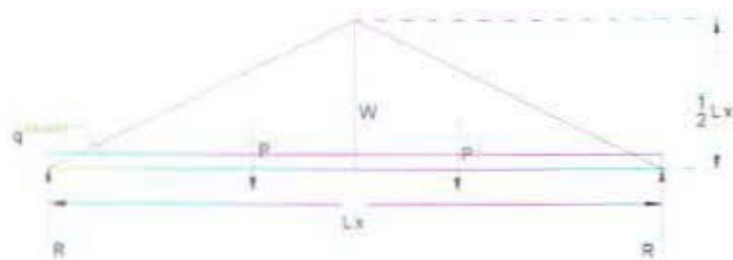
2. Beban pelat atap

- Beban mati $q = 499 \text{ kg/m}^2$
- Beban hidup $q = 100 \text{ kg/m}^2$

Pembebanan Tributary Area

Letak lokasi pembebanan Tributary Area.

1. **Beban ekivalen segitiga**



Beban segitiga

$$W : \frac{1}{2} \times q \times Lx$$

$$R : P_1 = P_2$$

$$R : \frac{1}{2} \times (\frac{1}{2} \times Lx) \times W$$

$$R : \frac{1}{8} \times q \times Lx^2$$

$$M_{max} : (R \times \frac{1}{2} Lx) - (P \times \frac{1}{3} \times \frac{1}{2} Lx)$$

$$M_{max} : R \times (1/3 Lx) = 1/24 \times q \times Lx^3$$

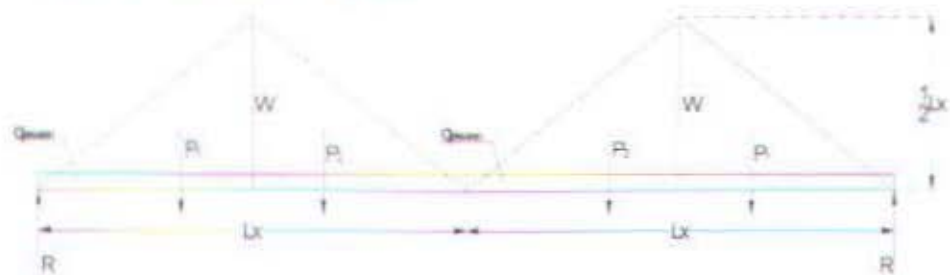
$$M_{eq} : \frac{1}{8} \times q_{ek} \times Lx^2$$

$$\mathbf{M_{max} = M_{eq}}$$

$$\frac{1}{24} \times q \times Lx^3 = \frac{1}{8} \times q_{ek} \times Lx^2$$

$$q_{ek} = \frac{1}{3} \times q \times Lx$$

2. Beban ekivalen dua segitiga



Beban Dua Segitiga

$$W = \frac{1}{2} \times q \times Lx$$

$$P_1 = P_2$$

$$R = P_1 + P_2$$

$$R = \left\{ \frac{1}{2} \times \left(\frac{1}{2} \times Lx \right) \times W \right\} \times 2$$

$$R = \frac{1}{4} \times q \times Lx^2$$

$$M_{max} : \{R \times Lx\} - \{P_1 \times (Lx - \frac{1}{3} Lx)\} - \{P_2 \times \frac{1}{3} Lx\}$$

$$M_{max} : (P_1 \times Lx) + (P_2 \times Lx) - (P_1 \times Lx) + \frac{1}{3} (P_1 \times Lx) - \frac{1}{3} (P_2 \times Lx)$$

$$M_{max} : \frac{1}{3} (P_1 \times Lx) + \frac{2}{3} (P_2 \times Lx)$$

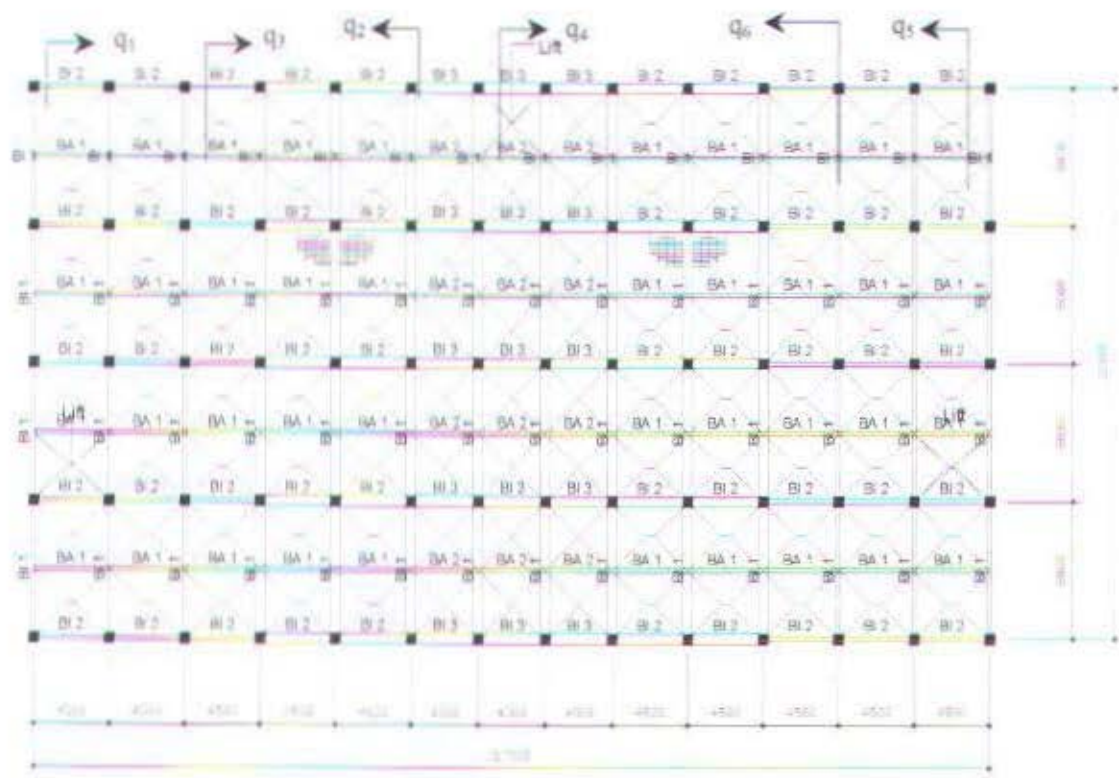
$$M_{max} : Lx \left(\frac{1}{3} P_1 + \frac{2}{3} P_2 \right) = Lx \left[\frac{1}{3} \left(\frac{1}{8} q \times Lx^2 \right) + \frac{2}{3} \left(\frac{1}{8} q \times Lx^2 \right) \right]$$

$$M_{eq} : \frac{1}{8} \times q_{ek} \times (2Lx)^2 = \frac{1}{2} \times q_{ek} \times Lx^2$$

$$M_{max} = M_{eq}$$

$$\frac{1}{8} \times q \times Lx^3 = \frac{1}{2} \times q_{ek} \times Lx^2$$

$$q_{ek} = \frac{1}{4} \times q \times Lx$$



DENAH PEMBALOKAN LANTAI 2, 3, 4

Skala 1 : 500



DENAH PEMBALOKAN LANTAI 5 s/d 10

Skala 1 : 300

Lokasi Pembebanan	Jenis Pembebanan	$q_{ekuivalen}$ (kg/m)
Atap	Mati	$q_1 = 738,52$
		$q_2 = 658,68$
		$q_3 = 1477,04$
		$q_4 = 1330,67$
		$q_5 = 499$
		$q_6 = 998$
	Hidup	$q_1 = 148$
		$q_2 = 133,3$
		$q_3 = 296$
		$q_4 = 256,6$
		$q_5 = 100$
		$q_6 = 200$
Lantai 1 - 9	Mati	$q_1 = 803,64$
		$q_2 = 724$
		$q_3 = 1607,28$
		$q_4 = 1448$
		$q_5 = 543$
		$q_6 = 1086$
	Hidup	$q_1 = 370$
		$q_2 = 333,3$
		$q_3 = 740$
		$q_4 = 666,6$
		$q_5 = 250$
		$q_6 = 500$

5.1.5 Perhitungan Beban Lateral Akibat Beban Gempa

5.1.5.1 Perhitungan berat total bangunan

Berat lantai 10 (atap).

Beban mati

$$\text{Pelat} : [(30 \times 32) - (4 \times 24)] \times 2400 \times 0,13 = 311040 \text{ kg}$$

$$\text{Balok induk} : 394 \times 2400 \times (0,60 - 0,13) \times 0,40 = 170208 \text{ kg}$$

$$\text{Balok anak} : (0,4 - 0,13) \times 2400 \times 0,3 \times 108 = 19440 \text{ kg}$$

$$\text{Kolom} : 40 \times 0,7 \times 0,7 \times 1,75 \times 2400 = 60480 \text{ kg}$$

Aspal ($t = 2$ cm)	$: 0,02 \times [(30 \times 32) - (4 \times 24)] \times 14$	= 241.92 kg
Spesi penutup	$: [(30 \times 32) - (4 \times 24)] \times 24 \times 0,03$	= 622.08 kg
Tangga		= 7932.87 kg
Ducting AC + pipa	$: [(30 \times 32) - (4 \times 24)] \times 30$	= 25920 kg
		<u>595884.87 kg</u>

Beban hidup

Beban air hujan	$: [(30 \times 32) - (4 \times 24)] \times 30$	= 12960 kg
Beban hidup	$: [(30 \times 32) - (4 \times 24)] \times 100$	= 43200 kg
		<u>56160 kg</u>

Total berat atap

= 652044.87 kg

*Berat lantai 5-9*Beban mati

Pelat	$: [(30 \times 32) - (4 \times 24)] \times 2400 \times 0,13$	= 311040 kg
Balok induk	$: [394 \times 2400 \times (0,60 - 0,13) \times 0,40]$	= 170208 kg
Balok anak	$: 108 \times 2400 \times (0,4 - 0,13) \times 0,3$	= 19440 kg
Kolom	$: 40 \times 0,7 \times 0,7 \times 3,5 \times 2400$	= 120960 kg
Spesi penutup	$: [(30 \times 32) - (4 \times 24)] \times 24 \times 0,03$	= 622.08 kg
Tangga		= 7932.87 kg
Ducting AC + pipa	$: [(30 \times 32) - (4 \times 24)] \times 30$	= 25920 kg
		<u>656122.95 kg</u>

<u>Beban hidup</u>	$: [(30 \times 32) - (4 \times 24)] \times 250$	= 108000 kg
Total berat lantai 5-9	$- 5 \times (656122.95 + 108000)$	= 3820614.75 kg

*Berat lantai 2 – 4*Beban mati

Pelat	$: 57 \times 32 \times 2400 \times 0,13$	= 656640 kg
Balok induk	$: [733 \times 2400 \times (0,6-0,13) \times 0,4]$	= 316656 kg
Balok anak	$: 228 \times 2400 \times (0,4-0,13) \times 0,3$	= 41040 kg
Kolom	$: 70 \times 0,7 \times 0,7 \times 3,5 \times 2400$	= 211680 kg
Spesi penutup	$: 57 \times 32 \times 24$	= 43776 kg

Tangga	= 7932.7 kg
Ducting AC + pipa : 57 x 32 x 30	= 54720 kg
	<u>1332444.7 kg</u>

Beban hidup

Beban hidup : 57 x 32 x 250	= 228000 kg
Total beban lantai 2 – 4 : 3 x [228000 + 1332444.7]	= 4681334.1 kg

*Berat lantai 1*Beban mati

Pelat : 1344 x 2400 x 0.13	= 483840 kg
Balok induk : [558 x 2400 x (0.6-0.13) x 0.4]	= 241056 kg
Balok anak : 168 x 2400 x (0.4-0.13) x 0.3	= 3240 kg
Kolom : 70 x 0.7 x 0.7 x 2400 x 3.75	= 226800 kg
Spesi penutup : 1344 x 24 x 0.03	= 967.68 kg
Tangga	= 7932.7 kg
Ducting AC + pipa : 1344 x 30	<u>= 40320 kg</u>
	<u>1031156.38 kg</u>

Beban hidup

Beban hidup : 1344 x 250	= 168000 kg
Total beban lantai 1	= 1199156.38 kg
Total beban lantai 1 – 10	= 10353150.1 kg

5.1.5.2 Perhitungan gaya geser dasar

Untuk perencanaan gaya gempa dipergunakan peraturan UBC 1997, termasuk didalamnya menghitung gaya geser dasar. Dalam section 1630.2.1 UBC 1997 geser dapat dihitung sebagai berikut :

$$V = \frac{C_v \cdot I}{R \cdot T} W \dots \dots \dots \text{Pers.(30-4)}$$

tidak boleh lebih dari

$$V = \frac{2.5 C_o I}{R} W \quad \text{Pers.(30-5)}$$

tidak boleh kurang dari

$$V = 0.11 C_s J W \dots \text{Pers.(30-6)}$$

- Periode dasar struktur (T)

Perhitungan T dengan Metode A (Section 1630.2.2 UBC 1997) :

$$T = C_{f_1}(h_n)^{\frac{3}{4}} \quad \text{Pers.(30-8)}$$

dimana $C_1 = 0.0731$

$$T = 0,0731 \cdot (35,5)^{5/4} = 1,06 \text{ detik}$$

- Sistem Dasar Struktur

IMRF → R = 5,5 ; $\Omega_0 = 2,8$ Tabel 16-N UBC 1997

- Zona 2B → $Z = 0,2$ Tabel 16-I UBC 1997
 - Zona II dan Tipe tanah Sd → $C_v = 0,4$ Tabel 16-R UBC 1997
 - Zona II dan Tipe tanah Sd → $C_a = 0,28$ Tabel 16-Q UBC 1997
 - Perkantoran (fasilitas umum) → $I = 1,0$ Tabel 16-K UBC 1997

Dari data-data diatas dapat dihitung besarnya gaya geser dasar :

V : 1345699.398 kg

5.1.5.3 Penyebaran geser secara vertical

Gaya geser yang telah didapatkan pada perhitungan diatas, akan didistribusikan secara vertical ke masing-masing lantai. Penyebaran gaya lateral dilakukan sesuai section 1630.5 UBC 1997 dengan perumusan sebagai berikut :

Menghitung gaya gempa yang diterima tiap lantai :

$$F_s = \frac{(V - F_t) \cdot w_s \cdot h_s}{\sum w_s \cdot h_s}, \quad \text{Pers.(30-15)}$$

dimana :

V = gaya geser dasar

F_1 = gaya gempa pada puncak struktur

-0.07 TV

$$= 0.07 \times 1.06 \times 1345699.398 = 99850.9 \text{ kg}$$

w_x = berat struktur per tingkat

h_x = tinggi lantai

Tabel 5.2 Gaya lateral tiap tingkat

Lantai	Wi (kg)	Hi (m)	Wi x Hi	Fi (kg)
10	538768.2	35.5	19126271.1	172912.12
9	794666.6	32	25429331.2	190583.02
8	803156	28.5	22889946	171551.32
7	803156	25	20078900	150483.61
6	803156	21.5	17267854	129415.91
5	803156	18	14456808	108348.2
4	1540931	14.5	22343499.5	167455.91
3	1576964	11	17346604	130006.14
2	1561014	7.5	11707605	87743.98
1	1198308	4	4793232	37199.11
				175440051

5.1.6 Perhitungan Beban Lateral Akibat Beban Angin

Beban angin dihitung berdasarkan PPIUG 1983

- Data :

Besarnya beban angin rencana 40 kg/m^2

Koefisien tiup = 0.9

Koefisien hisap = 0.4

Lantai 1

- Beban angin dari arah memanjang :

- Portal memanjang tepi
 - * Tekanan tiup : $0.9 \times 40 \times 4 = 144 \text{ kg/m}$
 - * Tekanan hisap : $-0.4 \times 40 \times 4 = -64 \text{ kg/m}$
- Portal memanjang tengah
 - * Tekanan tiup : $0.9 \times 40 \times 8 = 288 \text{ kg/m}$
 - * Tekanan hisap : $-0.4 \times 40 \times 8 = -128 \text{ kg/m}$

- Beban angin dari arah melintang



- Portal melintang tepi
 - * Tekanan tiup : $0.9 \times 40 \times 2.25 = 81 \text{ kg/m}$
 - * Tekanan hisap : $-0.4 \times 40 \times 2.25 = -36 \text{ kg/m}$
- Portal melintang tengah
 - * Tekanan tiup : $0.9 \times 40 \times 4.5 = 162 \text{ kg/m}$
 - * Tekanan hisap : $-0.4 \times 40 \times 4.5 = -72 \text{ kg/m}$

Lantai 5 - 10

- Beban angin dari arah memanjang
 - Portal memanjang tepi
 - * Tekanan tiup : $0.9 \times 40 \times 4 = 144 \text{ kg/m}$
 - * Tekanan hisap : $-0.4 \times 40 \times 4 = -64 \text{ kg/m}$
 - Portal memanjang tengah
 - * Tekanan tiup : $0.9 \times 40 \times 8 = 288 \text{ kg/m}$
 - * Tekanan hisap : $-0.4 \times 40 \times 8 = -128 \text{ kg/m}$
- Beban angin dari arah melintang
 - Portal melintang tepi
 - * Tekanan tiup : $0.9 \times 40 \times 2.25 = 81 \text{ kg/m}$
 - * Tekanan hisap : $-0.4 \times 40 \times 2.25 = -36 \text{ kg/m}$
 - Portal melintang tengah
 - * Tekanan tiup : $0.9 \times 40 \times 4.5 = 162 \text{ kg/m}$
 - * Tekanan hisap : $-0.4 \times 40 \times 4.5 = -72 \text{ kg/m}$

5.1.7 Perhitungan Gaya Dalam

Sistem struktur dimodelkan sebagai *Moment Resisting Frame System* dengan perletakan jepit sebagai dasar kolom.

Struktur utama dianalisa dengan bantuan program ETABS v8.08. Analisa dinamis dilakukan dengan kombinasi-kombinasi pembebanan yang disyaratkan dalam UBC 1997.

Untuk menyalurkan gaya lateral supaya dapat diterima oleh komponen struktur penahan gaya lateral, maka lantai dimodelkan sebagai diafragma yang kaku (*rigid floor diaphragm*).

Adapun kombinasi pembebanan yang disyaratkan oleh UBC 1997 adalah sebagai berikut :

- $U = 1.4D + 1.7L$
- $U = 0.75(1.4D + 1.7L + 1.7W)$
- $U = 0.9D + 1.3W$
- $U = 0.75(1.4D + 1.7L + 1.87E)$
- $U = 0.9D + 1.43E$

Untuk beban gempa (E) ditentukan sesuai dengan UBC 1997 section 1630.1.1 yaitu:

- untuk kombinasi biasa

$$E = \rho \cdot Eh + Ev$$

dimana : ρ = Reliability / Redundancy Factor dengan nilai

$$1 < \rho = 2 - \frac{20}{r_{\max} \cdot \sqrt{Ab}} < 1,25 \text{ untuk dual sistem}$$

$< 1,5$ untuk sistem struktur lain

dan untuk struktur pada zone gempa 0, 1, dan 2, menurut section 1630.1.1 UBC 1997 maka diambil $\rho = 1$

$$Ev = 0,5 \cdot Ca \cdot LD$$

$$= 0,5 \times 0,28 \times 1 \times D = 0,14 D$$

$$E = Eh + 0,14 D$$

Setelah didapatkan nilai-nilai E seperti diatas maka kombinasi pembebanan menjadi sebagai berikut :

1. $1.4 D + 1.7 L$
2. $1.05 D + 1.275 L + 1.275 W$
3. $0.9 D + 1.3 W$
4. $1.25 D + 1.275 L + 1.4025 E$
5. $1.1002 D + 1.43 E$

5.1.8 Kontrol Periode (T) Berdasarkan Metode B

Periode yang didapatkan pertama kali dari perumusan :

$$T = C_i \cdot (h_n)^{3/4}$$

selanjutnya harus ditinjau dengan Metode B dengan perumusan :

$$T = 2\pi \sqrt{\left(\sum_{i=1}^n w_i \delta_i^2 \right) + \left(g \cdot \sum_{i=1}^n f_i \delta_i \right)} \quad \text{Pers.(30-10)}$$

dimana : w_i = berat struktur pada lantai i

δ_i = defleksi elastis pada lantai i

g = percepatan gravitasi

f_i = gaya gempa pada lantai i

Tabel 5.4 Kontrol periode dengan Metode B

Lantai	δ_i	Wi	Fi	$Wi \cdot \delta_i^2$	$Fi \cdot \delta_i$
10	0.000858	538768.2	172912.1	0.396622	148.3586
9	0.001478	794666.6	190583	1.735936	281.6817
8	0.002107	803156	171551.3	3.56557	361.4586
7	0.002659	803156	150483.6	5.678539	400.1359
6	0.003079	803156	129415.9	7.614112	398.4316
5	0.003017	803156	108348.2	7.310558	326.8865
4	0.002127	1540931	167455.9	6.971371	356.1787
3	0.002341	1576964	130006.1	8.642206	304.3444
2	0.002509	1561014	87743.98	9.82671	220.1496
1	0.001955	1198308	37199.11	4.579963	72.72426
				56.32159	2870.39

$$T = 2 \times 3.14 \sqrt{(56.32159) / (9.8 \times 2870.39)} = 0.28 \text{ detik}$$

Hasil Metode A $\rightarrow T = 1.06$ detik

$$T + 0.4 T = 1.484 \text{ detik}$$

Hasil Metode B $\rightarrow T = 0.28$ detik OK !

5.1.9 Kontrol Drift Tingkat

Kontrol drift pada perancangan ini menggunakan data *displacement* dari analisa struktur yang telah dilakukan.

Perumusan drift pada setiap tingkat :

$$\Delta_M = 0.7 R \Delta_S \quad \text{Pers.(30-17)}$$

nilai R = 5,5 untuk *Concrete Intermediate Moment-Resisting Frame*

untuk struktur dengan periode $T < 0,7$ detik batasan yang diberikan section 1630.10.2 UBC 1997 adalah $\Delta_m \leq 0,025 h_s$

$$\leq 0,025 \times 3500 \text{ mm}$$

$$\leq 87,5 \text{ mm}$$

Contoh perhitungan lantai 10 :

$$\Delta_s = 0,000858$$

$$\Delta_m = 0,7 \cdot R \cdot \Delta_s = 0,7 \times 5,5 \times 0,000858 = 0,0033$$

Tabel 5.5 Kontrol drift

Lantai	Δ_s (m)	Δ_m (m)	Batas (m)	Ket
10	0,000858	0,0033	0,0875	OK
9	0,001478	0,00569	0,0875	OK
8	0,002107	0,00811	0,0875	OK
7	0,002659	0,01024	0,0875	OK
6	0,003079	0,01185	0,0875	OK
5	0,003017	0,01162	0,0875	OK
4	0,002127	0,00819	0,0875	OK
3	0,002341	0,00901	0,0875	OK
2	0,002509	0,00966	0,0875	OK
1	0,001955	0,00753	0,0875	OK

5.1.10 Kontrol Pengaruh P-Δ Effect

Pengaruh P-Δ yang disebabkan oleh gaya gempa dalam perencanaan struktur tahan gempa harus diperhitungkan dalam penilaian stabilitas seluruh struktur frame dan harus dihitung dengan gaya yang menghasilkan displacement (Δ_s). Namun berdasarkan section 1630.1.3 UBC 1997 pengaruh P-Δ dapat diabaikan jika ratio dari secondary moment terhadap primary moment tidak lebih dari 0,10. Besarnya koefisien stabilitas (θ) secara matematis dapat dihitung dengan rumus sebagai berikut :

$$\theta = \frac{w_i \cdot \Delta_s}{Vx \cdot h_i}$$

dimana :

w_i = beban gravitasi total tak terfaktor pada level x

Δs = drift lantai

Vx = gaya geser level x dan x+1

hi = tinggi tingkat i

Tabel 5.6 Kontrol Koefisien Stabilitas

Lantai	Δs (m)	W_i (kg)	V_i	Hi (m)	θ
10	0.000858	538768.2	172912.12	3.5	8E-05
9	0.001478	794666.6	363495.14	3.5	0.0009
8	0.002107	803156	535046.46	3.5	0.0009
7	0.002659	803156	685530.07	3.5	0.0009
6	0.003079	803156	814945.98	3.5	0.0009
5	0.003017	803156	923294.18	3.5	0.0007
4	0.002127	1540931	1090750.09	3.5	0.0009
3	0.002341	1576964	1220756.23	3.5	0.0009
2	0.002509	1561014	1308500.21	3.5	0.0009
1	0.001955	1198308	1345699.32	4	0.0004

Dari tabel di atas terlihat bahwa nilai koefisien stabilitas (θ) pada setiap lantai < 0,10 sehingga pengaruh dari P-Δ effect tidak perlu diperhitungkan.

5.2 PENULANGAN STRUKTUR UTAMA

5.2.1 Penulangan Balok Induk

Perancangan struktur utama dapat dilakukan setelah mendapatkan gaya-gaya dalam yang terjadi pada struktur utama hasil dari analisa menggunakan software analisa struktur. Perhitungan penulangan struktur utama akan menggunakan peraturan SKSNI T-15-1991-03 serta peraturan lainnya yang menunjang.

Perencanaan tulangan balok induk dihitung dalam dua kondisi. Kondisi yang pertama adalah kondisi pada saat balok belum berkomposit dengan elemen struktur yang lain, dan keadaan yang kedua adalah pada saat balok telah berkomposit. Dari dua keadaan ini akan dihitung tulangan yang lebih kritis untuk digunakan.

Data-data perancangan :

- Mutu beton (f_c') : 30 MPa

- Mutu baja (f_y) : 400 MPa
- Dimensi balok : 40/60

5.2.1.1 Penulangan lentur balok induk

Penulangan lentur sebelum komposit

Balok precast pada saat sebelum komposit dihitung sebagai balok sederhana pada tumpuan dua sendi.

Pembebanan pada balok induk sebelum komposit konsepnya sama dengan pembebanan balok induk sesudah komposit, namun beban yang dihitung hanyalah pembebanan yang berasal dari balok anak dan berat balok itu sendiri.

Persyaratan tulangan

- Rasio tulangan balance

$$\rho_b = \frac{0,85 \times f'_c \times \beta_1}{f_y} \left(\frac{600}{600 + f_y} \right) \quad \beta_1 = 0,85 \text{ untuk } 0 < f'_c < 30 \text{ Mpa}$$

$$= \frac{0,85 \times 30 \times 0,85}{400} \left(\frac{600}{600 + 400} \right) = 0,0325$$

- Rasio tulangan maksimum

$$\rho_{\max} = 0,75 \rho_b$$

$$= 0,75 \times 0,0325 = 0,024$$

- Rasio tulangan minimum

$$\rho_{\min} = \frac{1,4}{f_y} = \frac{1,4}{400} = 0,0035$$

- Rasio antara baja dan beton

$$m = \frac{f_y}{0,85 \times f'_c} = \frac{400}{0,85 \times 30} = 15,6$$

Penulangan lentur sebelum komposit

Contoh perhitungan :

Balok Induk 40 / 47 sebelum komposit bentang 8 m pada lantai 1

Perhitungan pembebanan

- ❖ Beban mati (q_{pelat} : 543 kg/m²) → pelat ukuran 4 m x 4,5 m
 - a. Beban akibat balok anak (pelat trapezium)

$$\begin{aligned} \text{- } P_{\text{pelat}} &= \{0.5 \times (0.5 + 4.5) \times 2\} \times 543 \times 2 = 5430 \text{ kg} \\ \text{- } P_{\text{balok anak}} &= 0.3 \times 0.27 \times 4.5 \times 2400 = 874.8 \text{ kg} \\ &= 6304.8 \text{ kg} \end{aligned}$$

b. Berat b. induk : $0.4 \times 0.47 \times 2400 = 451.2 \text{ kg/m}$

c. Beban akibat pelat (dua segitiga)

$$\text{- } \frac{1}{4} \times 543 \times 4 \times 2 = 1086 \text{ kg/m}$$

$$\rightarrow \text{Beban mati merata } (Q_D) = 451.2 + 1086 = 1537.2 \text{ kg/m}$$

$$\rightarrow \text{Beban mati terpusat } (P_D) = 6304 \text{ kg}$$

❖ Beban hidup ($q_{\text{pelat}} : 250 \text{ kg/m}^2$) \rightarrow pelat ukuran $4 \text{ m} \times 4.5 \text{ m}$

a. Beban akibat balok anak (pelat trapezium)

$$\text{- } P_{\text{pelat}} = \{0.5 \times (0.5 + 4.5) \times 2\} \times 250 \times 2 = 2500 \text{ kg}$$

b. Beban akibat pelat (dua segitiga)

$$\text{- } \frac{1}{4} \times 250 \times 4 \times 2 = 500 \text{ kg/m}$$

$$\rightarrow \text{Beban hidup merata } (Q_L) = 500 \text{ kg/m}$$

$$\rightarrow \text{Beban hidup terpusat } (P_L) = 2500 \text{ kg}$$

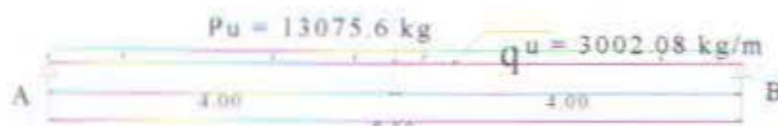
❖ Beban Ultimate

$$Qu = 1.4 Q_D + 1.7 \times Q_L = 1.4 \times 1537.2 + 1.7 \times 500 = 3002.08 \text{ kg/m}$$

$$Pu = 1.4 P_D + 1.7 \times P_L = 1.4 \times 6304 + 1.7 \times 2500 = 13075.6 \text{ kg}$$

$$Mu = (\frac{1}{8} \times Qu \times L^2) + (\frac{1}{4} \times Pu \times L) = 50167.84 \text{ kgm}$$

Dari perhitungan diatas didapatkan



Pembebanan Sebelum Komposit

Direncanakan menggunakan tulangan D 32

$$b : 400 \text{ mm}$$

$$dx : 600 - 130 - 40 - \frac{1}{2} \cdot 32 = 414 \text{ mm}$$

$$Mu : 50167.84 \text{ kgm} = 50.167 \times 10^7 \text{ Nmm}$$

Dengan menggunakan Tabel Grafik dan Diagram Interaksi untuk Momen Berfaktor Penampang Persegi ($As'/As = 0.5$);

$$\frac{\phi M_n}{b \times d^2 \times f_c} = \frac{50.167 \times 10^7}{400 \times 414^2 \times 30} = 0.24 \longrightarrow \omega = 0.332 \longrightarrow$$

$$\rho = 0.332 \times 30 / 400$$

$$\rho = 0.024$$

$$A_s = 0.024 \times 400 \times 414 = 3974.4 \text{ mm}^2$$

Dipakai tulangan 5 D 32 $\longrightarrow A_s = 4019.2 \text{ mm}^2$

Daerah tekan dipasang tulangan 3 D 32 $\longrightarrow A_s^t = 2411.52 \text{ mm}^2$

Penulangan lentur setelah komposit

Contoh perhitungan :

Dimensi balok induk 40/60 cm pada lantai 1

Bentang balok induk = 8 m

Dari hasil analisa struktur dengan software ETABS didapatkan nilai momen sebagai berikut :

$$M_{\text{tumpuan}} = -37058.7 \text{ kgm} = -3.7 \cdot 10^8 \text{ Nmm}$$

$$M_{\text{lapangan}} = 23302.65 \text{ kgm} = 2.33 \cdot 10^8 \text{ Nmm}$$

Pada tumpuan → balok dianggap persegi

- Tulangan tumpuan atas

direncanakan menggunakan tulangan D 32

$$b = 400 \text{ mm}$$

$$d_x = 600 - 40 - 10 - \frac{1}{2} \cdot 32 = 534 \text{ mm}$$

$$M_{\text{tumpuan}} = -37058.7 \text{ kgm} = -3.7 \cdot 10^8 \text{ Nmm}$$

Dengan menggunakan Tabel Grafik dan Diagram Interaksi untuk Momen Berfaktor Penampang Persegi :

$$\frac{\phi M_n}{b \cdot d^2 \cdot f_c} = \frac{3.7 \cdot 10^8}{400 \cdot 534^2 \cdot 30} = 0.1 \longrightarrow \omega = 0.138 \longrightarrow$$

$$\rho = \frac{0.138 \cdot 30}{400} = 0.01 \longrightarrow A_s = 0.01 \cdot 400 \cdot 537.5 \\ = 2225.25 \text{ mm}^2$$

Digunakan tulangan 3 D 32 ($A_s = 2411.52 \text{ mm}^2$)

- Tulangan tumpuan bawah

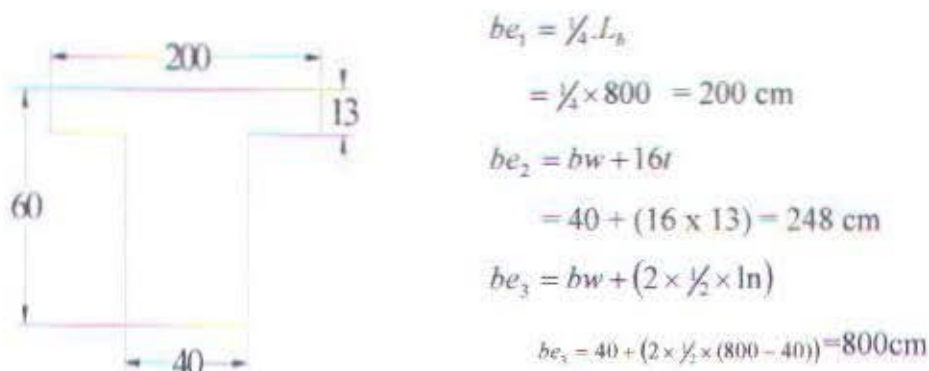
Diasumsikan $\delta = 0,5$ SKSNI T 15-1991 pasal 3.14.3-2

$$As^* = 0,5 \times 2411,52 = 1205,76 \text{ mm}^2$$

Digunakan tulangan 2 D 32 ($As = 1609,68 \text{ mm}^2$)

Pada lapangan → balok dianggap sebagai balok T palsu

- Tulangan lapangan bawah



$$b = be = 2000 \text{ mm}$$

$$dx = 600 - 40 - \frac{1}{2} \cdot 32 = 544 \text{ mm}$$

$$M_{\text{lapangan}} = 23302,65 \text{ kgm} = 2,33 \cdot 10^8 \text{ Nmm}$$

$$Mu = Cc \times (d - \frac{a}{2})$$

$$= 0,85 \times f'c \times a \times b \times (d - \frac{a}{2})$$

$$2,33 \cdot 10^8 = 0,85 \times 30 \times a \times 2000 \times (544 - \frac{a}{2})$$

$$2,33 \cdot 10^8 = 27744000 a - 25500 a^2$$

$$a = 8,46 \text{ mm} < 130 \text{ mm} \text{ (asumsi balok t palsu benar)}$$

$$C = T$$

$$0,85 \times f'c \times a \times b = As \times fy$$

$$= As \times 400$$

$$As = 1078,65 \text{ mm}^2$$

$$\rho_{\text{aktual}} = \frac{As}{bw \times d} = \frac{1078,65}{400 \times 544} = 0,005 > \rho_{\min} = 0,0038 \dots \text{OK!}$$

$$As = \rho \times bw \times d$$

$$As = 0,005 \times 400 \times 544 = 1088 \text{ mm}^2$$

Jadi untuk tulangan lapangan tarik dipasang 2 D 32 ($As = 1609,68 \text{ mm}^2$)

- Tulangan Tekan (serat atas)

Diasumsikan $\delta = 0,5$ SKSNI T 15-1991 pasal 3.14.3-2

$$As' = 0,5 \times 1607,68 = 803,84 \text{ mm}^2$$

Digunakan tulangan 2 D 32 ($As = 1607,68 \text{ mm}^2$)

5.2.1.2 Penulangan geser dan torsi

Sebelum Komposit

Balok Induk 40 / 47 sebelum komposit bentang 8 m pada lantai 1

Perhitungan pembebanan

- ❖ Beban mati ($q_{\text{pelat}} : 543 \text{ kg/m}^2$) \rightarrow pelat ukuran 4 m x 4.5 m

- a. Beban akibat balok anak (pelat trapezium)

$$- P_{\text{pelat}} = \{0,5 \times (0,5 + 4,5) \times 2\} \times 543 \times 2 = 5430 \text{ kg}$$

$$\begin{aligned} - P_{b,\text{anak}} &= 0,3 \times 0,27 \times 4,5 \times 2400 \\ &= 874,8 \text{ kg} + \\ &= 6304,8 \text{ kg} \end{aligned}$$

$$b. \text{ Berat b. induk} : 0,4 \times 0,47 \times 2400 = 451,2 \text{ kg/m}$$

$$c. \text{ Beban akibat pelat (dua segitiga)}$$

$$- \frac{1}{4} \times 543 \times 4 \times 2 = 1086 \text{ kg/m}$$

$$\rightarrow \text{Beban mati merata } (Q_D) = 451,2 + 1086 = 1537,2 \text{ kg/m}$$

$$\rightarrow \text{Beban mati terpusat } (P_D) = 6304 \text{ kg}$$

- ❖ Beban hidup ($q_{\text{pelat}} : 250 \text{ kg/m}^2$) \rightarrow pelat ukuran 4 m x 4.5 m

- a. Beban akibat balok anak (pelat trapezium)

$$- P_{\text{pelat}} = \{0,5 \times (0,5 + 4,5) \times 2\} \times 250 \times 2 = 2500 \text{ kg}$$

- b. Beban akibat pelat (dua segitiga)

$$- \frac{1}{4} \times 250 \times 4 \times 2 = 500 \text{ kg/m}$$

$$\rightarrow \text{Beban hidup merata } (Q_L) = 500 \text{ kg/m}$$

$$\rightarrow \text{Beban hidup terpusat } (P_L) = 2500 \text{ kg}$$

- ❖ Beban Ultimate

$$Qu = 1,4 Q_D + 1,7 x Q_L = 1,4 \times 1537,2 + 1,7 \times 500 = 3002,08 \text{ kg/m}$$

$$Pu = 1,4 P_D + 1,7 x P_L = 1,4 \times 6304 + 1,7 \times 2500 = 13075,6 \text{ kg}$$

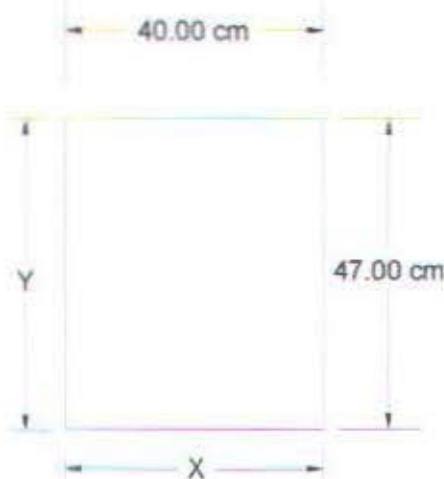
$$Tu_1 : Qu \times L \times \frac{1}{2} \times b = 3002,08 \times 8 \times \frac{1}{2} \times 0,4 = 4803,3 \text{ kgm}$$

$$Tu_2 : Pu \times \frac{1}{2} \times b = 13075,6 \times \frac{1}{2} \times 0,4 = 2615 \text{ kgm} +$$

$$\text{Tu total} = 7418,3 \text{ kgm}$$

$$\begin{aligned}
 Vu_1 & : \frac{1}{2} \times Qu \times L = \frac{1}{2} \times 3002.08 \times 8 = 12008.3 \text{ kg} \\
 Vu_2 & : Pu \times \frac{1}{2} = 13075.6 \times \frac{1}{2} = 6537.8 \text{ kg} \\
 \text{Vu total} & = 18546 \text{ kg}
 \end{aligned}$$

Ukuran penampang



Kontrol penampang

$$\sum x^2 y = (400^2 \times 470) = 7.52 \times 10^7 \text{ mm}^3$$

➤ Perhitungan batas Tu yang tidak memerlukan tulangan Torsi :

$$\phi \times \frac{1}{20} \times \sqrt{fc'} \times \sum(x^2 y) = 0.6 \times \frac{1}{20} \times \sqrt{30} \times 7.52 \times 10^7 = 1.24 \times 10^7 \text{ Nmm}$$

Karena $Tu_{max} < Tu_{sda} \rightarrow 1.24 \times 10^7 < 7.4 \times 10^7$, maka torsi harus diperhitungkan

➤ Kontribusi beton dalam memikul beban Tu :

$$Tc = \frac{\sqrt{fc'} \times \sum x^2 y}{15 \sqrt{1 + \left(0.4 \times \frac{Vu}{C_T \times T_U} \right)^2}} \times \left(1 + 0.3 \times \frac{Nu}{Ag} \right)$$

catatan : Nilai Nu sama dengan nol jika tidak memperhitungkan gaya aksial

Dimana :

$$C_T = \frac{bw \times d}{\sum x^2 y} = \frac{400 \times 470}{7.52 \times 10^7} = 0.0025$$

$$Tc = \frac{\sqrt{30} \times 7.52 \times 10^7}{15 \sqrt{1 + \left(0.4 \times \frac{185460}{0.0025 \times 7.4 \times 10^7} \right)^2}} = 2.5 \times 10^7 \text{ Nmm}$$

$$\frac{At}{S} = \frac{Tu - \phi Tc}{\phi \times f_y \times \alpha_i \times x_i \times y_i}$$

decking = 40 mm ; 75 mm

$$x_i = 400 - (2 \times 75) = 250 \text{ mm}$$

$$y_i = 470 - (2 \times 40) = 390 \text{ mm}$$

$$\alpha_i = \frac{1}{3} \times \left(2 + \frac{y_i}{x_i} \right) = \frac{1}{3} \times \left(2 + \frac{390}{250} \right) = 1.18 \leq 1.5$$

ambil $\alpha_i = 1.18$

$$\frac{At}{S} = \frac{(7.4 \times 10^7) - (0.6 \times 2.5 \times 10^7)}{0.6 \times 400 \times 1.18 \times 250 \times 390} = 2.1 \text{ mm}^2 / \text{mm}$$

➤ Kontribusi beton dalam memikul beban Vu :

$$Vc = \frac{\sqrt{fc'} \times bw \times d}{6 \sqrt{1 + \left(\frac{2.5 \times C_T \times Tu}{Vu_d} \right)^2}}$$

$$= \frac{\sqrt{30} \times 400 \times 470}{6 \sqrt{1 + \left(\frac{2.5 \times 0.0025 \times 7.4 \times 10^7}{171550.5} \right)^2}} = 59693.8 \text{ N}$$

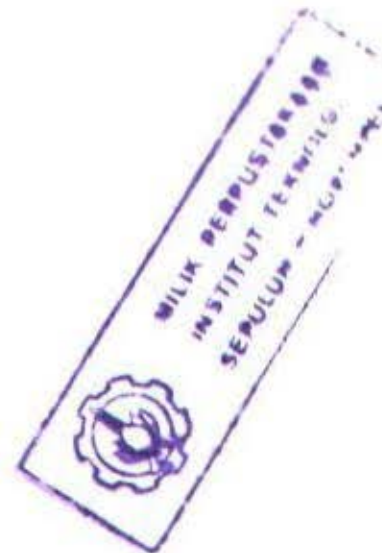
$$\frac{Av}{S} = \frac{Vu_d - \Phi Vc}{\Phi \times f_y \times d} = \frac{171550.5 - 0.6 \times 185460}{0.6 \times 400 \times 470} = 0.534 \text{ mm}^2 / \text{mm}$$

➤ Kombinasi Tulangan Sengkang Geser dan Torsi :

$$\frac{Avt}{S} = \left(\frac{(2 \times At)}{S} + \frac{Av}{S} \right)$$

$$= (2 \times 2.1 + 0.534) = 4.734 \text{ mm}$$

$$\frac{bw}{3 \cdot f_y} = \frac{400}{3 \times 400} = 0.33 \text{ mm}$$



$$\frac{Avt}{S} > \frac{bw}{3fv} \Rightarrow \frac{Avt}{S} = 4.734 \text{ mm MENENTUKAN !!!!!}$$

Direncanakan menggunakan sengkang D 16

Avt Luas satu kaki = 201.062 mm^2 → Luas dua kaki = $201.062 \times 2 = 402.124 \text{ mm}^2$

$$S = Avt / 4.734 = 402.124 / 4.734 = 84.944 \text{ mm} \approx 75 \text{ mm}$$

➤ Kontrol Smax

$$S \leq \frac{x_1 + y_1}{4} \Rightarrow 75 \text{ mm} < \frac{250 + 390}{4} = 160 \text{ mm} \dots \text{OK!}$$

$$S_{\text{bottom}} = 75 \text{ mm}$$

➤ Perhitungan Tulangan Torsi Memanjang

Diambil nilai terbesar dari (SK-SNI T-15-1991/3.4.6.9.3)

$$\begin{aligned} A_{l_1} &= \frac{2 \times A_l}{S}(x_1 + y_1) \\ &= 2 \times 2.1 \times (250 + 390) \\ &= 2688 \text{ mm}^2 \end{aligned}$$

$$A_{L2} = \left(\frac{2.8 \times S \times b \times Tu}{f_y \left(Tu + \frac{Vu_d}{3 \times C_T} \right)} - 2 \times A_t \right) \left(\frac{x_1 + y_1}{S} \right)$$

$$= \left(\frac{2.8 \times 75 \times 400 \times 7.4 \times 10^7}{400 \left(7.4 \times 10^7 + \frac{171550.5}{3 \times 0.0025} \right)} - 2 \times (2.1 \times 75) \right) \left(\frac{250 + 390}{75} \right)$$

$$= 617,690 \text{ mm}^2$$

Al tidak perlu lebih besar dari :

$$Al = \left(\frac{2.8 \times S \times b \times Tu}{fy \left(Tu + \frac{Vu_d}{3 \times C_T} \right)} - \left(\frac{bw \times S}{3fy} \right) \right) \left(\frac{x_1 + y_1}{S} \right)$$

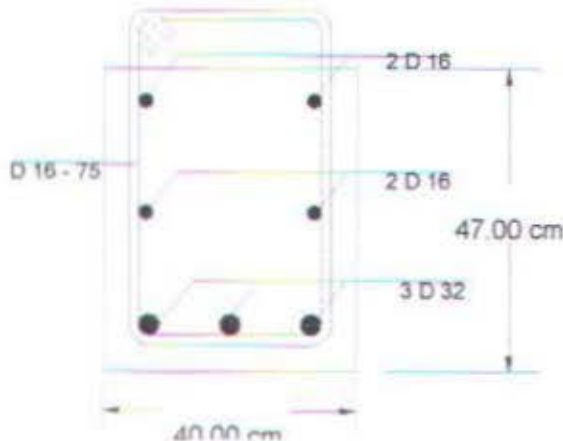
$$= \left(\frac{2.8 \times 75 \times 400 \times 7.4 \times 10^7}{400 \left(7.4 \times 10^7 + \frac{171550.5}{3 \times 0.0025} \right)} - \left(\frac{400 \times 75}{3 \times 400} \right) \right) \frac{250 + 390}{75}$$

$$= 1157.12 \text{ mm}^2$$

Karena $A_{l2} < A_{l1} < A_{l \text{ max}}$ → dipakai $A_{l1} = 2688 \text{ mm}^2$ OK!

➤ Pemasangan Tulangan :

- Untuk tulangan arah longitudinal di pasang $\frac{1}{4}$ Al :
 $\frac{1}{4} \times 2688 = 672 \text{ mm}^2 \rightarrow$ Dipasang tulangan 2 D 22 ($A_s = 760.265 \text{ mm}^2$)
- Kombinasi tulangan lentur dan torsi untuk longitudinal bawah :
 $\text{Tul. Lentur} + \text{tul. Torsi} = 1088 + 672 = 1760 \text{ mm}^2$
 Jadi dipasang tulangan 3 D 32 = 2412.74 mm^2
- Jarak antar tulangan memanjang $\leq 300 \text{ mm}$:
 $\{470 - (2 \times 40)\} / 300 = 1.3 \approx 2 \text{ baris}$
 Jadi $390 / 2 = 195 \text{ mm} \leq 300 \text{ mm}$ OK!



Sesudah Komposit

Dimensi balok induk 40 / 60 cm pada lantai 5.

Dari output program ETABS v8.08 dipergunakan nilai yang paling kritis untuk penulangan geser dan torsi.

$$V_u = 3.9.10^5 \text{ N}$$

$$T_u = 228.005 \text{ kgm} = 2.28.10^6 \text{ Nmm}$$

Direncanakan :

Diameter tulangan geser = 13 mm

b = 400 mm

d = 600 - 40 - ½.13 = 553,5 mm

- Torsi maksimum yang mampu dipikul penampang.

$$Tu_{\min} = \phi (\gamma_{20} \sqrt{f'c} \sum x^2 y)$$

dimana :

$$\sum x^2 y = (400)^2.(600) + 2(130)^2.(800) = 12.3.10^7 \text{ mm}^3 \text{ (menentukan)}$$

$$\sum x^2 y = (400)^2.(470) + (130)^2.(2000) = 10.9.10^7 \text{ mm}^3$$

$$Tu_{\min} = 0.6(\gamma_{20} \sqrt{30} \times 12.3.10^7) = 3.36.10^7 \text{ Nmm}$$

$Tu < Tu_{\min} \rightarrow$ Torsi dapat diabaikan dan dilakukan perhitungan geser saja.

- Kontribusi beton dalam memikul beban Vu :

Kategori Desain untuk perhitungan tulangan geser :

- Perlu buat bidang Vu (bukan Vn)

- Kategori desain :

$$1. Vu \leq 0.5 \bar{\Omega} Vc \rightarrow \text{Tidak perlu tulangan geser}$$

$$2. 0.5 \bar{\Omega} Vc < Vu \leq \bar{\Omega} Vc \rightarrow \text{Perlu tulangan geser minimum}$$

$$- \bar{\Omega} Vs = \bar{\Omega} \left(\frac{1}{3} \sqrt{f'c} \right) x bw x d \rightarrow (\min Vs)$$

$$- Av = \frac{bw \times S}{3fy}$$

$$- \text{Max } S \leq (d/2) \leq 600 \text{ mm}$$

$$3. \bar{\Omega} Vc < Vu \leq [\bar{\Omega} Vc + \min \bar{\Omega} Vs] \rightarrow \text{Slablike flexural members}$$

juga harus memenuhi persyaratan 2 diatas

$$4. [\bar{\Omega} Vc + \min \bar{\Omega} Vs] \leq Vu \leq [\bar{\Omega} Vc + \bar{\Omega} \frac{1}{3} \sqrt{f'c} x bw x d]$$

Harus memenuhi : $\bar{\Omega} Vs = Vu - \bar{\Omega} Vc$

$$- \text{Pasang tulangan } \bar{\Omega} Vs = \frac{\bar{\Omega} \times Av \times fy \times d}{S} \rightarrow \text{untuk } \alpha = 90^\circ$$

$$- \text{Maksimum } S = (d/2) \leq 600 \text{ mm}$$

$$5. [\emptyset Vc + \emptyset \frac{1}{3} \sqrt{f'c} bw \times d] < Vu \leq [\emptyset Vc + \emptyset \frac{2}{3} \sqrt{f'c} bw \times d]$$

Perbedaan syarat dengan kategori desain 4 terletak pada tegangan Vs dan S

Perlu $\emptyset Vs = Vu - \emptyset Vc$; Tul $\emptyset Vs = (\emptyset Av \times fy \times d) / S$

Maximum $S \leq (d/4) \leq 300$ mm

Tumpuan dan Lapangan

$$\begin{aligned} Vc &= \frac{1}{6} \times \sqrt{f'c} \times bw \times d \\ &= \frac{1}{6} \times \sqrt{30} \times 400 \times (600 - 40) = 204483 \text{ N} \end{aligned}$$

Kategori desain 5 :

$$\begin{aligned} [\emptyset Vc + \emptyset \frac{1}{3} \sqrt{f'c} bw \times d] &< Vu \leq [\emptyset Vc + \emptyset \frac{2}{3} \sqrt{f'c} bw \times d] \\ 368069.6 \text{ N} &< 390000 \text{ N} \leq 613449.3 \text{ N} \dots \dots \dots \text{OK !} \end{aligned}$$

$$\emptyset Vs = Vu - \emptyset Vc$$

$$\emptyset Vs = 390000 - 122689.9 = 267310.1 \text{ N}$$

Pasang tulangan $\emptyset 13$

$$Av = 2 \times 132.665 = 265.3 \text{ mm}^2$$

$$S = \frac{\emptyset \times Av \times fy \times d}{\emptyset Vs} = \frac{0.6 \times 265.3 \times 400 \times 560}{267310.1} = 133.4 \text{ mm} \approx 125 \text{ mm}$$

$$S < 560/4 \leq 300 \text{ mm} \dots \dots \dots \text{OK !}$$

Jadi untuk tulangan geser pada balok 40/60 lantai pada daerah tumpuan dan lapangan dipasang $\emptyset 13 - 125$

5.2.1.3 Penulangan stud balok induk

Transfer gaya horizontal

Mekanisme dari transfer gaya geser horizontal dihitung berdasarkan besarnya gaya geser yang dipindahkan melalui permukaan temu. ACI 318.83

mengusulkan dua metode alternatif untuk merencanakan transfer gaya horizontal, yaitu :

1. Perencanaan berdasarkan pada gaya geser berfaktor vertical pada penampang yang ditinjau.
2. Perencanaan berdasarkan pada kekuatan geser friksi pada bidang temu dimana kekuatan geser tersebut mampu menjamin perubahan actual gaya tekan/tarik yang terjadi pada penampang yang ditinjau.

Dalam perancangan ini dipakai metode yang kedua, karena lebih mendekati kenyataan. Dimana dasar desain :

$$V_u \leq \Phi V_{nh}$$

dimana :

V_u = gaya geser horizontal berfaktor dari penampang yang ditinjau

V_{nh} = kekuatan geser horizontal nominal

Φ = 0,65

Menurut SK SNI '91 pasal 3.10.5 ada tiga kasus yang mungkin terjadi, yaitu :

1. Bila bidang kontaknya bersih dan bebas dari serpihan dan sengaja dikasarkan,
maka kuat geser $V_{nh} \leq 0,6 b \cdot d$ (Newton)
2. Bila dipasang sengkang pengikat minimum tetapi tidak sengaja dikasarkan,
maka kuat geser $V_{nh} \leq 0,6 b \cdot d$ (Newton)
3. Bila dipasang sengkang pengikat minimum sesuai dengan pasal 3.10.6 SK SNI '91, bersih dan bebas dari serpihan dan sengaja dikasarkan hingga mencapai tingkat kekasaran penuh dengan tonjolan dan cekungan permukaan kira-kira 5 mm, maka kuat geser $V_{nh} \leq 2,5 b \cdot d$ (Newton).
4. Apabila gaya geser terfaktor V_u pada penampang yang ditinjau melebihi $\Phi(2,5 b \cdot d)$, maka perencanaan untuk geser horizontal dihitung dengan persamaan ;

$$\bullet \quad Av_f = \frac{V_{nh}}{\mu_f v} \quad \dots \dots \dots \text{SK SNI .91 pasal 3.4.7}$$

dimana :

Av_f = luas tulangan geser horizontal

V_{nh} = gaya geser horizontal nominal

$\mu = 1$ untuk beton yang dicor diatas permukaan beton yang telah mengeras dengan kondisi permukaan yang sengaja dikasarkan.

$\lambda = 1$ untuk beton normal

= 0,85 untuk beton pasir ringan

= 0,75 untuk beton ringan

Tulangan geser dipasang dalam bentuk sengkang pengikat dengan jarak sengkang :

$$s = \frac{Lvh \cdot A_{st}}{A_{vi}}$$

$s_{max} = 4 \times$ dimensi terkecil elemen yang didukung

= 520 mm

< 600 mm

Penulangan geser minimum :

$$A_{vi} = \frac{bw \cdot s}{3 \cdot f_y} \quad \text{SK SNI T - 15 - 1991 - 03 (3.4-14)}$$

Perhitungan penulangan Stud

Stud berfungsi sebagai pengikat antara elemen pracetak dan elemen cast in place. Stud harus mampu mentransfer gaya-gaya dalam yang bekerja pada penampang tekan menjadi gaya geser horizontal yang bekerja pada permukaan pertemuan antara kedua elemen. Dengan demikian kedua elemen tersebut dapat menjadi suatu elemen yang komposit dalam memikul beban.

- Penulangan Stud di daerah tumpuan

Sejarak 0 sampai $\frac{1}{4}L = 2000$ mm

Tulangan atas = 3 D 32 ($A_s = 2411.52 \text{ mm}^2$)

Tulangan bawah = 2 D 32 ($A_s = 1607.68 \text{ mm}^2$)

$V_{nh} = T = A_s \cdot f_y = 2411.52 \times 400 = 964608 \text{ N}$

$0.6 \cdot b \cdot d = 0.6 \times 400 \times 553.5 = 132840 \text{ N} < V_{nh}$

Apabila dari ketiga kondisi diatas diambil kondisi ke-2 (dua) bila dipasang sengkang pengikat minimum, tetapi tidak sengaja dikasarkan, maka :

Geser $V_{nh} \leq 0.6 \cdot b \cdot d \rightarrow V_{nh} = 132840 \text{ N}$

$$A_{vi} = \frac{V_{nh}}{\mu \cdot f_y} = \frac{132840}{1 \times 400} = 332.1 \text{ mm}^2$$

Direncanakan sengkang pengikat Ø 13 ($A_{ti} = 132.665 \text{ mm}^2$)

$$s = \frac{Lvh.A_{ti}}{Av_t} = \frac{2000 \times 132.665}{332.1} = 798.9 \text{ mm}$$

Sesuai dengan SK SNI T-15-1991-03 pasal 3.10.6.1 :

$$S_{\max} = 4 \times t \text{ pelat} \leq 600 \text{ mm}$$

$$= 4 \times 130 = 520 \text{ mm}$$

Jadi dipasang sengkang pengikat Ø 13 – 500 mm

- Penulangan Stud di daerah lapangan

Tulangan atas = 3 D 32 ($A_s = 2411.52 \text{ mm}^2$)

Tulangan bawah = 5 D 32 ($A_s = 4019.2 \text{ mm}^2$)

$$V_{nh} = T = A_s \times f_y = 2411.52 \times 400 = 964608 \text{ N}$$

$$0.6.bv.d = 0.6 \times 400 \times 553 = 132840 \text{ N} < V_{nh}$$

Apabila dari ketiga kondisi diatas diambil kondisi ke-2 (dua) bila dipasang sengkang pengikat minimum, tetapi tidak sengaja dikasarkan, maka :

$$\text{Geser } V_{nh} \leq 0.6.bv.d \rightarrow V_{nh} = 132840 \text{ N}$$

$$Av_t = \frac{V_{nh}}{\mu.f_y} = \frac{132840}{1 \times 400} = 332.1 \text{ mm}^2$$

Direncanakan sengkang pengikat Ø 13 ($A_b = 132.665 \text{ mm}^2$)

$$s = \frac{Lvh.A_{ti}}{Av_t} = \frac{2000 \times 132.665}{332.1} = 798.9 \text{ mm}$$

Sesuai dengan SK SNI T-15-1991-03 pasal 3.10.6.1 :

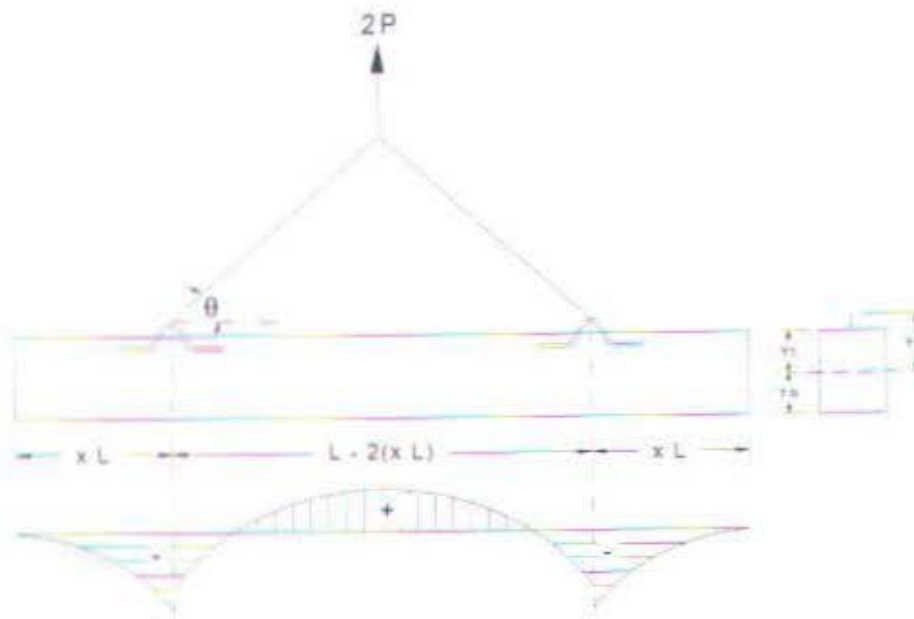
$$S_{\max} = 4 \times t \text{ pelat} \leq 600 \text{ mm}$$

$$= 4 \times 130 = 520 \text{ mm}$$

Jadi dipasang sengkang pengikat Ø 13 – 500 mm

5.2.1.4 Pengangkatan Elemen Balok

Balok induk diproduksi secara pracetak di pabrik, sehingga perlu dikontrol pada saat pengangkatan.



Dimana :

$$+M = \frac{w.L^2}{8} \left(1 - 4x + \frac{4.Y_c}{L \cdot \tan \theta} \right)$$

$$-M = \frac{Wx^2 L^2}{2}$$

$$x = \frac{1 + \frac{4.Y_c}{L \cdot \tan \theta}}{2 \left[1 + \sqrt{1 + \frac{Y_t}{Y_b} \left(1 + \frac{4.Y_c}{L \cdot \tan \theta} \right)} \right]}$$

$$Y_t = Y_b = 23,5 \text{ cm}$$

$$I = \frac{1}{12} \cdot 40 \times 47^3 = 303750 \text{ cm}^4$$

$$Y_c = Y_t + 5 = 28,5 \text{ cm}$$

$$x = \frac{1 + \frac{4 \times 28,5}{800 \cdot \tan 45}}{2 \left[1 + \sqrt{1 + \frac{23,5}{23,5} \left(1 + \frac{4 \times 28,5}{800 \cdot \tan 45} \right)} \right]} = 0,23$$

$$x.L = 0,23 \times 800 = 184 \text{ cm} \sim 1,85 \text{ m}$$

$$W = \frac{1}{6} \times 40 \times 47^2 = 13500 \text{ cm}^3$$

Beban yang bekerja pada balok :

- berat sendiri : $0,4 \times 0,47 \times 2400 = 432 \text{ kg/m}$

Momen yang terjadi :

Momen lapangan

$$+M = \frac{wL^2}{8} \left(1 - 4x + \frac{4Yc}{L \tan \theta} \right)$$

$$+M = \frac{432 \times 8^2}{8} \left(1 - 4 \times 0,23 + \frac{4 \times 0,285}{8 \cdot \tan 45} \right) = 751,68 \text{ kgm} = 7,5 \cdot 10^6 \text{ Nmm}$$

$$M_{\max} = 751,68 \text{ kgm}$$

Faktor pengali saat transportasi : 1.5

Maka momen yang terjadi : $M_{\max} = 1.5 \times 751,68 = 1127,52 \text{ kgm}$

Tegangan yang terjadi :

$$f = \frac{M}{W} = \frac{11275200}{13500000} = 0,84 \text{ MPa} < f_{cr} = 1,683 \text{ MPa}$$

Momen tumpuan

$$-M = \frac{WX^2L^2}{2} = \frac{[432 \times 1,85^2]}{2} = 739,26 \text{ kgm}$$

Tegangan yang terjadi :

$$f = \frac{M}{Wt} = \frac{7392600}{1,4 \cdot 400 \times 470^2} = 0,55 \text{ MPa} < f_{cr} = 1,683 \text{ MPa}$$

Balok Induk Bentang 8 m

Beban – beban yang bekerja pada balok induk :

$$\text{- berat sendiri b. induk} : 0,4 \times 0,47 \times 8 \times 2400 = 3456 \text{ kg}$$

Beban Ultimate :

$$W = 1,4 \times 3456 = 4838,4 \text{ kg}$$

Beban Ultimate yang harus dipikul oleh masing – masing titik angkat :

$$P = 4838,4 / 2 = 2419,2 \text{ kg}$$

Berdasarkan tabel Design Aid 11.2.3 hal 11 – 17 PCI Design Handbook, didapatkan data kabel untuk pengangkatan :

- Kabel Strand (Seven Wire) diameter $\frac{1}{2}$ in = 12.70 mm
- f_{pu} : 250 ksi = 1723.75 MPa (1 ksi = 6.895 MPa)
- A : $0,144 \text{ in}^2 = 92,9088 \text{ mm}^2$ (1 sq in = 645.2 sq mm)

Gaya yang harus dipikul oleh satu strand (satu titik angkat) :

$$F_{strand} : A \times f_{pu} = 92,9088 \times 1723,75 = 16015,154 \text{ kg}$$

Beban ijin untuk satu strand :

$$F_{ijin} : 16015,154 / 2 = 8007,5 \text{ kg}$$

$$P < F_{ijin} \rightarrow 2419,2 \text{ kg} < 8007,5 \text{ kg} \dots \dots \text{OK!}$$

Jadi, untuk titik angkat digunakan satu Seven Wire Strand fpu = 250 ksi (1723,75 MPa) dengan diameter $\frac{1}{2}$ in (12,7 mm)

5.2.1.5 Kontrol Lendutan

Sesuai dengan SK SNI T-15-1991-03, apabila lendutan tidak dihitung maka tebal balok harus lebih besar dari tebal minimum yang disyaratkan. Adapun syarat tebal minimum yang tercantum pada table 3.2.5 a. sebagai berikut :

- balok dua tumpuan

$$h_{min} = \frac{1}{16} \left(0,4 + \frac{f_y}{700} \right)$$

- satu ujung mencerus

$$h_{min} = \frac{1}{18,5} \left(0,4 + \frac{f_y}{700} \right)$$

- kedua ujung menerus

$$h_{min} = \frac{1}{21} \left(0,4 + \frac{f_y}{700} \right)$$

- kantilever

$$h_{min} = \frac{1}{8} \left(0,4 + \frac{f_y}{700} \right)$$

Dari preliminary design telah diperhitungkan batasan ketebalan di atas.

5.2.2 Penulangan Kolom

5.2.2.1 Umum

Perancangan kolom meliputi penulangan lentur kolom dan penulangan geser kolom. Perancangan konsol pendek sebagai penyangga balok pracetak yang akan disambung dengan kolom dibahas dalam Bab Desain Sambungan.

Gaya dalam yang bekerja dihitung dengan software ETABS v8.08 Pedoman peraturan perencanaan yang dipakai adalah SK SNI T-15-1991-03

Dengan adanya faktor tekuk akibat pengaruh kelangsungan ini, pada komponen struktur tekan dan lentur akan terjadi momen tambahan sebesar : $M_o = P \cdot \Delta$, sehingga untuk suatu komponen struktur tekan dan lentur langsing, momen-momen pada ujung kolom harus diperbesar dengan suatu faktor pembesaran yang akan diuraikan dalam sub bab-sub bab berikut.

5.2.2.2 Panjang tekuk kolom

Panjang tekuk kolom adalah panjang bersih kolom antara pelat lantai balok di ujung-ujungnya yang dikaitkan dengan suatu faktor tekuk (k) yang besarnya :

$k \geq 1$ untuk kolom tanpa pengaku samping (*unbraced*)

$k \leq 1$ untuk kolom dengan pengaku samping (*braced*)

Factor tekuk (k) merupakan fungsi dari tingkat penjepit ujung atas (ψ_A) dan tingkat penjepit ujung bawah (ψ_B) dimana tingkat penjepit ujung kolom tersebut dihitung dengan persamaan :

$$\psi(A/B) = \frac{\sum(EIc/Lc)kolom}{\sum(Elb/Lb)balok}$$

dimana :

$\psi(A/B)$ = tingkat penjepitan ujung atas dan bawah

lb, lc = momen inersia balok, kolom

Lb, Lc = panjang elemen balok, kolom

Nilai dari faktor tekuk (k) dapat diperoleh dari *nomogram* atau *grafik Alignment* dari *Structural Stability Research Council Guide* dengan cara menarik garis yang menghubungkan nilai ψ_A dan ψ_B yang disesuaikan apakah kolom yang direncanakan tergolong *braced* atau *unbraced*.

5.2.2.3 Pembatasan penulangan kolom

Rasio penulangan kolom disyaratkan untuk tidak boleh kurang dari 1 % dan tidak boleh lebih dari 8 % dari luas bruto penampang kolom.

Pembatasan rasio tulangan minimum ini ditujukan untuk mencegah terjadinya rangkak (*creep*) yang terjadi pada beton. Pertimbangan lainnya adalah untuk kemudahan pelaksanaan di lapangan.

Jumlah minimum batang tulangan memanjang kolom adalah 4 buah untuk kolom dengan sengkang pengikat segi empat dan 6 buah untuk sengkang pengikat spiral.

5.2.2.4 Kolom pendek

Suatu unsur tekan pendek bila dibebani gaya aksial lebih besar dari kapasitasnya akan mengalami keruntuhan bahan (runtuhnya beton) sebelum mencapai ragam keruntuhan tekuknya. Oleh sebab itu untuk perancangan struktur tekan pendek, bahaya akibat tekuk tidak perlu diperhitungkan.

Suatu komponen struktur tekan dikatakan pendek apabila perbandingan kelangsungan yaitu perbandingan panjang tekuk kolom (kLn) terhadap radius girasi (r) :

- Nilai $\frac{kLn}{r} < 34 - 12 \frac{M_{1b}}{M_{2b}}$ (*braced*)
- Nilai $\frac{kLn}{r} < 22$ (*unbraced*)

Nilai r dapat diambil sebesar $\sqrt{\gamma_1}$ atau

$r = 0,3 h$ dalam arah momen yang ditinjau untuk kolom persegi

$r = 0,25 d$ untuk kolom bulat (d = diameter kolom)

5.2.2.5 Kolom panjang

Apabila nilai perbandingan kelangsungan untuk kolom pendek atas tidak terpenuhi maka suatu komponen struktur boleh dikatakan kolom panjang.

Kolom dengan perbandingan kelangsungan besar akan menimbulkan lendutan kesamping (menekuk) akibat momen sekunder yang terjadi, sehingga

mengurangi kekuatan nominal dari kolom panjang tersebut. Untuk itu dalam perhitungan kolom panjang diperlukan suatu faktor pembesaran momen yang diperhitungkan terhadap panjang tekuk kolom.

Dalam SK SNI T-15-1991-03 pasal 3.3.11.5 menyebutkan bahwa perencanaan komponen struktur tekan beton bertulang dilakukan dengan menggunakan beban aksial rencana (P_u) yang didapat dari analisa rangka elastis dan momen rencana yang sudah dibesarkan (M_c) yang didefinisikan sebagai :

$$M_c = \delta_b M_{2b} + \delta_s M_{2s} \quad \dots \dots \text{SK SNI T-15-1991-03 pers. 3.3.6}$$

dimana :

M_c = momen rencana kolom setelah diperbesar

M_{2b} = momen berfaktor terbesar pada ujung kolom akibat beban yang tidak menimbulkan goyangan berarti seperti beban gravitasi

M_{2s} = momen berfaktor terbesar pada ujung kolom akibat beban yang menimbulkan goncangan kesamping seperti beban gempa

$$\delta_b = \frac{Cm}{1 - \left(\frac{P_u}{\phi P_c} \right)} \geq 1 \quad \dots \dots \text{SK SNI T-15-1991-03 pasal 3.3.7}$$

$$\delta_s = \frac{Cm}{1 - \left(\frac{\sum P_u}{\sum \phi P_c} \right)} \geq 1 \quad \dots \dots \text{SK SNI T-15-1991-03 pasal 3.3.8}$$

$$Cm = 0,6 + 0,4 \left(\frac{M_{1b}}{M_{2b}} \right) > 0,4 \quad \dots \dots \text{SK SNI T-15-1991-03 pasal 3.3.12}$$

Menurut SK SNI T-15-1991-03 pasal 3.3.11.5-1, untuk *unbraced* kedua nilai δ_b dan δ_s harus dihitung, sedangkan untuk *braced* δ_s harus diambil sebesar 1.

$$P_c = \frac{\pi^2 EI}{(kLn)^2} \quad \dots \dots \text{SK SNI T-15-1991-03 pasal 3.3.9}$$

$$EI = \frac{0,2EcIg + EsIs}{1 + \beta_d} \quad \dots \dots \text{SK SNI T-15-1991-03 pasal 3.3.10}$$

Untuk kolom bertulangan sedikit ($\rho \leq 3\%$) dapat dihitung secara konservatif

$$EI = \frac{EcIg}{2,5(1 + \beta_d)}$$

Φ = faktor reduksi kekuatan

= 0,65 untuk komponen kolom dengan tulangan spiral maupun sengkang ikat

5.2.2.6 Penulangan lentur kolom

Contoh perhitungan menggunakan kolom pada lantai 1

- Gaya-gaya yang bekerja pada kolom 1 (dari output ETABS v.8.08) :
 - $P_u = 3675510 \text{ N}$
 - $M_{2b}(x) = 28705.2 \text{ Nm}$
 - $M_{2b}(y) = 3531.11 \text{ Nm}$
 - $M_{2s}(x) = 1873600 \text{ Nm}$
 - $M_{2s}(y) = 30028.1 \text{ Nm}$
- Data-data perancangan :
 - Dimensi kolom = $700 \times 700 \text{ mm}^2$
 - Tinggi kolom = 4000 mm
 - Mutu beton (f_c') = 30 MPa
 - Mutu baja (f_y) = 400 Mpa
 - Decking = 40 mm
 - Tulangan utama = D 32
 - Beugel = D 10
 - $d = 700 - 40 - 10 - \frac{1}{2} \cdot 32 = 638 \text{ mm}$

Perhitungan faktor tekuk (k)

$$E_c = 4700 \sqrt{f_c'} = 4700 \sqrt{30} = 25388.7 \text{ MPa}$$

EI kolom (ukuran $700 \text{ mm} \times 700 \text{ mm}$)

$$I_g = \frac{1}{2} \cdot 700 \times 700^3 = 1,08 \cdot 10^{10} \text{ mm}^4$$

I_{se} = dengan permisalan $\rho = 2.5 \%$

$$\begin{aligned} I_{se} &= A_{st} \times [\frac{1}{2} (h - 2d)]^2 \\ &= 0.025 \cdot 700 \cdot 700 [\frac{1}{2} (700 - 2 \cdot 30)]^2 = 65.6 \cdot 10^7 \text{ mm}^4 \end{aligned}$$

$$\beta d = \frac{1.4 * M_D}{1.4 * M_D + 1.7 * M_L} = 0.74$$

$$E_s = 2 \cdot 10^5 \text{ MPa}$$

$$EI = \frac{E_c * I_g}{5} + E_s * I_{se} = \frac{25388.7 * 1.08 * 10^{10}}{5} + 2 * 10^5 * 65.6 * 10^7$$

$$1 + \beta d \quad 1 + 0.74$$

$$= 2.35 \times 10^{14} \text{ Nmm}^2$$

$$EI = \frac{Ec/Ig}{2,5(1+\beta_d)} = \frac{25388.7 \times 1.08 \cdot 10^{10}}{2,5 \times (1+0.74)} = 0.58 \times 10^{14} \text{ Nmm}^2$$

Jadi $EI_{kolom} = 2.35 \times 10^{14} \text{ Nmm}^2$

El balok (ukuran 400 mm x 600 mm)

$$Ig = \frac{1}{2} \cdot 400 \times 600^3 = 7,2 \cdot 10^9 \text{ mm}^4$$

$$EI_{balok} = E_c \cdot I_{CR} = E_c \cdot \frac{1}{2} \cdot Ig = 0.926 \times 10^{14} \text{ Nmm}^2$$

Faktor jepitan atas

$$\Psi_A = \frac{\sum (EIc/Lc)_{kolom}}{\sum (EIb/Lb)_{balok}} = \frac{2.35 \times 10^{14} / 4000 + 2.35 \times 10^{14} / 3500}{(2 \times 0.926 \cdot 10^{14} / 4500) + (2 \times 0.926 \cdot 10^{14} / 8000)} = 1$$

Faktor jepitan bawah

$$\Psi_B = 0 \text{ (secara teoritis)}$$

Tetapi *Structural Stability Research Council* menyarankan bahwa untuk tujuan praktik Ψ_B tidak boleh diambil kurang dari 1, sehingga nilai $\Psi_B = 1$

Kontrol kelangsungan

Jenis kolom dalam perancangan ini adalah kolom tanpa pengaku samping (unbraced)

$$\text{Jari-jari girasi (} r \text{)} = 0,3 \cdot h = 0,3 \times 700 = 210 \text{ mm}$$

$$\text{Nilai kelangsungan} = \frac{k \cdot L_u}{r} = \frac{1,3 \times 4000}{210} = 24,2 > 22$$

Kolom termasuk Kolom Panjang, maka pengaruh kelangsungan diperhitungkan, sehingga perlu dilakukan pembesaran momen.

Perhitungan pembesaran momen

Untuk *unbraced* nilai $C_m = 1$

$$P_c = \frac{\pi^2 EI}{(k \cdot L_n)^2} = \frac{\pi^2 \times 1.27 \cdot 10^{14}}{(1,3 \times 3700)^2} = 8,5 \cdot 10^7 \text{ N}$$

$$\delta_h \frac{C_m}{1 - \left(\frac{P_u}{\phi P_c} \right)} = \frac{1}{1 - \left(\frac{5691330}{0,7 \times 5,4 \cdot 10^7} \right)} = 1,06 \geq 1$$

$$\delta_s \frac{C_m}{1 - \left(\frac{\sum P_u}{\sum \phi.P_c} \right)} = \frac{1}{1 - \left(\frac{2.098 \cdot 10^7}{0.7 \times 108.4 \times 10^7} \right)} = 1,03 \geq 1$$

$$M_{cx} = \delta_b M_2 b(x) + \delta_s M_2 s(x) \\ = 1,06 \times 28705200 + 1,03 \times 1873600000 = 1960235512 \text{ Nmm}$$

$$M_{cy} = \delta_b M_2 b(y) + \delta_s M_2 s(y) \\ = 1,06 \times 3531110 + 1,03 \times 30028100 = 34671920 \text{ Nmm}$$

Perhitungan momen ekuivalen

$$\phi.M_{nx} = M_{cx} + M_{cy} \cdot \frac{b}{h} \cdot \frac{1-\beta}{\beta} \\ = 1960235512 + 34671920 \times 1 \times \frac{1-0,65}{0,65} = 1978889005 \text{ Nmm} \quad (\text{menentukan})$$

$$\phi.M_{ny} = M_{cy} + M_{cx} \cdot \frac{b}{h} \cdot \frac{1-\beta}{\beta} \\ = 34671920 + 1960235512 \times 1 \times \frac{1-0,65}{0,65} = 1089278625 \text{ Nmm}$$

5.2.2.7 Penulangan geser dan torsi kolom

Penulangan geser dan torsi kolom pada dasarnya adalah sama dengan penulangan geser dan torsi pada balok, hanya pada kolom daerah ujung-ujung kolom harus mendapat perhatian khusus sebagai syarat bagi suatu struktur bangunan beton bertulang tahan gempa (diatur dalam PB 1989 Appendiks A). Berdasarkan SK SNI T 15 – 1991 – 03 Ayat 3.16.10 butir 5, sengkang dan kait untuk komponen struktur tekan (kolom) harus memenuhi ketentuan sebagai berikut :

- Diameter tulangan sengkang $\geq 10 \text{ mm}$
- $\rightarrow S \leq 16$ diameter tulangan longitudinal }
 $\rightarrow S \leq 48$ diameter tulangan sengkang } Diambil yang terkecil
- * Jika terdapat balok atau konsol pendek, $S \leq 80 \text{ mm}$ dibawah tulangan terbawah dari balok atau konsol pendek yang paling kecil dimensi vertikalnya.

Contoh perhitungan diambil kolom pada lantai 1 :

- Nu = 5691330 N
- Vu = 3775.1 N
- bw = 700 mm
- D utama = 32 mm
- D sengkang = 10 mm
- d = $700 - 40 - 10 - \frac{1}{2} \cdot 32 = 638$ mm

Sumbangan kekuatan geser beton :

$$\checkmark Vc = 2 \times \gamma_b \sqrt{f'_c} \times bw \times d \left(1 + \frac{Nu}{14 \cdot Ag} \right) \dots \dots \text{SK SNI T-15-1991-03-3.4.3-1-2}$$

$$= 2 \times \gamma_b \sqrt{30} \times 700 \times 638 \left(1 + \frac{5691330}{14 \cdot 700^2} \right) = 1259446.6 \text{ N}$$

$$\checkmark \Phi Vc = 0,6 \times 1259446.6 = 755667.9 \text{ N}$$

$$\frac{1}{2} \cdot \Phi Vc = 377833.9 \text{ N} > Vu = 3775.1 \text{ N}$$

Karena Vu < $\frac{1}{2} \cdot \Phi Vc$, maka dipasang sengkang minimum sebesar :

$$\checkmark s = \frac{2 \cdot At \cdot 3 \cdot f_y}{bw} = \frac{265.3 \times 3 \times 400}{700} = 455 \text{ mm}$$

s maksimum $\leq 0,5 \cdot h = 0,5 \times 700 = 350 \text{ mm}$
 $\leq 16 \cdot d_b = 16 \times 32 = 512 \text{ mm}$
 $\leq 48 \cdot ds = 48 \cdot 10 = 480 \text{ mm}$

Dipasang tulangan sengkang D 10 – 300 mm



5.2.2.8 Panjang penyaluran

Panjang penyaluran tulangan dasar harus dihitung sesuai dengan perumusan SK SNI T-15-1991-03 ayat 3.5.3 (panjang penyaluran dari tulangan deform dalam tekan) sebagai berikut :

$$Ldb = \frac{d_b \times f_y}{4 \times \sqrt{f'_c}} \text{ tetapi tidak boleh kurang dari } Ldb = 0.04 \times d_b \times f_y$$

dimana : Ldb = Panjang penyaluran dasar (mm)

f_y = tegangan leleh tulangan (Mpa)

f_{c'} = tegangan leleh beton (Mpa)

d_b = diameter batang tulangan (mm)

Panjang penyaluran dasar harus dikalikan dengan faktor modifikasi yang berlaku untuk :

- Tulangan lebih, yaitu tulangan yang jumlahnya melebihi dari jumlah yang diperlukan berdasarkan analisa(A_s perlu / A_s ada)
- Spiral, yaitu tulangan yang berada didalam lilitan spiral yang diameternya tidak kurang dari 5 mm dan jarak lilitannya tidak lebih dari 100 mm0,75

Panjang penyaluran tidak boleh kurang dari 200 mm.

Contoh perhitungan

$$L_{db} = \frac{32 \times 400}{4 \times \sqrt{30}} = 584.5 \text{ mm}$$

tetapi tidak kurang dari L_{db} = 0.04 x 32 x 400 = 512 mm

dipakai L_{db} = 550 mm

Panjang penyaluran terpasang :

$$\begin{aligned} L_d &= L_{db} \times (A_s \text{ perlu} / A_s \text{ ada}) \\ &= 550 \times (24003 / 24115.2) \\ &= 542 \text{ mm} \rightarrow \text{Jadi dipasang panjang penyaluran sebesar } 550 \text{ mm.} \end{aligned}$$

BAB VI

DESAIN SAMBUNGAN

Cipta Karya
www.ciptakarya.com

BAB VI

DESAIN SAMBUNGAN

6.1 UMUM

Dalam bab ini akan diuraikan kriteria desain sambungan, konsep, jenis sambungan dan hal-hal yang berkaitan dengan alat-alat sambungan. Sambungan berfungsi sebagai penyalur gaya-gaya yang dipikul oleh elemen struktur ke elemen struktur yang lainnya. Gaya-gaya tersebut untuk selanjutnya diteruskan ke pondasi. Selain itu desain sambungan dibuat untuk menciptakan kestabilan. Suatu sambungan diharapkan dapat mentransfer beberapa gaya secara bersamaan.

Dalam pelaksanaan kontruksi beton pracetak, sebuah sambungan yang baik selalu ditinjau dari segi kemampuan sambungan tersebut menyalurkan gaya dari satu elemen ke elemen yang lain, praktis dan ekonomis. Selain itu perlu juga ditinjau dari segi kekuatan dan produksi. Faktor kekuatan khususnya harus dipenuhi oleh suatu sambungan karena sambungan harus mampu menahan gaya-gaya yang dihasilkan oleh beberapa macam beban. Beban-beban tersebut dapat berupa beban mati, beban hidup, beban angin, beban gempa dan kombinasi dari beban-beban tersebut.

Selain itu desain sambungan antar komponen pracetak memegang peranan penting dalam menjamin suatu gedung agar dapat menjadi satu kesatuan disaat terjadi gempa, baik itu untuk struktur yang rumit ataupun yang sederhana. Sambungan antar elemen beton pracetak tersebut harus mempunyai cukup kekuatan, kekakuan dan dapat memberikan kebutuhan daktilitas yang disyaratkan.

Sambungan dalam pracetak dikenal dua macam, yaitu sambungan basah dan sambungan kering. Baik sambungan basah maupun sambungan kering sudah banyak dipergunakan sebagai salah satu pemecahan masalah dalam mendesain konstruksi pracetak yang setara dengan konstruksi cor setempat (*cast in situ*).

6.2 KRITERIA PERENCANAAN SAMBUNGAN

Kriteria perencanaan sambungan disesuaikan dengan desain, karena ada perbedaan criteria untuk masing-masing type sambungan. Persyaratan suatu sambungan dapat menjadi syarat yang tidak terlalu penting untuk sambungan lain. Hal ini diakibatkan karena perbedaan asumsi /anggapan atau perbedaan spesifikasi dari pihak perancang dan pemilik struktur.

1 Kekuatan

Suatu sambungan harus mempunyai kekuatan untuk menahan gaya-gaya yang diterapkan sepanjang umur dari sambungan. Beberapa dari gaya ini disebabkan oleh gaya gravitasi, angin, gempa dan perubahan volume.

2 Daktilitas

Daktilitas sering didefinisikan sebagai kemampuan relatif struktur untuk menampung deformasi yang besar tanpa mengalami runtuh. Untuk material struktur, daktilitas diukur dengan total deformasi yang terjadi saat leleh awal terhadap leleh batas (*ultimate failure*).

Daktilitas pada portal sering digabungkan dengan ketahanan terhadap momen, hal ini dipakai dalam perencanaan gempa. Pada elemen sambungan tahan momen, tegangan tarik lentur biasanya ditahan oleh komponen baja. Dan kondisi runtuh akhir dapat terjadi karena kondisi putusnya baja, hancurnya beton atau kegagalan dari sambungan baja dan beton.

3 Perubahan Volume

Kombinasi pemendekan akibat dari rangkak, susut dan penurunan suhu dapat menyebabkan beberapa tegangan pada elemen beton pracetak ataupun perletakannya ditarik pergerakannya. Tegangan ini harus dimasukkan oleh desain dan akan lebih baik bila sambungan diijinkan untuk berpidah tempat untuk mengurangi besarnya tegangan tersebut.

4 Daya Tahan

Sambungan perlu diawasi dan dipelihara. Sambungan yang diperkirakan akan langsung dapat bersentuhan dengan cuaca harus dilakukan tindakan perlindungan dengan beton atau dengan cat (*galvanis*). Daya tahan yang buruk dapat diakibatkan oleh retak, spelling beton dan yang paling sering diakibatkan oleh korosi dari komponen baja elemen beton pracetak.

5 Ketahanan Terhadap Kebakaran

Beberapa sambungan beton pracetak tak mudah terpengaruh akibat api, seperti pada perletakan antara pelat dan balok yang secara umum tidak memerlukan perlindungan secara khusus terhadap api. Apabila pelat diletakkan di atas *bearing pads* yang terbuat dari bahan yang mudah terbakar, maka perlindungan khusus dari *bearing pads* tersebut tidak perlu karena keadaan terburuk dari *pads* tidak akan menyebabkan runtuh, tetapi sesudah kebakaran *pads* harus diganti. Untuk sambungan yang tidak tahan api memerlukan perlindungan khusus seperti dengan melapisi beton, gypsum wallboard atau bahan lain yang tahan api.

7 Kesederhanaan Pemasangan

Kesederhanaan pemasangan elemen beton pracetak sangat menentukan keberhasilan pencapaian tujuan penerapan konstruksi beton pracetak. Kesederhanaan pemasangan tidak lepas dari bentuk dan type sambungan yang dipilih. Kesederhanaan suatu sambungan biasanya menjamin dalam kemudahan pemasangan.

6.3 KONSEP DESAIN SAMBUNGAN

6.3.1 Mekanisme Pemindahan Beban

Tujuan dari sambungan adalah memindahkan beban dari satu elemen pracetak ke elemen lainnya atau sebaliknya. Pada setiap sambungan, beban akan ditransfer melalui elemen sambungan dengan mekanisme yang bermacam-macam. Pemindahan beban diteruskan ke kolom melalui beberapa tahap :

- a. Beban diserap pelat dan ditransfer ke perletakan dengan kekuatan geser
- b. Perletakan ke *haunch* melalui gaya tekan *pads*
- c. *Haunch* menyerap gaya vertical dari perletakan dengan kekuatan geser dan lentur dari profil baja.
- d. Gaya geser vertical dan lentur diteruskan ke pelat baja melalui titik las.
- e. Kolom beton memberikan reaksi terhadap profil baja yang tertanam.

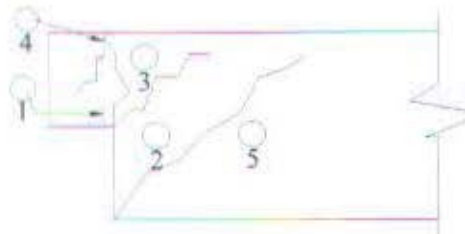
Mekanisme pemindahan gaya tarik akibat susut, dapat dijelaskan sebagai berikut

- a. Balok beton ke tulangan dengan lekatan / ikatan.
- b. Tulangan baja siku di ujung balok diikat dengan las.

- c. Baja siku di ujung balok ke *aunch* melalui gesekan di atas dan di bawah bearing *pads*. Sebagian gaya akibat perubahan volume dikurangi dengan adanya deformasi pada *pads*.
- d. Sebagian kecil dari gaya akibat perubahan volume dipindahkan melalui las ke pelat baja.
- e. Gaya tersebut ditahan oleh perletakan dan diteruskan oleh *stud* ke kolom beton melalui ikatan / lekatan.

6.3.2 Pola-pola Kehancuran

Sebagian perencanaan diharuskan untuk menguji masing-masing pola kehancuran. Pada dasarnya pola kehancuran kritis pada sambungan sederhana akan tampak nyata. Sebagai contoh pada kehancuran untuk sambungan sederhana :



PCI Design Hanbook memberikan lima pola kehancuran yang harus diselidiki pada waktu perencanaan *dapped-end* dari balok, yaitu sebagai berikut :

1. lentur dan gaya tarik aksial pada ujung
2. tarik diagonal yang berasal dari sudut ujung
3. geser langsung antar tonjolan dengan bagian utama balok
4. tarik diagonal pada ujung akhir
5. perletakan pada ujung atau tonjolan

6.3.3 Stabilitas dan Keseimbangan

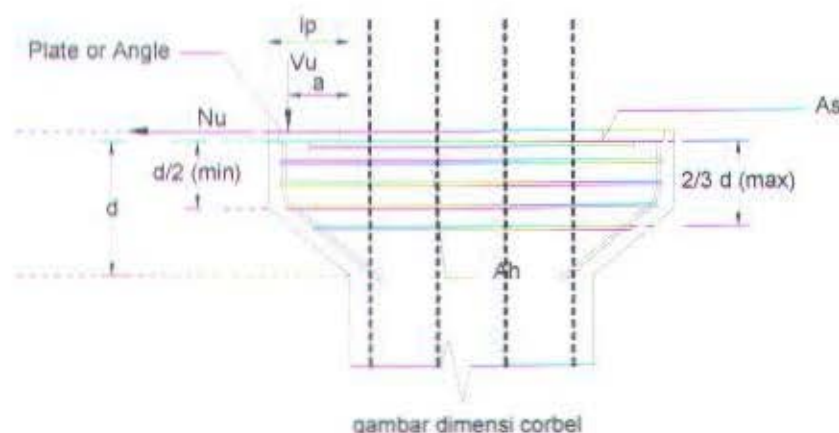
Adapun permasalahan utama pada struktur beton pracetak biasanya disebabkan oleh kesalahan perencanaan dalam menghitung stabilitas dan keseimbangan dari struktur dan komponen-komponennya, bukan hanya pada kedudukan akhir tetapi juga selama fase pelaksanaan konstruksi.

Sebagai contoh pada balok induk, karena eksentrisitas beban pada balok terjadi torsi dan balok cenderung berputar pada perletakan. Jadi perencana perlu untuk memperhitungkan kondisi pada saat pemasangan balok tersebut.

Pada kenyataannya struktur balok pracetak, diinginkan agar stabilitas lateral diciptakan oleh shearwall atau bracing atau dapat juga oleh portal tahan momen. Gaya lateral didistribusikan ke setiap bagian struktur lateral melalui aksi diafragma dari pelat lantai.

6.4 PERENCANAAN SAMBUNGAN BALOK DAN KOLOM

6.4.1 Perencanaan Corbel Kolom



Penulis merencanakan *corbel* pada kolom sebagai tumpuan untuk meletakkan balok induk precast. Pada pelaksanaannya, pengecoran dari *corbel* bersama-sama dengan pengecoran kolom. Jadi direncanakan antara *corbel* dan kolom bersifat monolit. Pada setiap kolom tempat menumpu balok precast, dimensi dari *corbel* direncanakan sama semua.

Desain penulangan *corbel* harus diadakan pengecekan terhadap lentur, aksial tarik, geser langsung dan bearing. Luas tulangan utama A_s , sesuai dengan PCI Design Handbook adalah :

$$\circ \quad A_n = \frac{N_{uc}}{\phi \cdot f_y}$$

- $As_1 = \frac{1}{\Phi f_y} \left[Vu \left(\frac{a}{d} \right) + Nu \left(\frac{h}{d} \right) \right]$
- $As_2 = \frac{1}{\Phi f_y} \left[\frac{2Vu}{3\mu_e} + Nu \right]$ ambil nilai terbesar

dan tidak boleh kurang dari :

- $As_{min} = 0,04 \frac{fc'}{f_y} b d$
- $Ah = 0,5 (As - An)$

dimana :

$\Phi = 0,85$

An = luas tulangan yang diperlukan untuk melawan tarik aksial

Nu = gaya tarik horizontal terfaktor yang tegak lurus asumsi bidang retak

f_y = tegangan leleh dari Avf (≤ 6000 psi)

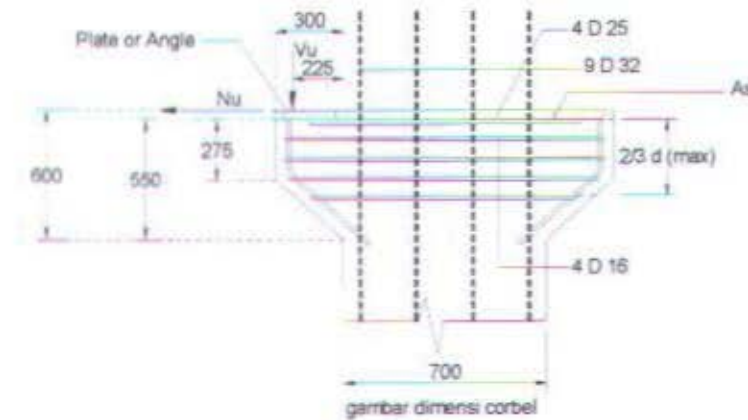
Vu = gaya geser terfaktor

Sebagai tambahan, sejumlah sengkang ikat dengan luas total Ah harus disebarluaskan secara merata dalam batas $\frac{1}{3}$ tebal efektif.

Perhitungan Corbel :

Data-data perencanaan balok induk 40/60 pada lantai 5 balok 62 :

- Vu : 864845 N
- Nuc : $0,2 \cdot Vu = 172969$ N
- fc' : 30 MPa
- f_y : 400 MPa
- Φ : 0,85
- bw : 600 mm
- l_p : 300 mm
- a : $\frac{3}{4} l_p = 225$ mm
- μ : $1,4 \lambda$ beton di cor monolit
- λ : 1 beton normal



Ambil nilai $h = 600 \text{ mm}$; $d = 550 \text{ mm}$

$$a = \frac{3}{4} l_p = 225 \text{ mm}$$

- $V_n \text{ max} = 1000 \times \lambda^2 \times A_{cr} \text{ (dalam lb)} \text{ atau } 6.8944 \times \lambda^2 \times A_{cr} \text{ (dalam N)}$
 $= 6.8944 \times 1 \times (600 \times 600) = 2481984 \text{ N}$
 $V_u \text{ max} = 0.85 (2481984) = 2109686.4 \text{ N} > 864845 \text{ N} \quad \text{OK}$

$$\bullet \quad A_{s1} = \frac{1}{\Phi f_y} \left[Vu \left(\frac{a}{d} \right) + Nu \left(\frac{h}{d} \right) \right]$$

$$= \frac{1}{0.85(400)} \left[864845 \left(\frac{225}{550} \right) + 172969 \left(\frac{600}{550} \right) \right] = 1595.5 \text{ mm}^2$$

$$\mu_e = \frac{1000 \lambda \times A_{cr} \times \mu}{Vu} \quad \text{atau} \quad \mu_e = \frac{6.8944 \lambda \times A_{cr} \times \mu}{Vu} \text{ SI}$$

$$\mu_e = \frac{6.8944 \times 1 \times 600^2 \times (1.4 \times 1)}{864845} = 4 > 3.4$$

Dalam PCI Design Handbook, nilai $\mu_e \leq 3.4$ (tabel 6.7.1), jadi diambil nilai $\mu_e = 3.4$

- $A_{s2} = \frac{1}{\Phi f_y} \left[\frac{2Vu}{3\mu_e} + Nu \right] \quad \text{atau} \quad A_{s2} = \frac{1}{\Phi f_y} \left[\frac{Vu}{10.342 \times \mu_e} + Nu \right] \text{ (dalam mm}^2\text{)}$
 $= \frac{1}{0.85(400)} \left[\frac{864845}{10.342(3.4)} + 172969 \right] = 581.1 \text{ mm}^2$
- $A_s \text{ min} = 0.04 \left(\frac{f_c}{f_y} \right) bd \text{ (dalam in}^2\text{ atau mm}^2\text{)}$

$$= 0.04 \left(\frac{30}{400} \right) (600)(550) = 990 \text{ mm}^2$$

$A_s > A_{s2}$, sehingga nilai yang diambil adalah $A_s = 1595.5 \text{ mm}^2$

$A_s > A_{\min} \dots \dots \dots \text{OK!}$

- As perlu = 1595.5 mm^2

Digunakan 4 - D₂₅ (As = 1962.5 mm^2)

- Tulangan sengkang

$$A_h = \frac{1}{2} (A_s - A_n)$$

$$A_n = \frac{N_u}{\Phi f_y} = \frac{172969}{0.85(400)} = 508.7 \text{ mm}^2$$

$$A_h = \frac{1}{2} (1962.5 - 508.7) = 726.88 \text{ mm}^2$$

maka dipakai 4 - D₁₆ (As = 803.84 mm^2)

Sengkang ikat harus disebar merata sepanjang $\frac{2}{3} d$

- Panjang penanaman As

$$L_{\text{ada}} = b - \text{selimut} - \frac{1}{2}, \text{ diameter tulangan As}$$

$$= 600 - 25 - \frac{1}{2} \times 18 = 566 \text{ mm}$$

6.4.2 Perencanaan Bearing on Plain Concrete

Jika diinginkan agar suatu elemen tidak perlu diperkuat oleh penulangan untuk mempertinggi daya dukung elemen pada bagian tepi, seperti tepi pada ujung balok yang mendukung pelat, maka perlu dilakukan pemeriksaan bearing on plain concrete.

Jika $V_u > \Phi V_n$ hasil desain bearing strength on plain concrete, maka perlu penulangan end bearing. Penulangan end bearing berdasarkan analisa geser friksi.

Perhitungan :

$$V_u = 864845 \text{ N}$$

$$V_n = 0.2 \times V_u = 172969 \text{ N}$$

$$A_{ct} = b \times h = 400 \times 600 = 240000 \text{ mm}^2$$

Dari tabel 6.7.1 PCI Design Handbook, didapatkan :

$$V_{n \max} = 1000 \times \lambda^2 \times A_{ct} \text{ (dalam lb) atau } 6.8944 \times \lambda^2 \times A_{ct} \text{ (dalam N)}$$

$$= 6.8944 \times 1 \times (600 \times 600) = 2481984 \text{ N}$$

$$V_{u \max} = 0.85 (2481984) = 2109686.4 \text{ N} > 864845 \text{ N} \quad \text{OK}$$

Menghitung Tulangan Longitudinal ($A_{vf} + A_n$)

Dengan menggunakan persamaan 6.7.2 PCI Design Handbook :

$$\mu_e = \frac{1000 \lambda \times A_{\sigma} \times \mu}{V_u} \quad \text{atau} \quad \mu_e = \frac{6.8944 \lambda \times A_{\sigma} \times \mu}{V_u} \text{ (SI)}$$

$$\mu_e = \frac{6.8944 \times 1 \times 600^2 \times (1.4 \times 1)}{864845} = 4 > 3.4, \text{ dipakai } \mu_e = 3.4$$

$$A_{vf} + A_n = \frac{V_u}{\phi \cdot f_y \cdot \mu_e} + \frac{N_u}{\phi \cdot f_y}$$

$$A_{vf} + A_n = \frac{864845}{0.85 \times 400 \times 3.4} + \frac{172969}{0.85 \times 400} = 1256 \text{ mm}^2$$

dipasang tulangan 7D16 ($A_s = 1406.7 \text{ mm}^2$)

Panjang Tulangan $A_{vt} + A_n$, l_d ditentukan dari Design Aid 11.2.8 PCI Design Handbook hal 11-22 :

$$\alpha_A = 2$$

$$\alpha_B = 1$$

$$\alpha_C = 1.2$$

$$\alpha_D = 1$$

$$\alpha_E = 941.28 / 1005.31 = 0.94$$

$$\alpha_{mt} = 1.18 \times \frac{f_y}{\sqrt{f'c}} \text{ dimana } f_y \text{ dalam ksi dan } f'c \text{ dalam psi}$$

$$\alpha_{mt} = 0.014211 \times \frac{f_y}{\sqrt{f'c}} \text{ dimana } f_y \text{ dan } f'c \text{ dalam MPa}$$

$$\alpha_{mt} = 0.014211 \times \frac{400}{\sqrt{30}} = 1.037825$$

$$l_{ab} = (34.0 \times A_h) \text{ in} \text{ untuk tulangan dengan diameter 10 s/d 36 mm}$$

$$l_{ab} = [34.0 \times (0.25 \times \pi \times 16^2 / 25.4^2)] = 10.6 \text{ in} \approx 269.24 \text{ mm}$$

$$(l_d)_i = \{(l_{ab}) \times \alpha_A \times \alpha_B\} \geq 25.5 d_b \text{ in}$$

$$(l_d)_1 = \{[(10.6) \times 2 \times 1] \geq [25.5 \times (16 / 25.4)]\}$$

$$(l_d)_1 = 21.2 \geq 16.063 \text{ in}$$

$$(l_d)_1 = 21.2 \text{ in} \approx 538.48 \text{ mm}$$

$$l_d = \{[(l_d)_1 \times (\alpha_c \leq 1.7) \times \alpha_D \times \alpha_E] \times \alpha_m\} \geq 12 \text{ in}$$

$$l_d = \{[21.2 \times (1.2) \times 1 \times 0.94] \times 0.97\} \geq 12 \text{ in}$$

$$l_d = 23.2 \geq 12 \text{ in}$$

$$l_d = 23.2 \text{ in} \approx 589.28 \text{ mm} \approx 600 \text{ mm}$$

Perhitungan Tulangan Sengkang (A_{sh})

$$A_{ct} = l_d \times b = 589.28 \times 400 = 235712 \text{ mm}^2$$

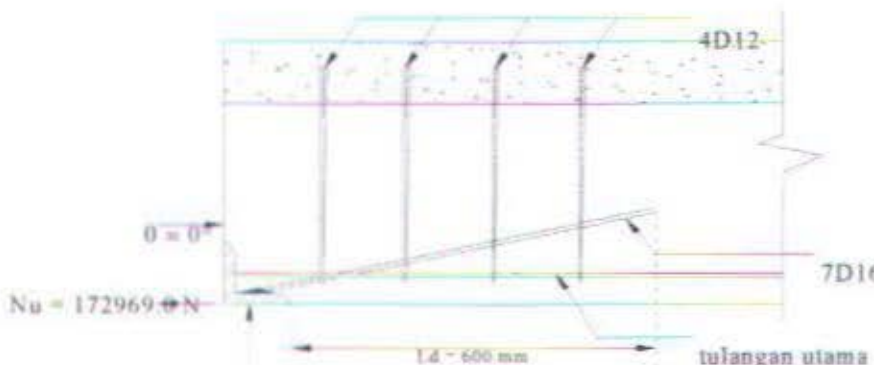
$$\mu_e = \frac{1000 \times \lambda \times A_{vf} \times \mu}{(A_{vf} + A_n) \times f_y} \text{ atau } \mu_e = \frac{6.895 \times \lambda \times A_{vf} \times \mu}{(A_{vf} + A_n) \times f_y} \text{ dalam SI}$$

$$\mu_e = \frac{6.895 \times 1 \times 235712 \times (1.4 \times 1)}{(1256) \times 400} = 4.5289 > 3.4, \text{ jadi digunakan } \mu_e = 3.4$$

$$A_{sh} = \frac{(A_{vf} + A_n) \times f_y}{\mu_e \times f_y}$$

$$A_{sh} = \frac{(1256) \times 400}{3.4 \times 400} = 369.412 \text{ mm}^2$$

dipasang tulangan 4D12 (As = 452.389 mm²)



Agar pelat siku dengan tulangan $A_{vf} + A_n$ menyatu, maka dilakukan penyambungan dengan menggunakan las. Perhitungan las untuk sambungan tersebut adalah sebagai berikut :

Data :

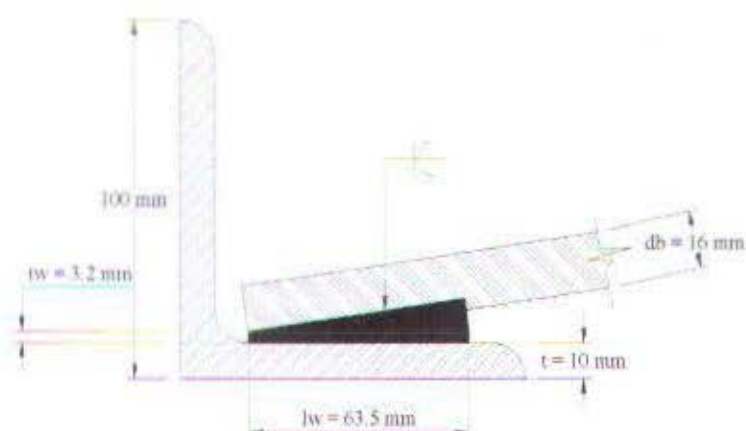
- pelat siku 100 x 100 x 10 BJ 37 ($t = 10 \text{ mm}$ atau $\frac{3}{8} \text{ in}$)

- tulangan $A_{vf} + A_{fl}$ diameter 16 mm (# 5)
- Las electrode E70

Berdasarkan table 6.20.3 PCI Design Handbook, didapatkan :

$$t_w = 0.2 \times d_b = 0.2 \times 16 = 3.2 \text{ mm}$$

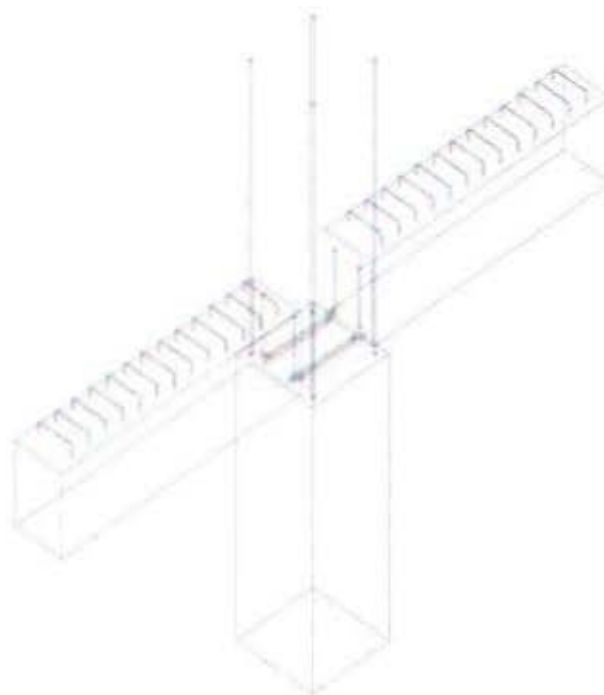
$t_w = 2.5 \text{ in} = 63.5 \text{ mm}$ (untuk Las E70 dengan diameter tulangan 16 mm dan tebal pelat 10 mm)



6.4.3 Perhitungan Panjang Penyaluran

Sistem sambungan basah antara balok dengan kolom pada perencanaan kali ini memanfaatkan panjang penyaluran dari tulangan balok, terutama tulangan pada bagian bawah yang nantinya akan dijangkarkan atau dikaitkan ke atas.

Untuk mengantisipasi adanya gaya gempa bolak-balik, maka panjang penyaluran diasumsikan menerima tekan dan juga menerima tarik sehingga pada perencanaan kali ini dihitung dengan dua kondisi, yaitu kondisi tekan dan kondisi tarik.



- *Panjang Penyaluran Tulangan Deform Dalam Tekan*

Berdasarkan SK SNI T – 15 – 1991 – 03 – 3.5.3, panjang penyaluran batang tulangan deform yang mengalami tekan ditetapkan menurut ketentuan sebagai berikut :

$$\text{• } l_d = l_{db} \times A_{s\text{ perlu}} / A_{s\text{ ada}}$$

$$\text{• } l_d \geq 200 \text{ mm}$$

$$\text{• } l_{db} = d_b f_y / (4 \sqrt{f'c})$$

$$\text{• } l_{db} \geq 0.04 d_b f_y$$

Perhitungan :

$$D_{tul} = 32 \text{ mm}$$

$$A_{s\text{ ada}} = 5626.8 \text{ mm}^2$$

$$A_{s\text{ perlu}} = 5127 \text{ mm}^2$$

$$l_{db} = 32 \times 400 / (4 \times \sqrt{30}) > 0.04 \times 32 \times 400$$

$$= 584 \text{ mm} > 512 \text{ mm} \dots\dots\dots \text{OK}$$

$$l_d = 584 \times (5127 / 5626.8)$$

$$= 532 > 200 \text{ mm} \dots\dots\dots \text{OK}$$

• Panjang Penyaluran Kait Standar Dalam Tarik

Berdasarkan SK SNI T - 15 - 1991 - 03 - 3.5.5, panjang penyaluran kait dari batang yang mengalami tarik ditetapkan menurut ketentuan sebagai berikut :

$$- I_{AB} = I_{BB} \times f_s / 400$$

- $L_{dB} \geq 8$ dB

- $l_{sh} \geq 150$ mm

$$- I_{bb} = -100 d_b / \sqrt{f' c}$$

- kait dengan bengkokan 90° → ditambah 12 d_b pada ujung batang bebas

Perhitungan :

$$l_{bh} = -100 \times 32 / \sqrt{30} = 584.2 \text{ mm}$$

$$I_{dh} = 584.2 \times 400 / 400 > 8 \times 32$$

- 584.2 mm > 200 mmOK

$$\text{panjang batang bebas} = 12 \times 32 = 384 \text{ mm}$$

Jadi dipasang panjang penyaluran 584.2 mm dengan tekukan 90° dengan panjang ujung batang bebas 384 mm

6.5 SAMBUNGAN BALOK ANAK – BALOK INPIUK

Sistem sambungan basah pada balok induk dengan balok anak sama dengan sambungan pada balok dengan kolom. Untuk menjamin perilaku monolit pada sambungan ini, maka tambahkan panjang penyaluran yang berfungsi sebagai penjangkaran. Bentuk panjang penyaluran (penjangkaran) sama dengan bentuk sambungan balok-kolom.

- *Panjang Penyaluran Tulangan Deform Dalam Tekan*

Berdasarkan SK SNI T - 15 - 1991 - 03 - 3.5.3, panjang penyaluran batang tulangan deform yang mengalami tekan ditetapkan menurut ketentuan sebagai berikut :

$$I_d = I_{db} \times A_{S_perlu} / A_{S_ada}$$

- L_d ≥ 200 mm

$$\text{- } l_{db} = d_b f_y / (4 \sqrt{f'c})$$

$$\text{- } l_{db} \geq 0.04 d_b f_y$$

Perhitungan :

$$D_{bd} = 18 \text{ mm}$$

$$A_{s \text{ ada}} = 1271.7 \text{ mm}^2$$

$$A_{s \text{ perlu}} = 1105.7 \text{ mm}^2$$

$$l_{db} = 18 \times 400 / (4 \times \sqrt{30}) > 0.04 \times 18 \times 400$$

$$= 328.7 \text{ mm} > 288 \text{ mm} \dots \dots \dots \text{OK}$$

$$l_d = 328.7 \times (1105.7 / 1271.7)$$

$$= 285.8 > 200 \text{ mm} \dots \dots \dots \text{OK}$$

- *Panjang Penyaluran Kait Standar Dalam Tarik*

Berdasarkan SK SNI T - 15 - 1991 - 03 - 3.5.5, panjang penyaluran kait dari batang yang mengalami tarik ditetapkan menurut ketentuan sebagai berikut :

$$\text{- } l_{db} = l_{hb} \times f_y / 400$$

$$\text{- } l_{db} \geq 8 \text{ db}$$

$$\text{- } l_{db} \geq 150 \text{ mm}$$

$$\text{- } l_{hb} = 100 d_b / \sqrt{f'c}$$

- kait dengan bengkokan 90° → ditambah 12 d_b pada ujung batang bebas

Perhitungan :

$$l_{hb} = 100 \times 18 / \sqrt{30} = 312 \text{ mm}$$

$$l_{db} = 312 \times 400 / 400 > 8 \times 18$$

$$= 312 \text{ mm} > 144 \text{ mm} \dots \dots \dots \text{OK}$$

$$\text{panjang batang bebas} = 12 \times 18 = 216 \text{ mm}$$

Jadi dipasang panjang penyaluran 312 mm dengan tekukan 90° dengan panjang ujung batang bebas 216 mm

BAB VII

DESAIN PONDASI

BAB VII

DESAIN PONDASI

7.1 UMUM

Dalam sebuah dunia konstruksi, keberadaan bangunan bawah sangatlah penting. Oleh karena itu, dalam setiap pembangunan, sekaku dibutuhkan suatu pondasi sebagai tempat berdiri suatu bangunan. Dalam perencanaan kali ini, digunakan sistem pondasi dalam dengan menggunakan tiang pancang beton (*Precast Reinforced Concrete Pile*) produksi PT. WIKA dengan bentuk penampang bulat berongga (*Round Hollow*). Dikatakan pondasi dalam jika perbandingan antara kedalaman pondasi (D) dengan diameternya (B) adalah lebih besar sama dengan 10 ($D/B \geq 10$).

Dari data tanah yang didapat (*Standart Penetration Test*), diketahui bahwa tanah pada lokasi dibangunnya gedung perkantoran ini didominasi oleh lanau.

7.2 DATA TANAH

Penyelidikan tanah berfungsi untuk mengetahui jenis dari tanah sehingga dapat dilakukan perencanaan pondasi yang sesuai dengan jenis dan kemampuan daya dukung tanah tersebut.

Perencanaan pondasi pada gedung perkantoran ini sesuai dengan penyelidikan tanah di lapangan. Dari data hasil penyelidikan tanah dapat diketahui jenis tanah yang ada dan nilai DCPT (*Dutch Cone Penetrometer Test*) dan SPT (*Standart Penetration Test*). Dalam menghitung daya dukung tanah, digunakan data tanah hasil uji dari *Cone Penetrometer Test (CPT)*.

7.3 KRITERIA DESIGN

7.3.1 Kekuatan dan Dimensi Tiang

- Dipakai tiang pancang beton pratekan (*Prestressed Concrete Pile*) dengan bentuk penampang bulat berongga (*Round Hollow*).

- Mutu beton tiang pancang K-600 (*concrete cube compressive strength is 600 kg/cm² at 28 days*).
- Tiang pancang yang direncanakan adalah menggunakan alternatif jenis tiang dengan spesifikasi sebagai berikut :

WIKA PILE CLASSIFICATION

Pile Diameter (mm)	Thick (mm)	Class	PC Wire		Area of Steel (cm ²)	Area of Concrete (cm ²)	Section Modulus (cm ³)	Effective Prestress (kg/cm ²)	Allowable Axial(T)	Bending Moment	
			D (mm)	Numb						Crack (tm)	Ult (tm)
600	100	A1	7	20	7.7	1570.8	17255.6	46	235.4	17	25.5

Sumber : Buku Daya Dukung Pondasi Dalam oleh Prof. Dr. Ir. Herman Wahyudi

7.3.2 Tahapan Perencanaan

1. Perhitungan gaya-gaya yang bekerja (axial, horizontal dan momen) akibat dari upper struktur.
2. Perhitungan daya dukung tanah dasar.
3. Perhitungan jumlah tiang dalam satu poer / kelompok.
4. Perencanaan Poer
5. Perencanaan Sloof.

7.4 DAYA DUKUNG TANAH

7.4.1 Daya Dukung Tiang Tunggal

Untuk menghitung daya dukung tiang pancang berdasarkan hasil uji CPT digunakan metode Philipponnat.

Daya dukung nominal total sebuah tiang pondasi :

$$Q_N = (Q_p)_s + (Q_s)_s$$

Dimana :

Q_N : Daya dukung nominal total sebuah tiang

$(Q_p)_s$: Daya dukung sebuah tiang akibat ujung tiang (ijin)

$(Q_s)_s$: Daya dukung sebuah tiang akibat selimut (*skin*) tiang (ijin)

Dengan :

$$(Q_p)_s = \frac{A \times q_p}{2}, \text{ dari unsur ujung tiang dengan angka keamanan } 2$$

$$(Q_s)_u = \frac{P}{2} \times \sum (f_{u_i} \cdot h_i), \text{ dari unsur lekatan dengan angka keamanan } 2$$

Unsur Ujung Tiang :

$$q_p = \alpha_p \times \bar{R}_p \text{ dengan } \bar{R}_p = \frac{1}{6B} \int_{z_p-3B}^{z_p+3B} R_p(z) dz$$

Dimana :

- R_p = rata-rata conus sepanjang 3B diatas hingga 3B dibawah pondasi
- Z_p = posisi ujung bawah tiang
- A = luas tiang bagian bawah
- P = keliling tiang
- B = diameter tiang
- a_p = koefisien jenis tanah
- f_{u_i} = Lekatan lateral batas dari lapisan i setebal h_i

Tabel koefisien α_p

Jenis Tanah	α_p
Lempung dan Kapur	0.50
Lanau	0.45
Pasir	0.40
Kerikil	0.35

Sumber : Daya Dukung Pondasi Dalam Oleh Prof. Dr. Ir. Herman Wahyudi

Unsur Lekatan (Frottement) :

$$f_{u_i} = \alpha_f \frac{R_p}{\alpha_s}$$

α_f = koefisien fungsi tanah

α_s = koefisien tipe tiang

Σh_i = kedalaman tiang (D)

Tabel koefisien α_s

Jenis Tanah	α_s
Lempung dan Kapur	50
Lanau, lempung berpasir	60
Pasir berlempung	
Pasir Lepas	100
Pasir Sedang	150
Pasir padat	
Kerikil	200

Sumber : Daya Dukung Pondasi Dalam Oleh Prof. Dr. Ir. Herman Wahyudi

Tabel koefisien α_f

Bahan Tiang	Tipe Tiang	α_f
Beton	Tiang dipancang	1.25
	Tiang dibor dan divibrasi	1.00
	Tiang diinjeksi	0.85
	Tiang dibor untuk $\text{Ø} \leq 1.50 \text{ m}$	
Baja	Tiang dibor dengan $\text{Ø} > 1.50 \text{ m}$	0.75
	Tiang Profil H	1.10
	Tiang Baja dipancang	0.60
	Tiang Baja terbuka dipasang dengan cara Benoto	0.30

Sumber: Daya Dukung Pondasi Dalam Oleh Prof. Dr. Ir. Herman Wahyudi

7.4.2 Daya Dukung Tiang Kelompok

Disaat sebuah tiang merupakan bagian dari sebuah group, daya dukungnya mengalami modifikasi, karena pengaruh dari group tiang tersebut. Dari problema ini, dapat dibedakan dua fenomena sebagai berikut :

- Pengaruh group disaat pelaksanaan pemancangan tiang-tiang
- Pengaruh group akibat sebuah beban yang bekerja

Pada kasus tiang dipancang dalam tanah kohesif dan jenuh air, kenaikan tegangan air pori dapat menurunkan shear resistance dari tanah disekitarnya hingga 15 sampai dengan 30 % (BROMS).

Untuk pulih ke kekuatan semula, memerlukan waktu yang bervariasi tergantung dari jenis tanah dan cara eksekusi tiang pondasinya. Beberapa variasi waktu tersebut adalah :

Type Tanah	Pasir padat	Lanau dan pasir Lepas jenuh air	Lempung
Type Pondasi			
Tiang dibor	1 bulan	1 bulan	1 bulan
Tiang pancang	8 hari	20 hari	1 bulan

Proses pemancangan dapat menurunkan kepadatan di sekeliling tiang untuk tanah yang padat. Namun untuk kondisi tanah didominasi oleh pasir lepas

atau dengan tingkat kepadatan sedang, pemancangan dapat menaikkan kepadatan disekitar tiang bila jarak antar tiang ≤ 7 s/d 8 diameter.

Untuk daya dukung batas, pengaruh dari sebuah group tiang pondasi tidak perlu diperhitungkan bila jarak as ke as antar tiang adalah ≥ 3 diameter. Sebaliknya, jarak minimum antar tiang dalam group adalah 2 s/d 2.5 diameter tiang.

Untuk kasus daya dukung group pondasi, harus dikoreksi terlebih dahulu dengan apa yang disebut dengan koefisien efisiensi C_e .

$$Q_{L(\text{group})} = Q_{L(1 \text{ tiang})} \times n \times C_e$$

dengan n = jumlah tiang dalam group

Untuk menghitung koefisien efisiensi C_e , digunakan cara Converse – Labarre

$$C_e = 1 - \frac{\text{arc tan} \left(\frac{\phi}{s} \right)}{90^\circ} \times \left(2 - \frac{1}{m} - \frac{1}{n} \right)$$

dimana:

- O : diameter tiang pondasi
- S : jarak as ke as antar tiang dalam group
- m : jumlah baris tiang dalam group
- n : jumlah kolom tiang dalam group

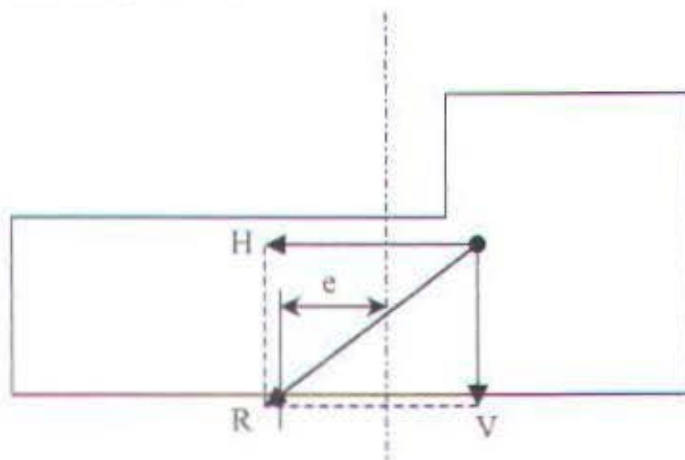
7.4.3 Repartisi Beban-Beban Diatas Tiang Kelompok

Bila diatas tiang-tiang dalam kelompok yang disatukan oleh sebuah kepala tiang (poer) bekerja beban-beban vertikal (V), horizontal (H), dan momen (M), maka besarnya beban vertikal ekivalen (P_v) yang bekerja pada sebuah tiang adalah :

$$P_v = \frac{V}{n} \pm \frac{M_y \cdot x_{\max}}{\sum x^2} \pm \frac{M_z \cdot y_{\max}}{\sum y^2}$$

dimana :

- P_v = Beban vertikal ekivalen
 V = Beban vertikal dari kolom
 n = banyaknya tiang dalam group
 M_x = momen terhadap sumbu x
 M_y = momen terhadap sumbu y
 x_{\max} = absis terjauh terhadap titik berat kelompok tiang
 y_{\max} = ordinat terjauh terhadap titik berat kelompok tiang
 $\sum x^2$ = jumlah dari kuadrat absis tiap tiang terhadap garis netral group
 $\sum y^2$ = jumlah dari kuadrat ordinat tiap tiang terhadap garis netral group
 nilai x dan y positif jika arahnya sama dengan arah e, dan negative bila berlawanan dengan arah e.



7.5 PERHITUNGAN TIANG PANCANG

Data-data perhitungan pondasi tiang pancang (data beban nominal):

$$P = 388597 \text{ kg}$$

$$M_x = 17309 \text{ kgm}$$

$$M_y = 8643 \text{ kgm}$$

$$H_x = 4370 \text{ kg}$$

$$H_y = 8425 \text{ kg}$$

7.5.1 Daya Dukung Tiang Pancang Tunggal

$$Q_N = (Q_p)_u + (Q_s)_u$$

dengan :

$$(Q_p)_s = \frac{A \times q_p}{2}, \text{ dari unsur ujung tiang dengan angka keamanan } 2$$

$$(Q_i)_s = \frac{P}{2} \times \sum (fu_i \cdot h_i), \text{ dari unsur lekatan dengan angka keamanan } 2$$

$$q_p = \alpha_p \times \bar{R}_p \text{ dengan } \bar{R}_p = \frac{1}{6B} \int_{-p-3B}^{p+3B} R_p(z) dz$$

$$fu = \alpha_f \frac{R_p}{\alpha_i}$$

dimana :

R_p = rata-rata conus sepanjang $3B$ diatas hingga $3B$ dibawah pondasi

Z_p = posisi ujung bawah tiang

$A = 0.25 \times \pi \times 60^2 = 2827.43 \text{ cm}^2$

$P = \pi \times 60 = 188.496 \text{ cm}$

$B = 60 \text{ cm}$

$\alpha_f = 1,25$ (tiang pancang dari beton)

Σhi = kedalaman tiang (D)

Diambil tiang pancang dengan kedalaman (D) 14 m dengan diameter (B) 60 cm

Dari perhitungan yang ditabelkan (terlampir), didapat nilai daya dukung satu tiang pancang dengan kedalaman 14 m dan diameter tiang 60 cm adalah $284608.7 \text{ kg} < P_{kolem} = 388597 \text{ kg}$. Jadi diperlukan pondasi tiang kelompok.

7.5.2 Daya Dukung Tiang Kelompok

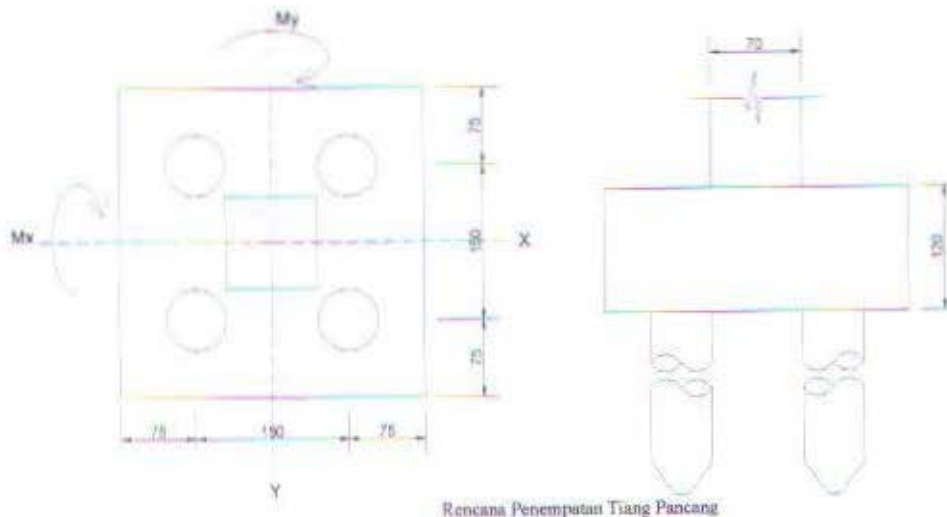
Dalam buku "Daya Dukung Pondasi Dalam" Oleh Prof. Dr. Ir. Herman Wahyudi BAB IX halaman 43, tertulis jarak minimum antar tiang dalam group (as ke as) adalah 2 s/d 2.5 diameter tiang dan harus ≤ 3 diameter tiang. Jika jarak dari as ke as tiang pancang ≥ 3 , maka pengaruh dari sebuah group tiang pondasi tidak perlu diperhitungkan. Berdasarkan hal tersebut, penulis merencanakan jarak dari as ke as tiang pancang, S adalah 150 cm.

$2B = 2 \times 60 = 120 \text{ cm}$ (jarak minimum) $< 150 \text{ cm}$ (jarak pakai)

$2.5B = 2.5 \times 60 = 150 \text{ cm}$ (jarak minimum) $\leq 150 \text{ cm}$ (jarak pakai)

$3B = 3 \times 60 = 180 \text{ cm}$ (jarak maksimum) $> 150 \text{ cm}$ (jarak pakai)

Jadi $S = 150 \text{ cm}$ memenuhi persyaratan diatas.



➤ Perhitungan Daya Dukung Tiang Kelompok

- *Perhitungan Koefisien Ce*

Dengan menggunakan perumusan Converse – Laberre :

$$\bullet \quad Ce = 1 - \frac{\text{arc tan} \left(\frac{\phi}{s} \right)}{90^\circ} \times \left(2 - \frac{1}{m} - \frac{1}{n} \right)$$

$$Ce = 1 - \frac{\text{arc tan} \left(\frac{50}{150} \right)}{90^\circ} \times \left(2 - \frac{1}{2} - \frac{1}{2} \right) = 0.795$$

$$Q_{L(\text{group})} = Q_{L(1 \text{ tiang})} \times n \times Ce$$

$$Q_{L(\text{group})} = 284608.7 \times 4 \times 0.795 = 905055.666 \text{ kg}$$

- *Perhitungan Beban Aksial Maksimum Pada Pondasi Kelompok*

$$\begin{aligned} \text{b. berat poer} &= 3 \times 3 \times 1.2 \times 2400 & = 25920.00 \text{ kg} \\ &\quad \text{Berat total} & = 414517 \text{ kg} \end{aligned}$$

$414517 \text{ kg} < 905055.666 \text{ kg } [Q_{L(\text{group})}] \dots \dots \dots \text{OK!}$

➤ Repartisi Beban Diatas Tiang Kelompok (Beban_{eq} 1 Tiang Pancang)

$$P_v = \frac{V}{n} \pm \frac{M_y \cdot x_{\max}}{\sum x^2} \pm \frac{M_z \cdot y_{\max}}{\sum y^2}$$

$$P_v = \frac{414517}{4} + \frac{8643 \times 0.75}{0.75^2} + \frac{17309 \times 0.75}{0.75^2} = 138231.9167 \text{ kg}$$

Jadi beban maksimum yang diterima oleh satu buah tiang pancang yang dikelompokkan dengan kepala poer adalah :

$$P_v = 138231.9167 \text{ kg} < Q_{ijin} = (284608.7 \text{ kg} \times 0.795) = 226263.9 \text{ kg}, \dots \dots \text{OK!}$$

$$P_v = 138231.9167 \text{ kg} < P_{ijin \text{ tiang}} = 235.40 \text{ ton} \dots \dots \text{OK!}$$

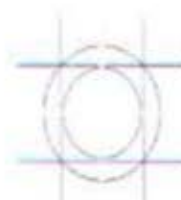
7.5.3 Kontrol Kekuatan Tiang Pondasi Terhadap Gaya Lateral

Agar tiang pancang mampu menerima beban lateral yang terjadi, maka kekuatan tiang pancang tersebut harus dikontrol terhadap beban lateral yang terjadi.

Dari spesifikasi data tiang pancang dan data beban lateral yang terjadi, didapatkan :

- Bending Momen (crack) = 17 tm
- Bending Momen (Ultimate) = 25.5 tm
- $H_x = 4370 \text{ kg}$
- $H_y = 8425 \text{ kg}$
- $L = 14 \text{ m}$
- $E_c = 4700 \sqrt{f'_c} = 4700 \sqrt{50} = 33234.019 \text{ MPa} = 332340.19 \text{ kg/cm}^2$

Section Name	PANCANG60	Section Name	PANCANG60
Properties:		Properties:	
<u>Section Properties:</u>	See Model	<u>Cross-section area:</u>	15700
Dimensions:		<u>Section modulus about Z axis:</u>	1711360
Outer diameter (D):	600	<u>Section modulus about Z axis:</u>	1711360
Wall thickness (t):	100	<u>Section modulus about Z axis:</u>	2533333
		<u>Moment of inertia about Z axis:</u>	5105449
		<u>Moment of inertia about Z axis:</u>	5105449
		<u>Plastic modulus about Z axis:</u>	2533333
		<u>Shear area in Z direction:</u>	3584
		<u>Radius of gyration about Z axis:</u>	186275
		<u>Shear area in Z direction:</u>	3584
		<u>Radius of gyration about Z axis:</u>	186275



Terzaghi dan Pack memberikan korelasi antara N (jumlah pukulan dalam SPT) dan Cu (*Cohesion Undrained*) untuk tanah berlempung (Cu dalam KPa) :

- Lempung Plastis, Cu = 12.5 N
- Lempung Berlanau, Cu = 10 N
- Lempung Berpasir, Cu = 6.7 N

Dari data boring No 1, didapatkan nilai N dan Cu :

Depth (m)	Soil Description	Jumlah Pukulan (N)	Cu (KPa)	Cu_{net}^2 (KPa)	Cu_{net}^2 (kg/cm ²)
3	LL	3	30	72.3	0.723
6	LL	2	20		
9	LL	1	10		
12	LP	25	167.5		
15	LP	20	134		
LL = Lempung Lanau		$\Sigma = 361.5$			
LP = Lempung Pasir					

Dengan menggunakan perumusan dari NAVFAC DM – 7 , maka bisa didapatkan nilai momen maksimum dan defleksi maksimum yang terjadi pada tiang pancang akibat beban horizontal yang bekerja.

Untuk Tiang pancang yang disatukan dengan kepala tiang (poer) pada permukaan tanah, maka digunakan kasus II Figure 13-3, *Design Procedure For Laterally Loaded Piles hal 7-13-15* (terlampir), Navfac DM-7.

PERHITUNGAN :

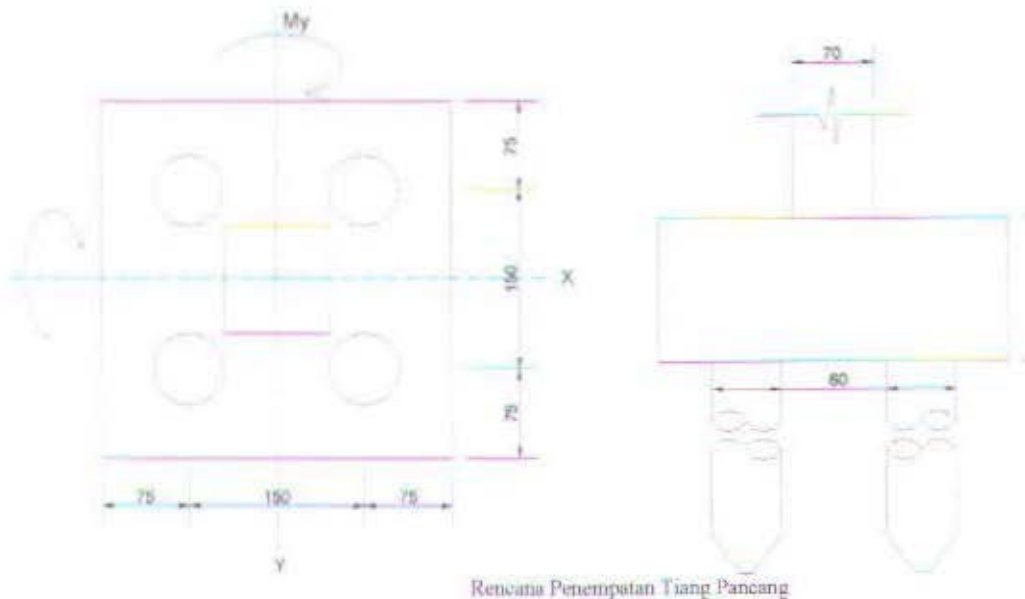
$$C_u = 0.723 \text{ kg/cm}^2$$

$$q_u = 2 \times C_u = 1.446 \text{ kg/cm}^2$$

$$= 1.412 \text{ ton/ft}^2 \quad (\text{ton/ft}^2 = 0.977 \text{ kg/cm}^2)$$

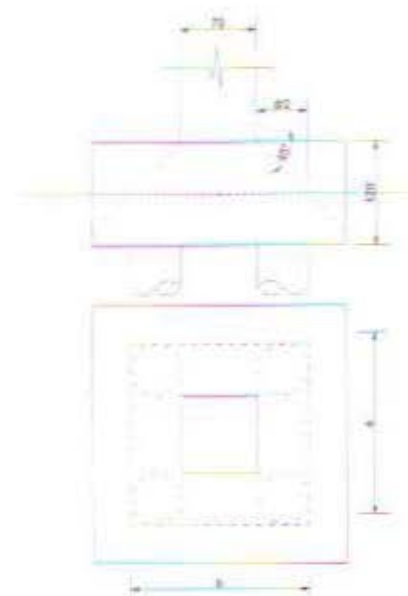
Dari figure 11-8 Navfac DM-7 didapat nilai :

$$f = 17 \text{ ton/ft}^3$$



7.5.4.2 Kontrol Geser Ponds

Pada pelat atau pondasi telapak, kuat geser terhadap beban terpusat ditentukan oleh kondisi aksi balok dan aksi dua arah. Perencanaan pondasi tersebut harus memenuhi ketentuan pasal 3.4.11 butir 1-2 SK SNI T-15-1991-03, yaitu aksi dua arah dari pondasi telapak, dengan suatu penampang kritis yang tegak lurus terhadap bidang pelat dan terletak sedemikian hingga perimeter, h_o penampang adalah minimum, tetapi tidak perlu lebih dekat dari $d/2$ terhadap perimeter beban terpusat atau daerah reaksi.



Dalam merencanakan tebal poer harus dipenuhi persyaratan bahwa kekuatan gaya geser nominal beton harus lebih besar dari geser pons yang terjadi. Hal ini ditegaskan pada SK SNI T-15-1991-03 pasal 3.4.11 butir 2-1. Kuat geser yang disumbangkan beton dirumuskan sebagai berikut :

$$\phi V_c = \phi \left(1 + \frac{2}{\beta c} \right) \left(\frac{\sqrt{f'_c}}{6} \right) \times b_o \times d \quad \text{pers 3.4-36 SK SNI T-15-1991-03}$$

tetapi tidak boleh kurang dari :

$$\phi V_c = \phi \times \frac{1}{2} \times \sqrt{f'_c} \times b_o \times d$$

dimana :

βc = rasio dari sisi panjang terhadap sisi pendek beton dari daerah beban terpusat atau reaksi

$$= \frac{700}{700} = 1$$

b_o = keliling dari penampang kritis pada poer

- Keliling penampang kritis

$$bo = 2(b_k + d) + 2(h_k + d)$$

dimana : b_k = lebar penampang kolom

h_k = tinggi penampang kolom

d = tebal efektif poer

$$bo = 2(700 + 1134) + 2(900 + 71134) = 7336 \text{ mm}$$

- Batas geser pons

$$\phi Vc = 0.6 \left(1 + \frac{2}{1}\right) \left(\frac{\sqrt{30}}{6}\right) \times 7336 \times 1134 = 13669551.3 \text{ N} = 1366.9 \text{ ton}$$

$$\Phi Vc = 0.6 \times \frac{1}{3} \sqrt{30} \times 7336 \times 1134 = 9113034.2 \text{ N} = 911.3 \text{ ton}$$

$$Pu = 613.5 \text{ ton} < \Phi Vc = 911.3 \text{ ton}$$

Jadi ketebalan dan ukuran poer memenuhi syarat terhadap geser ponds

7.5.4.3 Penulangan poer

Penulangan lentur

Pada penulangan lentur, poer dianalisa sebagai balok kantilever dengan perletakan jepit pada kolom. Beban yang bekerja adalah beban terpusat dari tiang (gaya perlawanan tanah) sebesar P dan berat sendiri poer sebesar q . Perhitungan gaya dalam pada poer didapat dengan teori mekanika statis tertentu.

Perhitungan :

$$q_0 = [2400 \times (3/2) \times 1.2] \times 1.2 = 5184 \text{ kg/m}$$

$$P_u = Q_{t,(1 \text{ tiang})} \times SF$$

$$= (284608.7 \times 0.795) \times 2 = 569217.4 \text{ kg}$$

$$Mu = [569217.4 \times (0.75)] - [\frac{1}{2} \times 5184 \times 1.5^2]$$

$$= 421081.05 \text{ kgm} = 421081.05 \times 10^4 \text{ Nmm}$$

Penulangan lentur arah x

$$\frac{Mu}{b \times d^2 \times f'c} = \frac{421081.05 \times 10^4}{(3000/2) \times 1134^2 \times 29.18} = 0.0748$$

Dengan menggunakan tabel momen berfaktor penampang persegi untuk tulangan rangkap $\delta = 0.5$, didapatkan nilai $\omega = 0.103$

$$\rho = \omega \times f_c / f_y$$

$$\rho = 0.103 \times 29.18 / 370 = 0.008123 > \rho_{\min} \dots \dots \dots \text{OK!}$$

$$\rho_{\min} = \frac{1,4}{370} = 0,0038$$

$$As_{\text{perlu}} = \rho \cdot b \cdot d$$

$$= 0,008123 \times 1500 \times 1134 = 13817,223 \text{ mm}^2$$

Digunakan tulangan lentur D32 – 80 ($As = 14476,46 \text{ mm}^2$) arah lebar 1,5 m

Untuk tulangan atas (tekan), As' :

$$As' = 0,5 As$$

$$As' = 0,5 \times 13817,223 = 6908,6115 \text{ mm}^2$$

Digunakan tulangan lentur D25 – 100 ($As' = 7363,108 \text{ mm}^2$) arah lebar 1,5 m

Penulangan lentur arah y

$$\frac{Mu}{b \times d^2 \times f'c} = \frac{421081,05 \times 10^3}{(3000/2) \times 1102^2 \times 29,18} = 0,0792$$

Dengan menggunakan tabel momen berfaktor penampang persegi untuk tulangan rangkap $\delta = 0.5$, didapatkan nilai $\omega = 0.109$

$$\rho = \omega \times f'_c / f_y$$

$$\rho = 0,109 \times 29,18 / 370 = 0,0086 > \rho_{\min} \dots \dots \dots \text{OK!}$$

$$\rho_{\min} = \frac{1,4}{370} = 0,0038$$

$$As_{\text{perlu}} = \rho \cdot b \cdot d$$

$$= 0,0086 \times 1500 \times 1102 = 14215,8 \text{ mm}^2$$

Digunakan tulangan lentur D32 – 80 ($As = 14476,46 \text{ mm}^2$) arah lebar 1,5 m

Untuk tulangan atas (tekan), As' :

$$As' = 0,5 As$$

$$As' = 0,5 \times 14215,8 = 7107,9 \text{ mm}^2$$

Digunakan tulangan lentur D25 – 100 ($As' = 7363,108 \text{ mm}^2$) arah lebar 1,5 m

$$f_r = 0.7 \times \sqrt{30} = 3.7813 \text{ MPa}$$

$$f_{r, \text{ada}} = \frac{10\% \times P_u}{b \times h} = \frac{0.1 \times 6134890}{450 \times 600} = 2.2 \text{ MPa} < f_r = 3.7813 \text{ MPa} \dots \text{OK!}$$

7.5.5.2 Penulangan Sloof

Kombinasi Lentur dan Aksial Tarik :

- Beban akibat lentur :

$$\text{- Berat sloof} = 0.45 \times 0.6 \times 2400 = 648.00 \text{ kg/m}$$

$$\text{- Berat dinding} = 5 \times 250 \times 0.75 = 937.50 \text{ kg/m}$$

$$q_{ult} = 1.4 \times (648 + 937.5) = 2219.70 \text{ kg/m}$$

$$M_u = \frac{1}{8} \times q_{ult} \times L^2$$

$$= \frac{1}{8} \times 2219.7 \times 8^2$$

$$= 17757.6 \text{ kgm}$$

$$\frac{Mu}{b \times d^2 \times f'c} = \frac{17757.6 \times 10^4}{(450) \times 547.5^2 \times 30} = 0.044$$

Dengan menggunakan tabel momen berfaktor penampang persegi untuk tulangan rangkap $\delta = 0.5$, didapatkan nilai $\omega = 0.059$

$$\rho = \omega \times f'_c / f_y$$

$$\rho = 0.059 \times 30 / 400 = 0.004425$$

$$\rho_{max} = \frac{1.4}{370} = 0.0038$$

$$As_{perlu} = \rho \cdot b \cdot d$$

$$= 0.004425 \times 450 \times 547.5 = 1090.2 \text{ mm}^2$$

Dipasang tulangan lentur 2 D32 ($As = 1607.68 \text{ mm}^2$)

Untuk tulangan atas (tekan), As' :

$$As' = 0.5 As$$

$$As' = 0.5 \times 1607.68 = 803.84 \text{ mm}^2$$

Digunakan tulangan 2 D32 ($As' = 1607.68 \text{ mm}^2$)

- Beban akibat aksial :

Beban Aksial yang dipikul oleh slot = $10\% \times P_{u \text{ kolom}} = 613489 \text{ N}$

$$A_s = P_u / f_y = 613489 / 400 = 1533.7 \text{ mm}^2$$

- Kombinasi Beban Aksial dan Momen Lentur :

$$A_s = 1090.2 + 1533.7 = 2623.9 \text{ mm}^2$$

Dipasang tulangan 4 D32 ($A_s = 3215.36 \text{ mm}^2$)

Kombinasi Lentur dan Aksial Tekan :

$$M_u = 17757.6 \times 10^4 \text{ Nmm}$$

$$P_u = 10\% \times P_{u \text{ kolom}} = 613489 \text{ N}$$

Dari analisa dengan program bantu PCACCI didapat :

$$\rho = 1.89\%$$

$$A_s = 5096.76 \text{ mm}^2$$

Dipakai tulangan 10 D25

Penulangan Geser

Geser yang terjadi :

$$V_u = \frac{1}{2} \times q_u \times L$$

$$= \frac{1}{2} \times 2219.70 \text{ kg/m} \times 8 = 88788 \text{ N}$$

$$V_{c \text{ max}} = \phi \cdot \gamma \cdot \sqrt{f'_c} \cdot b \cdot d$$

$$= 0.6 \times \gamma \times \sqrt{30} \times 450 \times 544 = 523240.20 \text{ N} > V_u$$

$$\phi V_c = \phi \cdot \gamma \cdot \sqrt{f'_c} \cdot b \cdot d \left(1 + \frac{P_u}{14 \cdot A_g} \right)$$

$$= 0.6 \times \gamma \times \sqrt{30} \times 450 \times 544 \left(1 + \frac{613489}{14 \times 450 \times 600} \right) = 155843.8 \text{ N} > V_u$$

Dipasang tulangan praktis Ø 10 – 200

DAFTAR PUSTAKA

DAFTAR PUSTAKA

1. Departemen Pekerjaan Umum. 1991, SKSNI T – 15 – 1991 – 03, **Tata cara Perhitungan Struktur Beton Untuk Bangunan Gedung**, Penerbit Yayasan LPMB Bandung.
2. Departemen Pekerjaan Umum 1983, **Buku Pedoman Perencanaan Struktur Beton Bertulang Biasa dan Struktur Tembok Bertulang Untuk Gedung**, Penerbit Direktorat Jendral Cipta Karya, Bandung.
3. Departemen Pekerjaan Umum, 1971, **Peraturan Beton Bertulang Indonesia N.I – 2**, Penerbit Direktorat Jendral Cipta Karya.
4. Departemen Pekerjaan Umum, 1987, **Pedoman Perencanaan Ketahanan Gempa Untuk Rumah dan Gedung**, Penerbit Yayasan Badan Penerbit PU.
5. Departemen Pekerjaan Umum, 1983, **Peraturan Pembebatan Indonesia Untuk Gedung**, Penerbit Direktorat Jenderal Cipta Karya, Bandung.
6. Chu-Kia Wang, Charles G. Salmon, 1990, **Desain Beton Bertulang**, Penerbit Erlangga, Jakarta.
7. Jurusan Teknik Sipil ITS 1997, **Tabel, Grafik, dan Diagram Interaksi Untuk Perhitungan Konstruksi Beton Berdasarkan SNI 1993**.
8. W. C. Vis, Gideon Kusuma, 1994, **Dasar – Dasar Perencanaan Beton Bertulang**, Penerbit Erlangga, Jakarta.
9. Istimawan Dipohusodo, 1993, **Struktur Beton Bertulang Berdasarkan SKSNI T 15 – 1991 – 03**, Badan Penelitian dan Pengembangan PU.
10. Gideon Kusuma, Takim Andriono, **Desain Struktur Rangka Beton Bertulang di Daerah Rawan Gempa Berdasarkan SKSNI T – 15 – 1991 – 03**, Penerbit Erlangga, Jakarta.
11. PCI, Fourth Edition, **PCI Design Handbook Precast and Prestressed Concrete**, PCI Industry Handbook Committee, Chicago.
12. A.S.G. Bruggeling, G.F. Huyghe, 1991, **Prefabrication With Concrete**, A. A. Balkema Brookfield Rotterdam.

13. J. E. Bowles, 1982, **Foundation Analysis and Design**, International Student Edition.
14. Herman Wahyudi, 1993, **Daya Dukung Tiang Pondasi Berdasarkan Hasil Beberapa Percobaan Penetrasi, Pressiometer dan Aplikasinya**, Teknik Sipil, ITS.
15. UBC, Uniform Building Code, 1997

LAMPIRAN

Ciptaan Surya
Penerjemah

Tipe Pelat		q _u (kg/m)	M _u (Nmm)	w ₁	w ₂	p	P _{min}	A _{s perlu} (mm ²)	Tulangan	A _{s ter} (n)
Lantai	4.5 x 4	Lapangan	1185.2	15200000	0.032	0.041	0.003075	0.0018	384.4	D10 -200
		Tumpuan	1185.2	18666000	0.039	0.051	0.0038	0.0018	479	D10 -150
	4 x 4	Lapangan	1185.2	13510000	0.029	0.037	0.0028	0.0018	350	D10 -200
		Tumpuan	1185.2	16590000	0.035	0.045	0.0034	0.0018	425	D10 -150
Atap	4.5 x 4	Lapangan	868.6	11130000	0.024	0.031	0.0023	0.0018	287.5	D10 -200
		Tumpuan	868.6	13680000	0.029	0.037	0.0028	0.0018	350	D10 -150
	4 x 4	Lapangan	868.6	9900000	0.021	0.027	0.002	0.0018	250	D10 -200
		Tumpuan	868.6	12150000	0.026	0.029	0.0021	0.0018	262.5	D10 -150

hitungan tulangan lentur tangga :

		Qu (kg/m)	Mu (Nmm)	ω_1	ω_2	ρ	$\rho_{\text{ho min}}$	As	Tulangan	As ada	
angga	2 m	Anak tangga	2547.2	5.908E+07	0.054548015	0.065	0.004875	0.0018	926.25	D13-125	1062
		Bordes	1910.2	5.680E+07	0.13147662	0.182	0.01365	0.0018	1638	D13-75	1770
	1.75 m	Anak tangga	2547.2	4.845E+07	0.045993062	0.058	0.00435	0.0018	826.5	D13-125	1062
		Bordes	1910.2	3.802E+07	0.036096423	0.046	0.00345	0.0018	414	D13-75	785

1 perhitungan penulangan lentur pada balok anak lantai :

enis	Dimensi Balok Anak			Dim. Pelat		Bata (kg/m)	q_D balok (kg/m ²)	q_D pelat (kg/m ²)	q_D ek (kg/m ²)	q_L pelat (kg/m ²)	q_L ek (kg/m ²)	q_{ut} (kg/m)	M_U (kgm)	M (kg)
	b (m)	h (m)	L (m)	Lx (m)	Ly (m)									
elum	0.3	0.27	4.5	4	4.5	-	180	543	1600	-	-	2492.00	0	630
posit	0.3	0.27	4	4	4	-	180	543	1448	-	-	2279.20	0	455
udah	0.3	0.4	4.5	4	4.5	1000	288	543	1600	250	736.626	5295.394	11279.87	778
posit	0.3	0.4	4	4	4	1000	288	543	1448	250	666.667	4963.733	10573.17	723

ngan di Lapangan

enis	Dimensi Balok Anak					Dim. Pelat		Deck (mm)	ϕ tul	d (mm)	ω_1	ω_2	ρ min	ρ perlu	ρ max	(mm)
	b (mm)	h (mm)	L (mm)	Lx (mm)	Ly (mm)											
elum	300	270	4500	4000	4500	30	18	201	0.1735	0.234	0.0035	0.01755	0.024	10	10	
posit	300	270	4000	4000	4000	30	18	211	0.1138	0.161	0.0035	0.012075	0.024	76	76	
udah	300	400	4500	4000	4500	30	18	351	0.07	0.097	0.0035	0.007275	0.024	76	76	
posit	300	400	4000	4000	4000	30	18	351	0.0656	0.091	0.0035	0.006825	0.024	76	76	

ngan di Tumpuan

enis	Dimensi Balok Anak					Dim. Pelat		Deck (mm)	ϕ tul	d (mm)	ω_1	ω_2	ρ min	ρ perlu	ρ max	(mm)
	b (mm)	h (mm)	L (mm)	Lx (mm)	Ly (mm)											
udah	300	400	4500	4000	4500	30	18	351	0.1017	0.14	0.0035	0.0105	0.024	11	11	
posit	300	400	4000	4000	4000	30	18	351	0.0954	0.131	0.0035	0.009825	0.024	10	10	

20

AUTO SEISMIC SURVEY

Dear USER,

AUTO SEISMIC INPUT DATA

Dimensions: 8 x 8x8
Typical Eccentricity = 34
Eccentricity Override = 30

Period Calculation: Program Calculated
 $C_s = 0.485$ (in feet/units)

Top Story: STORY1

Bottom Story: BASE

$E = 30.0$

$I = 1$

$m = 25,000$ (Millions Kilograms)

Steel Profile Type = BL

$I_x = 0.12$

$C_w = 0.2500$

$C_y = 0.4000$

AUTO SEISMIC CALCULATION FORMULAS

$T_a = C_s / (m \cdot (2\pi))$

If $E >= 0.35$ (Zone 4) then: If $T_{etabs} <= 1.30 T_a$ then $T = T_{etabs}$; else $T = T_a$
If $E < 0.35$ (Zone 1, 2 or 3) then: If $T_{etabs} <= 1.10 T_a$ then $T = T_{etabs}$, else $T = T_a$

$V = (C_y \cdot I \cdot W) / (A \cdot I)$

(Eqn. 1)

$V <= 0.25 C_w \cdot I \cdot W / R$

(Eqn. 2)

$V >= 0.15 C_w \cdot I \cdot W$

(Eqn. 3)

If $T <= 0.7$ sec, then $F_t = 0$

If $T > 0.7$ sec, then $F_t = 0.45 \cdot T \cdot V - 0.25 \cdot V$

AUTO SEISMIC CALCULATION RESULTS

$T_a = 1.05$ sec
 $T_{Used} = 0.25$ sec
 $T_{Used} = 13353155.1$

V (Eqn. 1) = 0.03208
 V (Eqn. 2) = 0.157708
 V (Eqn. 3) = 0.1500008
 V (Eqn. 4) = 0.000008

$V_{Used} = 0.073588 = 1345698.208$

$F_t_{Used} = 33527.3$

AUTO SEISMIC FORCE FORCES

STORY	X	Y	Z	DX	DY	DZ
STORY1	(Forces reported at X = 28.0000, Y = 16.1693, Z = 35.0000) 150739.00	0.00	0.00	0.000	0.000	-134606.00)
STORY2	(Forces reported at X = 28.0000, Y = 16.1553, Z = 32.0000) 1506314.00	0.00	0.00	0.000	0.000	-165942.53)
STORY3	(Forces reported at X = 28.0000, Y = 16.3159, Z = 28.0000) 150565.22	0.00	0.00	0.000	0.000	-152904.30)
STORY4	(Forces reported at X = 28.0000, Y = 16.3159, Z = 25.0000) 150629.12	0.00	0.00	0.000	0.000	-134126.84)
STORY5	(Forces reported at X = 28.0000, Y = 16.3159, Z = 21.0000)					

	72093.07	0.00	0.00	0.000	0.000	-115348.913
STORY5	(Forces reported at X = 28.5000, Y = 16.3159, Z = 18.0000)					
	60356.99	0.00	0.00	0.000	0.000	-96571.183
STORY4	(Forces reported at X = 28.5000, Y = 16.0000, Z = 14.5000)					
	92189.28	0.00	0.00	0.000	0.000	-147502.802
STORY3	(Forces reported at X = 28.5000, Y = 16.0000, Z = 11.0000)					
	72095.80	0.00	0.00	0.000	0.000	-115353.277
STORY2	(Forces reported at X = 28.5000, Y = 16.0000, Z = 7.5000)					
	48677.46	0.00	0.00	0.000	0.000	-77883.940
STORY1	(Forces reported at X = 28.5000, Y = 18.6708, Z = 4.0000)					
	20905.64	0.00	0.00	0.000	0.000	-18712.921

AUTO SEISMIC DIAPHRAGM FORCES

STORY	DIAPHRAGM	FX	FY	FZ	MX	MY	MZ
STORY10	D1	(Forces reported at X = 28.5000, Y = 16.7693, Z = 35.5000)					
		124891.31	0.00	0.00	0.000	0.000	-199026.101
STORY9	D1	(Forces reported at X = 28.5000, Y = 16.1553, Z = 32.0000)					
		106214.09	0.00	0.00	0.000	0.000	-169942.551
STORY8	D1	(Forces reported at X = 28.5000, Y = 16.3159, Z = 28.5000)					
		95565.23	0.00	0.00	0.000	0.000	-152904.373
STORY7	D1	(Forces reported at X = 28.5000, Y = 16.3159, Z = 25.0000)					
		83829.15	0.00	0.00	0.000	0.000	-134126.643
STORY6	D1	(Forces reported at X = 28.5000, Y = 16.3159, Z = 21.5000)					
		72093.07	0.00	0.00	0.000	0.000	-115348.913
STORY5	D1	(Forces reported at X = 28.5000, Y = 16.3159, Z = 18.0000)					
		60356.99	0.00	0.00	0.000	0.000	-96571.183
STORY4	D1	(Forces reported at X = 28.5000, Y = 16.0000, Z = 14.5000)					
		92189.28	0.00	0.00	0.000	0.000	-147502.802
STORY3	D1	(Forces reported at X = 28.5000, Y = 16.0000, Z = 11.0000)					
		72095.80	0.00	0.00	0.000	0.000	-115353.277
STORY2	D1	(Forces reported at X = 28.5000, Y = 16.0000, Z = 7.5000)					
		48677.46	0.00	0.00	0.000	0.000	-77883.940
STORY1	D1	(Forces reported at X = 28.5000, Y = 18.6708, Z = 4.0000)					
		20045.88	0.00	0.00	0.000	0.000	-32073.406

ETABS v6.00 File: ETAB111111REV11 Rft=Units PAGE 1
January 15, 2004 10:00

STORY DATA

STORY	SIMILAR TO	WEIGHT	ELEVATION
STORY0	Rise	3,000	30.500
STORY1	STORY0	3,000	32.200
STORY2	STORY1	3,000	33.500
STORY3	STORY2	3,000	35.500
STORY4	STORY3	3,000	37.500
STORY5	STORY4	3,000	39.000
STORY6	STORY5	3,000	41.500
STORY7	STORY6	3,000	43.500
STORY8	STORY7	3,000	45.500
STORY9	STORY8	3,000	47.500
STORY10	STORY9	3,000	49.500
STORY11	STORY10	3,000	51.500
STORY12	STORY11	3,000	53.500
STORY13	STORY12	3,000	55.500
STORY14	STORY13	3,000	57.500
STORY15	STORY14	3,000	59.500
STORY16	STORY15	3,000	61.500
STORY17	STORY16	3,000	63.500
STORY18	STORY17	3,000	65.500
STORY19	STORY18	3,000	67.500
STORY20	STORY19	3,000	69.500
BASE	Rise	3,000	71.500

ETABS v6.00 File: ETAB111111REV11 Rft=Units PAGE 2
January 15, 2004 10:00

ED

MASSE: EQUILIBRIUM DATA

MASS LATERAL UNP MASS
FROM SPSS ONLY AT STORED

Loads YES TBC

MASSE: SOURCE LOAD ADD

LOAD MULTIPLIER

MATT 5,1933
MHTUP 5,3986

ETABS v6.00 File: ETAB111111REV11 Rft=Units PAGE 3
January 15, 2004 10:00

ED

DATA FOR MASE: MASE DATA

STORY	DIMENSION	1968-8	1985-7	PERI	X-M	T-M
STORY0	00	96325.1443	96325.1443	12032232	28,500	16,763
STORY1	00	95541.0928	95541.0928	14264406	28,500	16,316
STORY2	00	95406.2438	95406.2438	16492136	28,500	16,316
STORY3	00	95406.2430	95406.2430	16492136	28,500	16,316
STORY4	00	95406.2420	95406.2420	16492136	28,500	16,316
STORY5	00	161341.0712	161341.0712	61763288	28,500	16,000
STORY6	00	165840.0031	165840.0031	65230151	28,500	16,000
STORY7	00	165314.0488	165314.0488	61002355	28,500	16,000
STORY8	00	127646.7777	127646.7777	57051797	28,500	16,671

ETABS v6.00 File: ETAB111111REV11 Rft=Units PAGE 4
January 15, 2004 10:00

ED

MATERIAL PROPERTY DATA

MATERIAL NAME	MATERIAL TYPE	DESIGN TYPE	MATERIAL DES/PLATE	MODULUS OF ELASTICITY	POISSON'S RATIO	TERMAL COEFF	SHEAR MODULUS
CONC	Concrete	Concrete	All	2931000000	0.2000	9.5000E-06	1014583333

MATERIAL PROPERTY MADE AND WEIGHT

CONCRETE BEAM DATA

BEAM SECTION NAME	TOP COVER	BOT COVER	TOP LEFT AREA	TOP RIGHT AREA	BOT LEFT AREA	BOT RIGHT AREA
ETAB4-4-L	0.0760	0.0200	0.000	0.000	0.000	0.000
ETAB5	0.0600	0.0000	0.000	0.000	0.000	0.000

ETABS v8.0.0 File: ETABSTATS1A.RWV131 Net-m Units PAGE 7
January 15, 2004 10:08

20

EQUILIBRATION CASES

TYPE	CASE	ADDO. LOAD	SCALE WT.	MULTIPLIER
ATTI	DEAD	N/A	1.0000	
EDDF	LIVE	N/A	0.0000	
EDDFN	WIND	None	0.0000	
EDDGA	GRAVE	10000	0.0000	

ETABS v8.0.0 File: ETABSTATS1A.RWV131 Net-m Units PAGE 8
January 15, 2004 10:08

20

RESPONSE SPECTRUM CASES

RESP SPEC CASE: SPEC4

BASIC RESPONSE SPECTRUM DATA

MODAL COMBO	DIRECTION COMBO	MODAL DAMPING	SPECTRUM ANGLE
CGC	FREE	0.0500	0.0000

RESPONSE SPECTRUM FUNCTION RESTRAINT DATA

DIRECTION	FUNCTION	SCALE FACT
U1	ASCE	0.0100

ETABS v8.0.0 File: ETABSTATS1A.RWV131 Net-m Units PAGE 9
January 15, 2004 10:08

20

LOAD TIME COMBINATIONS

COMBO	COMBO TYPE	CASE	CASE TYPE	SCALE
COMB1	ADD	MATT	Static	1.4000
		EDDF	Static	1.7000
COMB2	ADD	MATT	Static	1.0500
		EDDF	Static	1.2750
		ANGIN	Static	1.2750
COMB3	ADD	MATT	Static	0.9000
		ANGIN	Static	1.3000
COMB4	ADD	MATT	Static	1.1000
		SPEC4	Spectra	1.4300
COMB5	ADD	MATT	Static	1.2500
		EDDF	Static	1.2750
		SPEC4	Spectra	1.4025

MATERIAL NAME	MASS PER UNIT VOL	WEIGHT PER UNIT VOL
COCO	2.4483E+01	2.4483E+01

MATERIAL SECTION DATA FOR CONCRETE MATERIALS

MATERIAL NAME	LINEAR WEIGHT CONCRETE PC	REBAR PT	REBAR SYS	LIGHTW. HEDG. FACT.
COCO	3069149.000	4078448	4078448	1.00

STAB v9.05 FILE: ETABSSTATICALANALYST Date: Units: PAGE: 6
January 19, 2004 10:00

10

FRAME SECTION PROPERTY DATA

FRAME SECTION NAME	MATERIAL NAME	SECTION NAME OR NAME IN SECTION DATABASE FILE	CSC COL	CONC BEAM
COLUMN	COCO	Rectangular	Yes	
BALCONY-4.5	CONC	Rectangular	Yes	
BALCONY	CONC	Rectangular	Yes	

FRAME SECTION PROPERTY DATA

FRAME SECTION NAME	SECTION DEPTH	FLANGE WIDTH TOP	FLANGE THICK TOP	WEB THICK	FLANGE WIDTH BOT	FLANGE THICK BOT
COLUMN	9.7000	0.7000	0.0000	0.0000	0.2000	0.0000
BALCONY-4.5	9.4000	0.4000	0.0000	0.0000	0.1000	0.0000
BALCONY	9.8000	0.4000	0.0000	0.0000	0.0000	0.0000

FRAME SECTION PROPERTY DATA

FRAME SECTION NAME	SECTION AREA	TOORELONAL CONSTANT	MOMENTS OF INERTIA I33	I22	SHEAR AREAS A2	A3
COLUMN	0.4900	5.0338	0.0200	0.0200	0.4083	0.4083
BALCONY-4.5	0.44400	5.05875	0.0072	0.0052	0.2000	0.2000
BALCONY	0.2400	0.0073	0.0072	0.0032	0.2000	0.2000

FRAME SECTION PROPERTY DATA

FRAME SECTION NAME	SECTION MODULI S33	SECTION MODULI S22	PLASTIC MODULI I33	I22	RADIUS OF CURVATURE R33	R22
COLUMN	0.0077	0.0072	0.0056	0.0056	0.2021	0.2021
BALCONY-4.5	0.0040	0.0160	0.0360	0.0240	0.1732	0.1732
BALCONY	0.0147	0.0160	0.0060	0.0040	0.1732	0.1732

FRAME SECTION WEIGHTS AND MASSES

FRAME SECTION NAME	TOTAL WEIGHT	TOTAL MASS
COLUMN	1183708.222511.7734	
BALCONY-4.5	5117428.113577.1494	
BALCONY	1063339.189912.7598	

CONCRETE COLUMN DATA

FRAME SECTION NAME	JACKET CONFIGURATION LENGTH	LATERAL	REINF SIZE/TYPE	NUM BARS C200/C250	NUM BARS CIRCULAR	BAR COVER
COLUMN	Rectangular	Ties	200/Devision	4/4	N/A	0.0000

I Penulangan Lentur Balok Induk Sesudah Komposit Lantai 1

Dim. Balok Induk			Lapangan								Tumpuan									
b (m)	h (m)	L (m)	Mu (kgm)	d (mm)	Mu/bd ² /c	m	p	pmin	As perlu	Dtul (mm)	Tul	Mu (kgm)	d (mm)	Mu/bd ² /c	w	p	pmin	As perlu	Dtul	Tul. Pasang
0.4	0.6	8	23302.66	564	0.06104722	0.082	0.00616	0.0035	1387.44	32	2	37058.654	564	0.0870846	0.123	0.00975	0.0035	2250.36	32	3
0.4	0.6	4.5	10680.37	564	0.02800614	0.036	0.0027	0.0035	789.6	32	2	72965	564	0.1911504	0.261	0.019575	0.0035	4418.12	32	5
0.4	0.6	4	2629.377	564	0.00600754	0.0085	0.0006375	0.0035	789.6	32	2	66085	564	0.176366	0.234	0.01755	0.0035	3669.28	32	5

II Penulangan Lentur Balok Induk Sesudah Komposit Lantai 2

Dim. Balok Induk			Lapangan								Tumpuan									
b (m)	h (m)	L (m)	Mu (kgm)	d (mm)	Mu/bd ² /c	m	p	pmin	As perlu	Dtul (mm)	Tul. Pasang	Mu (kgm)	d (mm)	Mu/bd ² /c	w	p	pmin	As perlu	Dtul	Tul. Pasang
0.4	0.6	8	21094.22	564	0.0553	0.074	0.00555	0.0035	1252.08	32	2	35043	564	0.0918	0.123	0.009225	0.0035	2081.16	32	3
0.4	0.6	4.5	8005.867	564	0.0210	0.026	0.00195	0.0035	789.6	32	2	64551.5	564	0.1691	0.232	0.0174	0.0035	3925.44	32	5
0.4	0.6	4	3737.055	564	0.00979	0.012	0.0009	0.0035	789.6	32	2	70538	564	0.1848	0.233	0.018975	0.0035	4280.76	32	6

III Penulangan Lentur Balok Induk Sesudah Komposit Lantai 3

Dim. Balok Induk			Lapangan								Tumpuan									
b (m)	h (m)	L (m)	Mu (kgm)	d (mm)	Mu/bd ² /c	m	p	pmin	As perlu	Dtul (mm)	Tul. Pasang	Mu (kgm)	d (mm)	Mu/bd ² /c	w	p	pmin	As perlu	Dtul	Tul. Pasang
0.4	0.6	8	22928.2	564	0.08007	0.058	0.00435	0.0035	981.36	32	2	33403.48	564	0.0675	0.12	0.009	0.0035	2030.4	32	3
0.4	0.6	4.5	7440.35	564	0.01949	0.0245	0.0018375	0.0035	789.6	32	2	80956	564	0.1597	0.218	0.01635	0.0035	3688.56	32	5
0.4	0.6	4	3435.81	564	0.009	0.011	0.000825	0.0035	789.6	32	2	67190	564	0.1780	0.242	0.01815	0.0035	4094.64	32	6

I Penulangan Lentur Balok Induk Sesudah Komposit Lantai 4

Dim. Balok Induk			Lapangan								Tumpuan									
b (m)	h (m)	L (m)	Mu (kgm)	d (mm)	Mu/ $b d^2 f_c'$	α	ρ	ρ_{min}	As perlu (mm^2)	Dtul (mm)	Tul. Pasang	Mu (kgm)	d (mm)	Mu/ $b d^2 f_c'$	α	ρ	ρ_{min}	As perlu (mm^2)	Dtul (mm)	Tul. Pasang
0.4	0.6	8	23910.7	564	0.06264	0.064	0.0063	0.0035	1421.28	32	2	32615.5	564	0.0654	0.115	0.006625	0.0035	1945.8	32	3
0.4	0.6	4.5	13810.5	564	0.03616	0.046	0.00345	0.0035	789.6	32	2	59738	564	0.1565	0.214	0.01605	0.0035	3620.68	32	5
0.4	0.6	4	3168.3	564	0.0063	0.011	0.000825	0.0035	789.6	32	2	78079	564	0.2045	0.278	0.0207	0.0035	4669.92	32	8

II Penulangan Lentur Balok Induk Sesudah Komposit Lantai 5

Dim. Balok Induk			Lapangan								Tumpuan									
b (m)	h (m)	L (m)	Mu (kgm)	d (mm)	Mu/ $b d^2 f_c'$	α	ρ	ρ_{min}	As perlu (mm^2)	Dtul (mm)	Tul. Pasang	Mu (kgm)	d (mm)	Mu/ $b d^2 f_c'$	α	ρ	ρ_{min}	As perlu (mm^2)	Dtul (mm)	Tul. Pasang
0.4	0.6	8	22904.4	564	0.0600	0.081	0.006075	0.0035	1370.52	32	2	36626.51	564	0.0960	0.13	0.00975	0.0035	2199.6	32	3
0.4	0.6	4.5	6553.94	564	0.0172	0.0215	0.0016125	0.0035	789.6	32	2	82823	564	0.2170	0.289	0.021675	0.0035	4889.88	32	7
0.4	0.6	4	11281.3	564	0.0298162	0.038	0.00285	0.0035	789.6	32	2	87173	564	0.2284	0.303	0.022725	0.0035	5126.76	32	7

III Penulangan Lentur Balok Induk Sesudah Komposit Lantai 6

Dim. Balok Induk			Lapangan								Tumpuan									
b (m)	h (m)	L (m)	Mu (kgm)	d (mm)	Mu/ $b d^2 f_c'$	α	ρ	ρ_{min}	As perlu (mm^2)	Dtul (mm)	Tul. Pasang	Mu (kgm)	d (mm)	Mu/ $b d^2 f_c'$	α	ρ	ρ_{min}	As perlu (mm^2)	Dtul (mm)	Tul. Pasang
0.4	0.8	8	6389.42	564	0.016739	0.021	0.001578	0.0035	789.6	32	2	38043.96	564	0.09967	0.136	0.0102	0.0035	2301.12	32	3
0.4	0.6	4.5	9341.33	564	0.02447	0.031	0.002325	0.0035	789.6	32	2	77938	564	0.20418	0.275	0.020625	0.0035	4653	32	6
0.4	0.6	4	8744.96	564	0.02291	0.029	0.002175	0.0035	789.6	32	2	80410	564	0.21065	0.289	0.021675	0.0035	4889.88	32	7



I Penulangan Lentur Balok Induk Sesudah Komposit Lantai 7

Dim. Balok Induk			Lapangan								Tumpuan									
b (m)	h (m)	L (m)	Mu (kgm)	d (mm)	Mu/ bd ² c'	w	p	rmin	As perlu (mm ²)	Dtul (mm)	Tul. Pasang	Mu (kgm)	d (mm)	Mu/ bd ² c'	w	p	rmin	As perlu (mm ²)	Dtul (mm)	Tul. Pasang
0.4	0.6	8	22902.956	564	0.0600001	0.077	0.005775	0.0035	1302.84	32	2	37727.45	564	0.098837	0.138	0.01035	0.0035	2334.96	32	3
0.4	0.6	4.5	8772.53	564	0.0229819	0.029	0.002173	0.0035	789.6	32	2	67122	564	0.175843	0.241	0.018075	0.0035	4077.72	32	6
0.4	0.6	4	8283.43	564	0.0217006	0.028	0.0021	0.0035	789.6	32	2	68123	564	0.178466	0.245	0.018375	0.0035	4145.4	32	6

I Penulangan Lentur Balok Induk Sesudah Komposit Lantai 8

Dim. Balok Induk			Lapangan								Tumpuan									
b (m)	h (m)	L (m)	Mu (kgm)	d (mm)	Mu/ bd ² c'	w	p	rmin	As perlu (mm ²)	Dtul (mm)	Tul. Pasang	Mu (kgm)	d (mm)	Mu/ bd ² c'	w	p	rmax	As perlu (mm ²)	Dtul (mm)	Tul. Pasang
0.4	0.6	8	22928.1	564	0.060066	0.081	0.006073	0.0035	1370.32	32	2	36385.01	564	0.09532	0.13	0.00973	0.024	2199.6	32	3
0.4	0.6	4.5	7716.76	564	0.020216	0.0255	0.0019125	0.0035	789.6	32	2	52878	564	0.138527	0.19	0.01425	0.024	3214.8	32	4
0.4	0.6	4	7064.51	564	0.0185073	0.0235	0.0017625	0.0035	789.6	32	2	52097	564	0.136481	0.187	0.014025	0.024	3164.04	32	4

I Penulangan Lentur Balok Induk Sesudah Komposit Lantai 9

Dim. Balok Induk			Lapangan								Tumpuan									
b (m)	h (m)	L (m)	Mu (kgm)	d (mm)	Mu/ bd ² c'	w	p	rmin	As perlu (mm ²)	Dtul (mm)	Tul. Pasang	Mu (kgm)	d (mm)	Mu/ bd ² c'	w	p	rmax	As perlu (mm ²)	Dtul (mm)	Tul. Pasang
0.4	0.6	8	22819.7	564	0.059782	0.081	0.006073	0.0035	1370.52	32	2	35195.14	564	0.092203	0.125	0.009373	0.024	2115	32	3
0.4	0.6	4.5	5967.86	564	0.0156343	0.02	0.0015	0.0035	789.6	32	2	37235	564	0.097547	0.134	0.01005	0.024	2267.28	32	3
0.4	0.6	4	5231.19	564	0.0137044	0.017	0.001273	0.0035	789.6	32	2	35143	564	0.092066	0.127	0.009525	0.024	2148.84	32	3

I Penulangan Lentur Balok Induk Sesudah Komposit Lantai 10

Dim. Balok Induk	Lapangan										Tumpuan									
	z (m)	h (m)	L (m)	M _u (kgm)	d	M _u /bd26. ¹	w	ρ	r _{min}	A _s perlu (mm ²)	D _{bil} (mm)	Tul. Pasang	M _u (kgm)	d (mm)	M _u /bd26. ¹	w	ρ	r _{max}	A _s perlu (mm ²)	D _{bil} (mm)
0.4	0.6	8	17993.2	564	0.0463518	0.061	0.004575	0.0035	1032.12	32	2	24430.85	564	0.064053	0.087	0.006525	0.024	1472.04	32	2
0.4	0.6	4.5	5983.23	564	0.0156746	0.02	0.0015	0.0035	789.6	32	2	20488	564	0.053674	0.073	0.005475	0.024	1235.36	32	2
0.4	0.6	4	5398.41	564	0.0141373	0.018	0.00155	0.0035	789.6	32	2	17255	564	0.045204	0.06	0.0045	0.024	1015.2	32	2

Hitungan Tulangan Lentur Untuk Balok Induk Lantai 1-9

n. Balok Induk	Dim. Balok Anak				Beban terjadi						Qu	Pu (kg)	Mu (kgm)	d	Mu/ M _{pl}	w	φ	c _{min}	As perlu	Ditul	Jum. Tul	As							
					Balok Induk			Balok anak																					
	b (m)	L (m)	b (m)	h (m)	L (m)	q _p (kg/m ²)	q _t (kg/m ²)	s. weight	polai	Meff (kg)	Hidup (kg)	(kg/m)																	
0.47	8	0.3	0.27	4.5	543	250	451.2	1086	300	6304.8	2500.0	30002.1	13076.7	50170.08	414	0.2439	0.32	0.0240	0.0035	3974.4	32	5	4019.3						
0.47	4.5				0	0	604.8	0	604.8	3256	250	0	0	1530.9	414	0.0074	0.008	0.0006	0.0035	579.6	30	2	1607.7						
0.47	4	0.5	0.27	4	0	0	604.8	0	604.8	0	0	0	0	1209.6	414	0.0059	0.007	0.000525	0.0035	579.6	32	2	1607.7						

Hitungan Tulangan Lentur Untuk Balok Induk-Lantai 10

n. Balok Induk	Dim. Balok Anak				Beban terjadi						Qu	Pu (kg)	Mu (kgm)	d	Mu/ M _{pl}	w	φ	c _{min}	As perlu	Ditul	Jum. Tul	As							
					Balok Induk			Balok anak																					
	b (m)	L (m)	b (m)	h (m)	L (m)	q _p (kg/m ²)	q _t (kg/m ²)	s. weight	polai	Meff (kg)	Hidup (kg)	(kg/m)																	
0.47	8	0.3	0.27	4.5	499	100	451.2	998	200	4990.0	1000.0	2368.9	8686.0	36323.04	414	0.1766	0.243	0.018225	0.0035	3018.06	32	4	3215.4						
0.47	4.5				0	0	604.8	0	604.8	3256	250	0	0	1530.9	434	0.0068	0.008	0.0006	0.0035	507.6	32	2	1607.7						
0.47	4	0.5	0.27	4	0	0	604.8	0	604.8	0	0	0	0	1209.6	434	0.0054	0.007	0.000525	0.0035	507.6	32	2	1607.7						

anah Untuk 1 buah Tiang Pancang

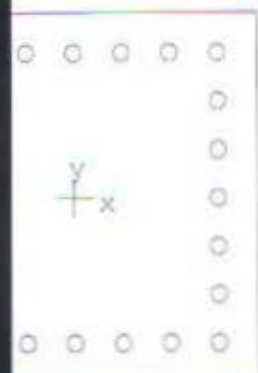
(m)	Zp (1)	Zp + 3B (2)	Zp - 3B (3)	Data konus (kg/cm^2)			Rp (kg/cm^2)	HP	JHP	Cleef	FR	jenis tanah	α_p	α_s	f_u	$\Sigma f_u \times h_i$ (kg/cm)	q_c (kg/cm^2)	Q_p (kg)	Q
				1	2	3													
0.6	1	2.8	0	5	20	0	8.33	25.00	25.00	25.00	5.0	SCL	0.5	50	0.21	20.83	4.17	5890.5	19
0.6	2	3.8	0.2	3	12	10	8.33	25.00	50.00	12.50	4.2	VSCL	0.5	50	0.21	41.67	4.17	5890.5	39
0.6	3	4.8	1.2	14	5	2.5	7.17	30.00	80.00	10.00	0.7	VS	0.45	60	0.15	44.79	3.23	4559.2	42
0.6	4	5.8	2.2	8.5	2.5	2.5	4.50	45.00	125.00	11.25	1.3	VS	0.45	60	0.09	37.50	2.03	2862.8	35
0.6	5	6.8	3.2	4	2.5	12.5	6.33	25.00	150.00	5.00	1.3	VS	0.45	60	0.13	65.97	2.85	4029.1	62
0.6	6	7.8	4.2	3	3	7	4.33	50.00	200.00	8.33	2.8	VS	0.45	60	0.09	54.17	1.95	2756.7	51
0.6	7	8.8	5.2	3	26	5	11.33	20.00	220.00	2.86	1.0	VS	0.45	60	0.24	165.28	5.10	7210.0	15
0.6	8	9.8	6.2	2.5	7	3	4.17	20.00	240.00	2.50	1.0	VS	0.45	60	0.09	69.44	1.88	2650.7	65
0.6	9	10.8	7.2	25	20	3	16.00	35.00	275.00	3.89	0.2	S	0.4	80	0.25	225.00	6.40	9047.8	21
0.6	10	11.8	8.2	6	22.5	2	10.17	50.00	325.00	5.00	0.8	VS	0.45	60	0.21	211.81	4.58	6467.8	19
0.6	11	12.8	9.2	19	33	17.5	23.17	45.00	370.00	4.09	0.2	S	0.4	80	0.36	398.18	9.27	13100.4	37
0.6	12	13.8	10.2	25	47	8	26.67	80.00	450.00	6.67	0.3	S	0.4	80	0.42	500.00	10.67	15079.6	47
0.6	13	14.8	11.2	35	105	22.5	54.17	125.00	575.00	9.62	0.3	S	0.4	80	0.85	1100.26	21.67	30630.5	103
0.6	14	15.8	12.2	50	250	25	108.33	150.00	725.00	10.71	0.2	S	0.4	80	1.69	2369.79	43.33	61261.1	223
0.6	15	16.8	13.2	145	250	38	144.33	175.00	900.00	11.67	0.1	S	0.4	80	2.26	3382.81	57.73	81618.6	318

Soft Inorganik Clay

Very Soft Inorganik Clay

Very Silty Soils

Sand



x 700 mm

CI 318-95

Symmetric

About X-axis

Condition: Investigation

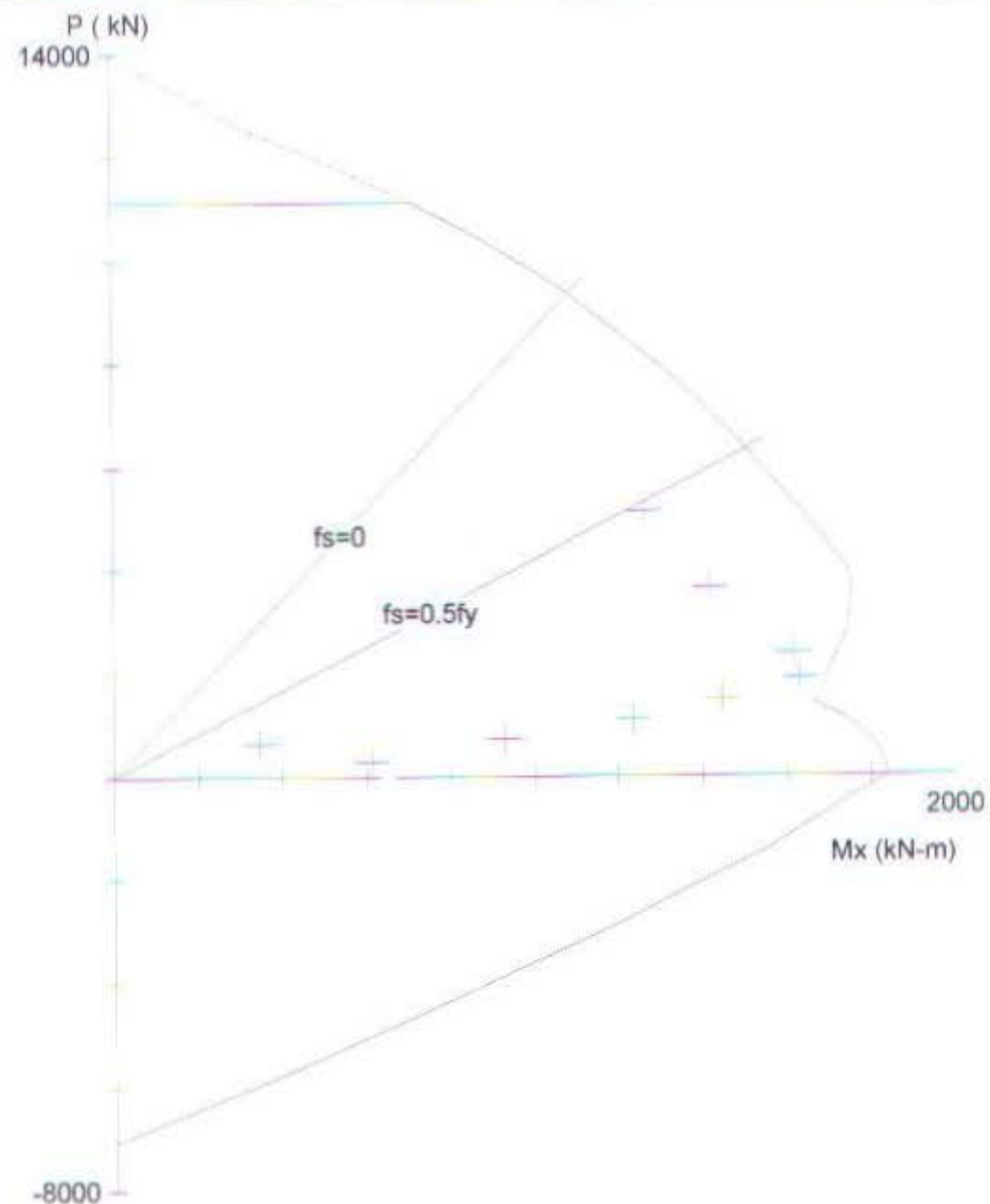
Assess: Not considered

Type: Structural

TM A615

19/04

07:01



General Information:

File Name: D:\ali\SENEN\DATAPC-1\LANTAI-2-10.COL
Project: KOLOM PANJANG
Column: KOLOM 1 Engineer: ERLIN
Code: ACI 318-95 Units: Metric
Run Option: Investigation Slenderness: Not considered
Run Axis: X-axis Column Type: Structural

Material Properties:

f'c = 30 MPa fy = 400 MPa
Ec = 23743 MPa Es = 200000 MPa
fo = 25.5 MPa Rupture strain = Infinity
Ultimate strain = 0.003 mm/mm
Eta = 0.83245

Section:

Rectangular: Width = 700 mm Depth = 700 mm
Gross section area, Ag = 490000 mm² Iy = 2.00083e+010 mm⁴
Ix = 2.00083e+010 mm⁴ Yo = 0 mm
Xo = 0 mm

Reinforcement:

Rebar Database: ASTM A615			Size Diam (mm) Area (mm ²)			Size Diam (mm) Area (mm ²)		
# 3	10	71	# 4	13	129	# 5	16	200
# 6	19	284	# 7	22	387	# 8	25	510
# 9	29	645	# 10	32	819	# 11	36	1006
# 14	43	1452	# 18	57	2581			

Confinement: Tied; #3 ties with #10 bars, #5 with larger bars.
phi(a) = 0.8, phi(b) = 0.9, phi(c) = 0.7

Layout: Rectangular

Pattern: All Sides Equal (Cover to transverse reinforcement)

Total steel area, As = 19664 mm² at 4.01%

24 #10 Cover = 50 mm

Factored Loads and Moments with Corresponding Capacities: (see user's manual for notation)

No.	Pu kN	Mu kN-m	f'Max kN-m	f'Mn/Mu
1	3656.1	1420.2	1754.5	1.235
2	3118.9	1264.7	1635.3	1.293
3	647.7	346.6	4807.0	5.213
4	2375.7	1619.9	1720.6	1.062
5	1888.2	1632.9	1690.1	1.035
6	1492.8	1445.6	1654.1	1.144
7	1094.3	1234.9	1743.4	1.412
8	736.0	927.8	1797.8	1.938
9	299.4	612.9	1828.9	2.984

*** Program completed as requested! ***

General Information:

File Name: D:\ali\SENEH\DATAPC-1\LANTAI.col
Project: KOLOM PANJANG
Column: KOLOM 1 Engineer: ERLIN
Code: ACI 318-95 Units: Metric

Run Option: Investigation Slenderness: Not considered
Run Axis: X-axis Column Type: Structural

Material Properties:

E'c = 30 MPa fy = 400 MPa
Ec = 25743 MPa Es = 200000 MPa
fc = 25.5 MPa Rupture strain = Infinity
Ultimate strain = 0.003 mm/mm
Metal = 0.93245

Section:

Rectangular: Width = 700 mm Depth = 700 mm

Gross section area, Ag = 490000 mm^2 Iy = 2.00083e+010 mm^4
Ix = 2.00083e+010 mm^4 Yo = 0 mm
Xo = 0 mm

Reinforcement:

Rebar Database: ASTM A615								
Size	Diam (mm)	Area (mm^2)	Size	Diam (mm)	Area (mm^2)	Size	Diam (mm)	Area (mm^2)
# 3	10	71	# 4	13	129	# 5	16	200
# 6	19	284	# 7	22	387	# 8	25	510
# 9	29	645	# 10	32	819	# 11	36	1006
# 14	43	1452	# 16	57	2581			

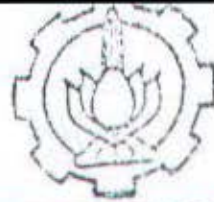
Confinement: Tied; #3 ties with #10 bars, #5 with larger bars.
phi(a) = 0.8, phi(b) = 0.9, phi(c) = 0.7

Layout: Rectangular
Pattern: All Sides Equal (Cover to transverse reinforcement)
Total steel area, As = 24581 mm^2 at 5.02%
30 #10 Cover = 50 mm

Factored Loads and Moments with Corresponding Capacities: (see user's manual for notation)

No.	Pu kN	Max kN-m	f _{M_{max}} kN-m	f _{M_n} /f _{M_u}
1	3675.5	1960.0	2041.5	1.031

*** Program completed as requested! ***



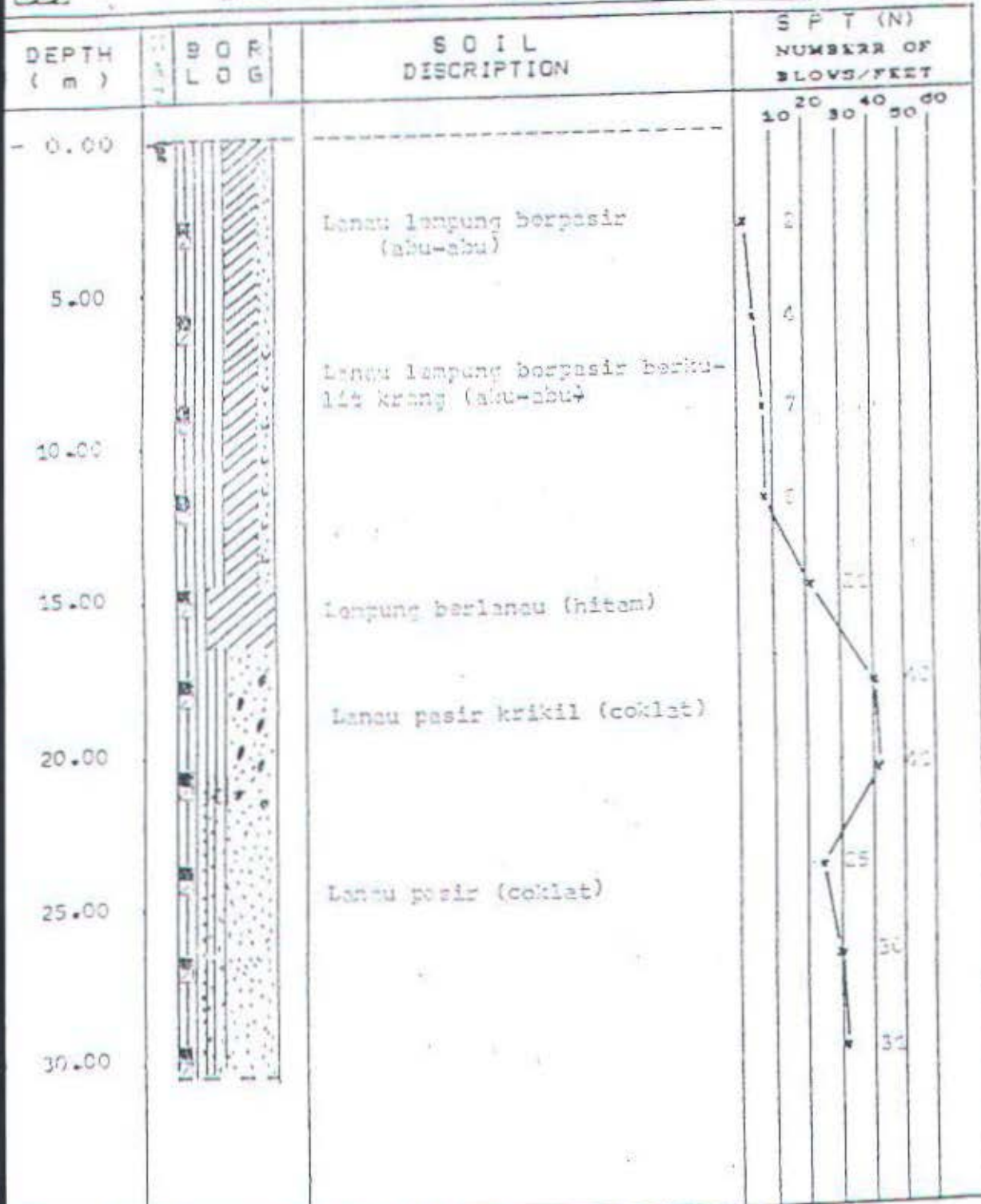
INSTITUT TEKNOLOGI SEPULUH NOPEMBER
FAKULTAS TEKNIK SIPIL DAN PERENCANAAN
LABORATORIUM MEKANIKA TANAH
KAMPUS ITS SUKOLLO KEP. SENGAYA SURABAYA (60111)

PROJECT : PELANTAI PADA
LOCATION : Jl. Mahoni - Bandar Samarinda
Bantul

SCORING NO : SH.2
DATE : 17-3-95
M.A.T : 0.00

LEGEND :

CLAY SILT SAND GRAVEL SHELL

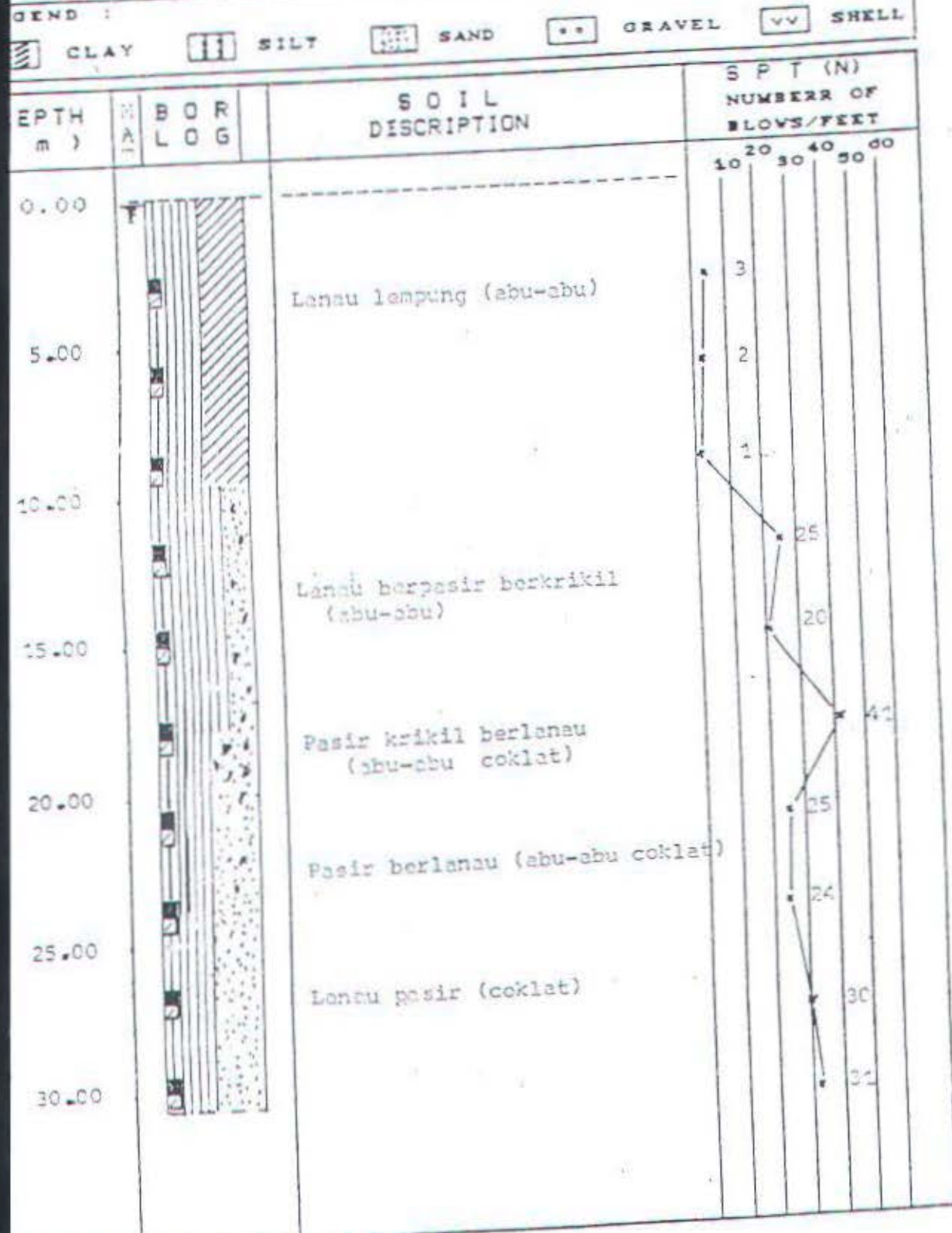




INSTITUT TEKNOLOGI SEPULUH NOPEMBER
FAKULTAS TEKNIK SIPIL DAN PERENCANAAN
LABORATORIUM MEKANIKA TANAH
KAMPUS ITS SUKOLIO TELP. 396094 SURABAYA (60111)

PROJECT : Gedung Galion
LOCATION : Manyasertandi Sukolilo
Surabaya

BORING NO : BN.1
DATE : 1-14-3-96
M A Z : 0.00 m



Depth m	Steve & Hidrometer (1)	Passing Steve No. (2)	Grading			Natural state			Unconfined			Direct Shear		Triaxial test		Vane test		Consolidation test		Coeff. of Permeability E					
			G	S	S+C	4	40	200	Gs	It	Wc	Yd	e	n	Sr	qu	qu*	C	Q	Cu	Dv	T	Pp	Cc	Cv
2.50-3.00	0	8	92	100	98	92	2.672	1.670	55.91	1.071	1.494	59.99	100	0.267	*	*	*	*	*	*	*	1.650	0.800	4.21E-05	1.25E-06
3.50-6.00	3	7	88	100	98	94	2.723	1.501	89.61	0.792	2.440	79.93	100	0.200	*	*	*	*	*	*	*	0.051	0.615	2.54E-04	6.40E-05
6.50-9.00	0	8	92	100	98	92	2.778	1.553	79.70	0.864	2.214	69.89	100	0.150	*	*	*	*	*	*	*	0.517	0.671	2.43E-04	7.95E-05
1.50-12.00	2	18	80	100	98	91	2.658	1.596	67.12	0.955	1.704	64.08	100	1.250	*	*	*	*	*	*	*	0.696	0.612	5.66E-05	1.22E-05
4.50-15.00	0	12	88	100	98	80	2.671	1.605	65.97	0.967	1.762	63.79	100	0.830	*	*	*	*	*	*	*	*	*	*	5.52E-06
7.50-18.00	0	41	59	100	92	59	2.634	1.496	97.02	0.800	2.292	69.62	100	*	*	*	35	*	*	*	*	*	*	*	1.50E-05
4.50-21.00	0	34	66	100	92	66	2.672	1.707	42.10	1.257	1.125	52.94	100	*	*	*	36	*	*	*	*	*	*	*	9.04E-05
3.50-24.00	2	14	94	100	92	84	2.722	1.770	44.60	1.229	1.214	54.83	100	*	*	*	29	*	*	*	*	*	*	*	1.25E-04
6.50-27.00	0	85	37	100	70	35	2.717	1.899	33.46	1.423	0.909	47.82	100	*	*	*	35	*	*	*	*	*	*	*	2.05E-04
9.50-30.00	0	50	50	100	90	50	2.602	1.838	37.55	1.336	1.007	50.17	100	*	*	*	34	*	*	*	*	*	*	*	2.56E-05

MARKS : G = GRAVEL
 S = SAND
 S+C = SILT + CLAY
 GS = SPECIFIC GRAVITY
 It = WET DENSITY (gr/cc)
 Wc = WATER CONTENT (%)
 Yd = DRY DENSITY (gr/cc)
 * = NOT TESTED

e = VOID RATIO
 n = POROSITY (%)
 Sr = SATURATION (%)
 Pp = PRECONSOLIDATION PRESSURE (kg/cm²)
 Cc = COMPRESSION INDEX
 Cv = COEFF. OF CONSOLIDATION (cm²/sec)
 E = COEFF. PERMEABILITY (cm/sec)

C = COHESION (kg/cm²)
 Q = ANGLE OF INTERNAL FRICTION (degree,minutes)
 qu = UNCONFINED (UNDISTURBED)
 qu* = UNCONFINED (REMOULDED)
 St = SENSITIVITY RATIO (qu/qu*)
 Cu = UNDRAINED COHESION (kg/cm²)
 Du = ANGLE INTERNAL FRICTION OF UNDRAINED (degree, minutes)



Depth	Grading																					
	Sieve No.	Passing																				
	(12)	(12)	Natural state						Unconfined		Direct Shear		Triaxial		Vane Test	Consolidation test			Coeff. of Permeability			
	G	S+C	%	40	200	Gs	Yt	Wc	Yd	e	n	Sr	qu	qu*	C	0	Cu	Du	I	Pp	Cc	Cv (cm/sec)
50-3.00	9	7	93	100	97	93	2.674	1.579	70.76	0.925	1.092	65.42	100	0.254	*	*	*	*	*	1.600	1.650	3.87E-03
50-6.00	4	31	69	100	96	69	2.725	1.598	69.17	0.945	1.085	65.34	100	0.271	*	*	*	*	*	0.353	0.640	1.91E-03
50-9.00	0	45	55	100	93	55	2.751	1.598	70.12	0.939	1.029	65.85	100	1.000	*	*	*	*	*	0.533	0.737	1.82E-03
50-12.00	0	11	69	100	98	89	2.714	1.638	62.45	1.007	1.695	62.89	100	*	*	*	26	*	*	*	*	3.39E-06
50-15.00	9	51	49	100	90	49	2.592	1.679	51.81	1.196	1.343	57.32	100	*	*	*	29	*	*	*	*	7.23E-05
50-18.00	7	48	47	92	50	47	2.767	1.669	59.34	1.047	1.642	62.15	100	*	*	*	31	*	*	*	*	8.48E-05
50-21.00	19	48	34	82	63	34	2.674	1.980	26.51	1.565	0.709	41.49	100	*	*	*	33	*	*	*	*	6.40E-05
50-24.00	32	18	50	68	65	50	2.759	1.918	33.24	1.439	0.917	47.84	100	*	*	*	30	*	*	*	*	7.40E-06
50-27.00	12	43	55	98	92	55	2.661	1.864	34.69	1.384	0.923	48.00	100	*	*	*	30	*	*	*	*	7.23E-15
50-30.00	?	20	21	92	60	21	2.673	1.840	37.11	1.342	0.992	49.00	100	*	*	*	31	*	*	*	*	7.03E-05

DEFINITIONS:

G = GRAVEL

S = SAND

S+C = SILT + CLAY

Gs = SPECIFIC GRAVITY

Yt = NET DENSITY (gr/cc)

Wc = WATER CONTENT (%)

Yd = DRY DENSITY (gr/cc)

* = NOT TESTED

e = VOID RATIO

n = POROSITY (%)

Sr = SATURATION (%)

Pp = PRECONSOLIDATION PRESSURE (kg/cm²)

Cc = COMPRESSION INDEX

Cv = COEFF. OF CONSOLIDATION (cm²/sec)

K = COEFF. PERMEABILITY (cm/sec)

C = COHESION (kg/cm²)

0 = ANGLE OF INTERNAL FRICTION (degree, minutes)

qu = UNCONFINED (UNDISTURBED)

qu* = UNCONFINED (REMODULATED)

St = SENSITIVITY RATIO (qu/qu*)

Cu = UNDRAINED COHESION (kg/cm²)

Cu = ANGLE INTERNAL FRICTION OF UNDRAINED (degree, minutes)

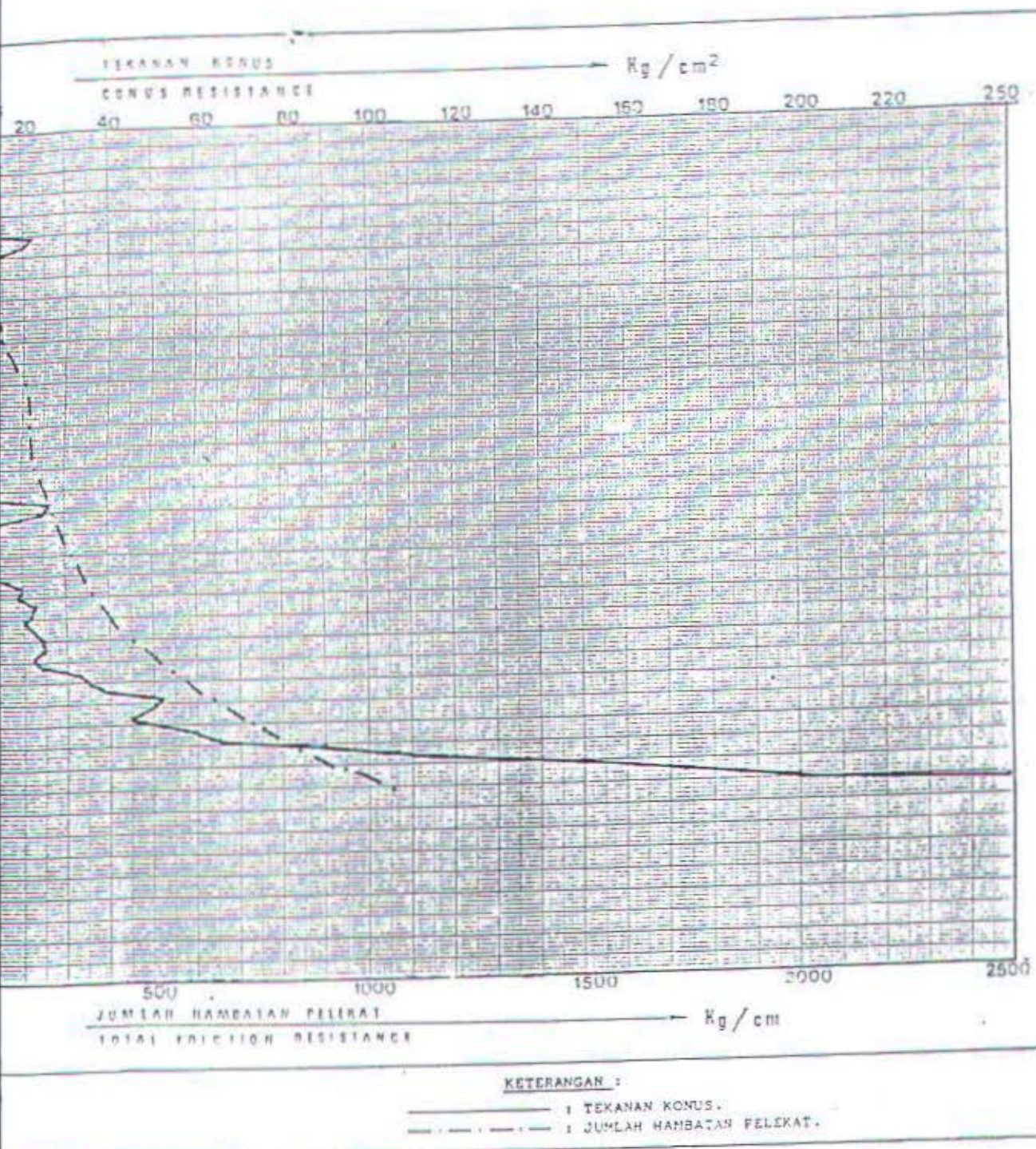


INSTITUT TEKNOLOGI SEPULUH NOPEMBER SURABAYA
FAKULTAS TEKNIK SIPIL DAN PERENCANAAN
LABORATORIUM MEKANIKA TANAH
KAMPUS ITS KEPULAUAN SINGOLODO TELP. 596094 SURABAYA 60111

DUTCH CONE
PENETROMETER TEST

PROJECT : GEDUNG TELKOM
LOCATION : Manyarkartedi Sby.

POINT No. : S.1
DATE : 14 - Maret - 1996



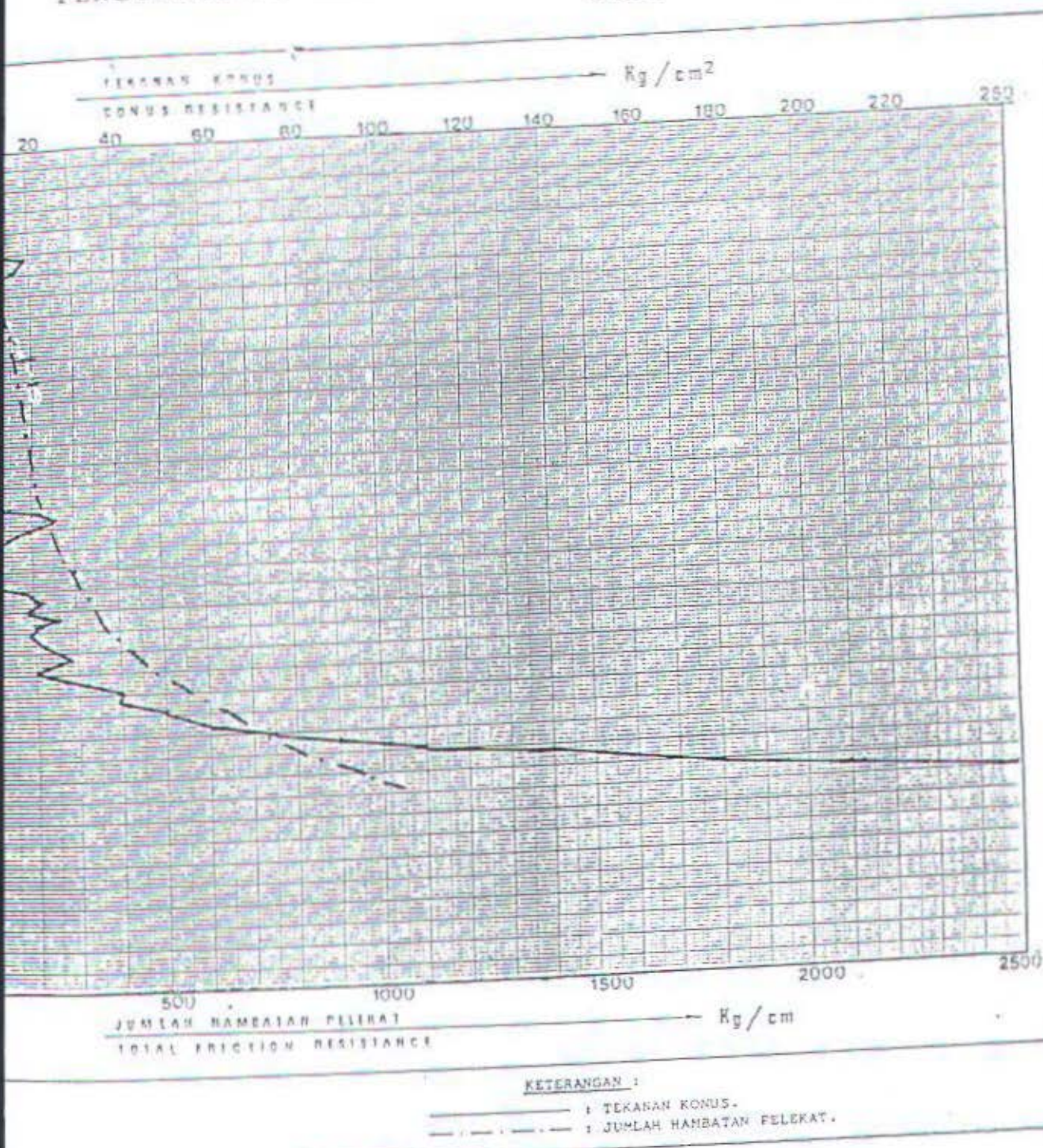


INSTITUT TEKNOLOGI SEPULUH NOPEMBER SURABAYA
FAKULTAS TEKNIK SIPIL DAN PERENCANAAN
LABORATORIUM MEKANIKA TANAH
KAMPUSIS KEPUTIH SURABAYA TELP. 596094 SURABAYA 60111

DUTCH CONE
FENETROMETER TEST

PROJECT : GEDUNG CELIKCI
LOCATION: Manyarkertoadi Sby.

POINT No. : S.2
DATE : 16 - Maret - 1996

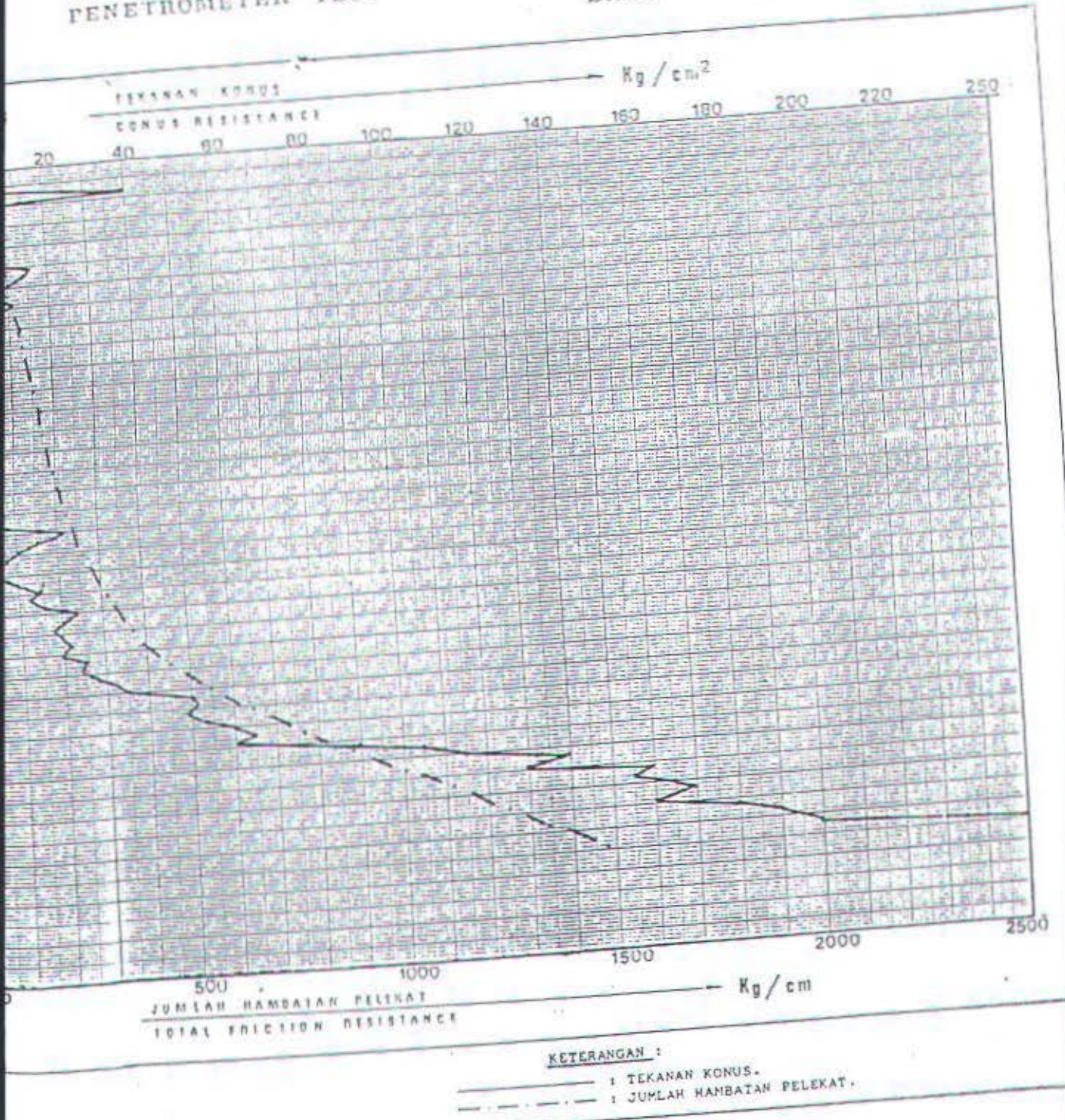




INSTITUT TEKNOLOGI SEPULUH NOPEMBER SURABAYA
FAKULTAS TEKNIK SIPIL DAN PERENCANAAN
LABORATORIUM MEKANIKA TANAH
KAMPUS ITS KEPULUH SUNDALO TELP. 596094 SURABAYA 60111

DUTCH CONE
PENETROMETER TEST

PROJECT : GEDUNG TSIMCN
LOCATION : Manyarkertoadi Sby.
POINT No. : S.4
DATE : 20 - Maret - 1996





INSTITUT TEKNOLOGI SEPULUH NOPEMBER SURABAYA
FAKULTAS TEKNIK SIPIL DAN PERENCANAAN
LABORATORIUM MEKANIKA TANAH
KAMPUS ITS KEPUTIH SUKOLIO TELP. 596094 SURABAYA 60111

DUTCH CONE
FENETROMETER TEST

PROJECT : GEDUNG TELKOM
LOCATION : Manyar Kartodih Sby.

POINT No. : S.5
DATE : 22 - Maret - 1995

